

การกรองมัลติชเชลล์แบบปรับตัว

ADAPTIVE MULTI-SHELL MEDIAN FILTER



วิทยานิพนธ์นี้เป็นส่วนหนึ่งของการศึกษาตามหลักสูตรปริญญาวิศวกรรมศาสตรมหาบัณฑิต

สาขาวิชาวิศวกรรมไฟฟ้า

บัณฑิตวิทยาลัย

สถาบันเทคโนโลยีพระจอมเกล้าเจ้าคุณทหารลาดกระบัง

พ.ศ. 2543

ISBN 974-622-649-5

สำนักหอสมุดกลาง พระจอมเกล้าลาดกระบัง

การกรองมัลติชเชลล์แบบตัดแปลง

ADAPTIVE MUTI-SHELL MEDIAN FILTER



นฤพนธ์ พนากุลชัยวิทย์

NARUPON PANAKULCHIWIT

วิทยานิพนธ์นี้เป็นส่วนหนึ่งของการศึกษาตามหลักสูตรปริญญาวิศวกรรมศาสตรมหาบัณฑิต

สาขาวิชาวิศวกรรมไฟฟ้า

บัณฑิตวิทยาลัย

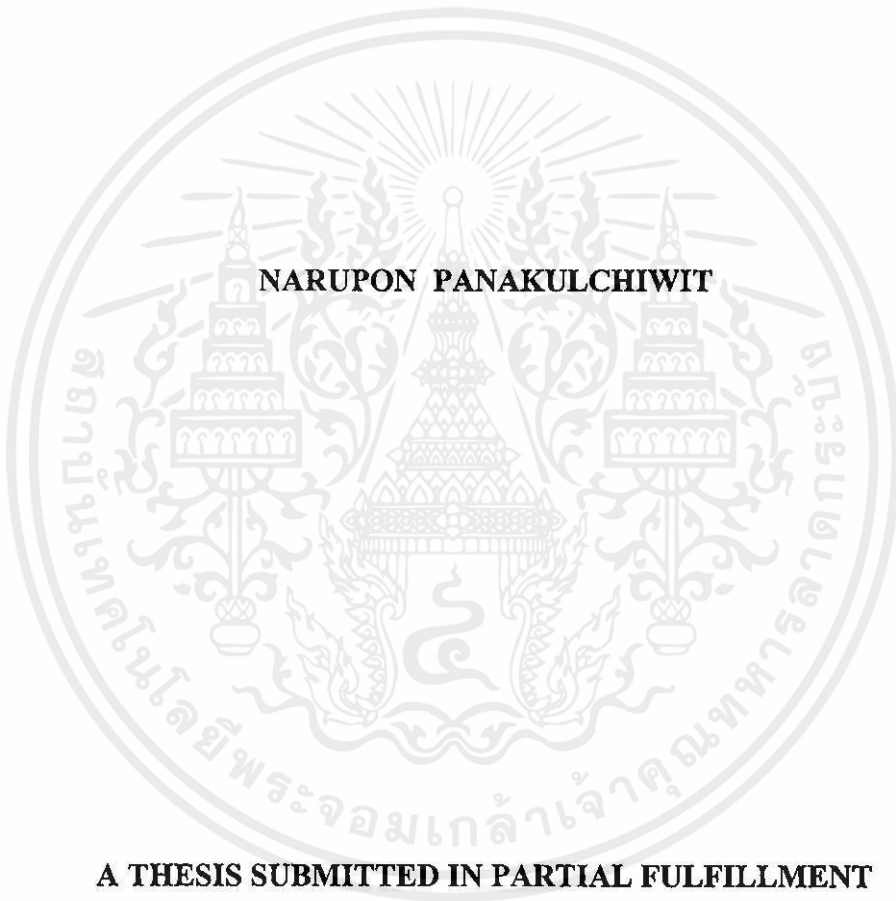
สถาบันเทคโนโลยีพระจอมเกล้าเจ้าคุณทหารลาดกระบัง

เอกสารนี้เป็นเอกสารที่สงวนไว้สำหรับการใช้งานเพื่อท.ศ. 2543 นั้น ไม่อนุญาตให้นำไปใช้ประโยชน์ด้านการค้า

เลขหมู่.....
เลขทะเบียน..... 35371
วันที่, เดือน, ปี 24 ๒๕.๒. 2543

ไม่มีให้ตัดแปลงเนื้อ ISBN 974-622-649-5 ของเอกสารทุกครั้งที่มีการนำไปใช้

ADAPTIVE MUTI-SHELL MEDIAN FILTER



**A THESIS SUBMITTED IN PARTIAL FULFILLMENT
OF THE REQUIREMENT FOR THE DEGREE OF
MASTER OF ENGINEERING IN ELECTRICAL ENGINEERING
SCHOOL OF GRADUATE STUDIES**

KING MONGKUT'S INSTITUTE OF TECHNOLOGY LARDKRABANG

เอกสารนี้เป็นเอกสารที่สงวนไว้สำหรับการใช้งานเพื่อการ
2000 เท่านั้น ไม่อนุญาตให้นำไปใช้ประโยชน์ด้านการค้า
ไม่ว่ากรณีใดๆทั้งสิ้น อีกทั้งห้ามมิให้คัดแปลงเนื้อ
ของเอกสารทุกครั้งที่มีการนำไปใช้
ISBN 974-622-649-5



COPYRIGHT 2000

SCHOOL OF GRADUATE STUDIES

KING MONGKUT'S INSTITUTE OF TECHNOLOGY LARDKRABANG

เอกสารนี้เป็นเอกสารที่สงวนไว้สำหรับใช้ในการเรียนการสอนที่มหาวิทยาลัยเท่านั้น ไม่อนุญาตให้นำไปใช้ประโยชน์ด้านการค้า
ไม่ว่ากรณีใดๆทั้งสิ้น ถือว่าผิดกฎหมายและต้องแจ้งถึงเจ้าของเอกสารทุกครั้งที่มีการนำไปใช้

หัวข้อวิทยานิพนธ์	การกรองมัชฐานมัลติเซลล์แบบตัดแปลง
นักศึกษา	นฤพนธ์ พนากุลชัยวิทย์
รหัสประจำตัว	36061037
ปริญญา	วิศวกรรมศาสตรมหาบัณฑิต
สาขาวิชา	วิศวกรรมไฟฟ้า
พ.ศ.	2543
อาจารย์ผู้ควบคุมวิทยานิพนธ์	รศ.ดร.กอบชัย เดชหาญ

บทคัดย่อ

ปัญหาหลักของงานประมวลผลทางภาพ คือการเกิดสัญญาณรบกวนแบบขาวดำ ซึ่งจะทำให้คุณค่าหรือความคมชัดของภาพสูญเสียไป การกรองมัชฐานได้ถูกนำมาเสนอขึ้นมา เพื่อช่วยปรับปรุงคุณภาพของภาพให้ดีขึ้น แต่ก็ยังทำให้ภาพมีความเบลอสุง เพราะว่ารายละเอียดเล็กๆ น้อยๆ ได้สูญเสียไปกับการกรองมัชฐาน วิทยานิพนธ์ฉบับนี้จึงได้นำเสนอวิธีการกรองมัชฐานแบบตัดแปลง เพื่อใช้ปรับปรุงคุณภาพให้มีความคมชัดสูง โดยสามารถกำจัดสัญญาณรบกวนแบบขาวดำได้มาก โดยมีวิธีการที่ง่าย และให้ผลที่ดีกว่าการกรองสัญญาณมัชฐานแบบทั่วๆ ไป เช่น แบบขนาดหน้าต่างคงที่

เอกสารนี้เป็นเอกสารที่สงวนไว้สำหรับการใช้งานเพื่อการศึกษาเท่านั้น ไม่อนุญาตให้นำไปใช้ประโยชน์ด้านการค้า ไม่ว่าจะกรณีใดๆทั้งสิ้น อีกทั้งห้ามมิให้คัดแปลงเนื้อหา และต้องอ้างอิงถึงเจ้าของเอกสารทุกครั้งที่มีการนำไปใช้

Thesis Title	Adaptive Multi-Shell Median Filter
Student	Mr. Narupon Panakulchiwit
Student ID.	36061037
Degree	Master of Engineering
Programme	Electrical Engineering
Year	2000
Thesis Advisor	Assoc.Prof.Dr. Kobchai Dejhan

ABSTRACT

The picture of image is disturbed by impulse noise on image pre-processing which causes the loss quality and fidelity. The median filter is proposed to improve the impulse noise but the image has more blurring because of the loss of fine detail on median filter processing. This thesis proposes an adaptive multi-shell median filter to improve impulse noise to obtain the better results for image processing. The performances of the proposed filter can be compared with the regular median filters or fixed length.

เอกสารนี้เป็นเอกสารที่สงวนไว้สำหรับการใช้งานเพื่อการศึกษาเท่านั้น ไม่อนุญาตให้นำไปใช้ประโยชน์ด้านการค้า
ไม่ว่ากรณีใดๆทั้งสิ้น อีกทั้งห้ามมิให้คัดแปลงเนื้อหา และต้องอ้างอิงถึงเจ้าของเอกสารทุกครั้งที่มีการนำไปใช้

กิตติกรรมประกาศ

วิทยานิพนธ์ฉบับนี้สำเร็จลุล่วงได้ ก็เพราะได้รับความกรุณาจาก รศ. ดร. กอบชัย เตชะหาญ ผู้ซึ่งคอยดูแลให้คำแนะนำในการทำวิจัยแก่ผู้วิจัยมาโดยตลอด จึงขอกราบขอบพระคุณเป็นอย่างสูงไว้ ณ ที่นี้ นอกจากนี้ยังรวมถึง รศ. ดร. พุศศักดิ์ ชีวสุวิทย์ อ. สักกริยา ชิตวงศ์ อ.อาโมทย์ สมบูรณ์ แก้ว ที่ได้ให้ความกรุณาและคอยติดตามความคืบหน้าตลอดเวลา

ขอขอบพระคุณบริษัท NEC แห่งประเทศไทยที่ได้ให้การสนับสนุนทุนการศึกษา คอมพิวเตอร์และการสื่อสาร ประจำปีการศึกษา 2536 ขอขอบคุณ คุณอดิศักดิ์ แข็งสาริกิจ และคุณ จิรวุฒิ สีนธุฉนิชเศรษฐ์ ที่คอยให้คำปรึกษา รวมถึงเป็นเพื่อนที่ดีมาตลอดเวลาในการทำวิทยานิพนธ์
สุดท้ายนี้ผู้ทำวิจัยขอขอบคุณ คุณรุ่งตะวัน พนากุลชัยวิทย์และน้องผิงผิง รวมถึงคุณแม่และ พี่ ๆ ที่เป็นกำลังใจที่ดีเสมอมา

นฤพนธ์ พนากุลชัยวิทย์

เอกสารนี้เป็นเอกสารที่สงวนไว้สำหรับการใช้งานเพื่อการศึกษาเท่านั้น ไม่อนุญาตให้นำไปใช้ประโยชน์ด้านการค้า
ไม่ว่ากรณีใดๆทั้งสิ้น อีกทั้งห้ามมิให้คัดแปลงเนื้อหา และต้องอ้างอิงถึงเจ้าของเอกสารทุกครั้งที่มีการนำไปใช้

สารบัญ

	หน้า
บทคัดย่อภาษาไทย.....	I
บทคัดย่อภาษาอังกฤษ.....	II
กิตติกรรมประกาศ.....	III
สารบัญ.....	IV
สารบัญตาราง.....	VI
สารบัญภาพ.....	VII
บทที่ 1 บทนำ.....	1
1.1 วัตถุประสงค์ของวิทยานิพนธ์.....	2
1.2 ขอบเขตของการวิจัย.....	2
บทที่ 2 ทฤษฎีพื้นฐานในการประมวลผลสัญญาณภาพ.....	4
2.1 ระบบพื้นฐานการประมวลผลสัญญาณภาพดิจิทัล.....	5
2.2 ทฤษฎีการเปรียบเทียบคุณภาพของภาพ.....	7
2.3 สัญญาณรบกวนแบบอิมพัลส์ (Impulse noise).....	9
2.5 สัญญาณรบกวนแบบขาดหายไปของเส้นภาพ (Missing line noise).....	10
2.6 รูปแบบของข้อมูลภาพถ่ายโดยทั่วไป.....	11
2.6.1 รูปแบบของข้อมูลภาพ BMP.....	11
2.6.2 การแปลงรูปแบบข้อมูลภาพ.....	16
2.6.3 การแปลงภาพแอสกีเป็นรูปแบบบิตแมพ.....	16
2.6.4 การแปลงภาพในรูปแบบบิตแมพเป็นภาพแอสกี.....	18
บทที่ 3 การกรองมัลติฐาน.....	19
3.1 ความหมายของการกรองมัลติฐาน.....	19
3.1.1 การกรองมัลติฐานแบบหน้าต่างคงที่.....	21
3.1.2 การกรองค่าเฉลี่ย (Average Filter).....	22
3.2 ความรู้ทั่วไปในการปรับปรุงภาพ.....	25
3.2.1 การทำคอนโวลูชันในสเปเชียลโดเมน.....	25
3.2.2 การขาดจุดข้างเคียงในการทำคอนโวลูชันในบริเวณกรอบภาพ.....	26

สารบัญ (ต่อ)

	หน้า
3.2.3 การนอร์มอลไลซ์ (Normalization).....	28
3.2.4 เวลาที่ใช้.....	38
บทที่ 4 การกรองมัลติชานแนลแบบปรับขนาดอัตโนมัติ.....	30
4.1 แนวความคิดแบบ 1 มิติ.....	30
4.2 การกรองมัลติชานแนลแบบปรับขนาดหน้าต่างอัตโนมัติ 2 มิติ.....	34
4.2.1 การกรองมัลติชานแนลแบบปรับขนาดได้อย่างอัตโนมัติที่ใช้กับ salt noise....	34
4.2.2 การกรองมัลติชานแนลแบบปรับขนาดได้อย่างอัตโนมัติที่ใช้กับ Pepper noise.....	38
4.3 การขยายหน้าต่างการกรองมัลติชานแนลแบบปรับขนาดได้อย่างอัตโนมัติ.....	40
บทที่ 5 การกรองมัลติชานแนลแบบดัดแปลง.....	42
5.1 พื้นฐานการกรองมัลติชานแนลแบบดัดแปลง.....	42
5.2 การกรองมัลติชานแนลแบบดัดแปลงสำหรับ Missing Line Noise.....	47
5.3 การกรองมัลติชานแนลแบบดัดแปลง (Adaptive Multi-Shell Median Filter)....	50
5.4 การกรองมัลติชานแนลแบบดัดแปลงแบบที่ 2 (Adaptive Multi-Shell Median filter Second Algorithms).....	54
บทที่ 6 ผลการทดลอง.....	57
บทที่ 7 สรุปผลการวิจัย.....	63
บรรณานุกรม.....	65
ภาคผนวก.....	67
ประวัติผู้เขียน.....	77

เอกสารนี้เป็นเอกสารที่สงวนไว้สำหรับการใช้งานเพื่อการศึกษาเท่านั้น ไม่อนุญาตให้นำไปใช้ประโยชน์ด้านการค้า
ไม่ว่ากรณีใดๆทั้งสิ้น อีกทั้งห้ามมิให้ดัดแปลงเนื้อหา และต้องอ้างอิงถึงเจ้าของเอกสารทุกครั้งที่มีการนำไปใช้

สารบัญตาราง:

ตารางที่	หน้า
2.1 รายละเอียดเกี่ยวกับหัวไฟล์ของภาพบิตแมพ (BITMAPFILEHEADER)	12
2.2 องค์ประกอบของหัวข้อมูล (BITMAPINFO)	12
2.3 องค์ประกอบโครงสร้างของ BITMAPINFOHEADER.....	13
3.1 การคำนวณจากตารางหน้ากากจตุรัสขนาดต่าง ๆ กับภาพต้นแบบขนาด 512x512 จุดภาพ	29
5.1 จำนวนเซลล์ที่เกิดขึ้นจากการกรองมัลฐาน	46
5.2 สมาชิกในหน้าต่างการกรองมัลฐานมัลติเซลล์สำหรับ Missing Line Noise แบบ 2เซลล์	48
5.3 สมาชิกในหน้าต่างการกรองมัลฐานมัลติเซลล์สำหรับ Missing Line Noise แบบ 1เซลล์	48
6.1 เปรียบเทียบประสิทธิภาพการกรองชนิดต่าง ๆ ของภาพ CMAN กับค่า MSE และ MAE	62
6.2 เปรียบเทียบประสิทธิภาพการกรองชนิดต่าง ๆ ของภาพ GIRL กับค่า MSE และ MAE	62
6.3 เปรียบเทียบประสิทธิภาพการกรองชนิดต่าง ๆ ของภาพ LENA กับค่า MSE และ MAE	62

เอกสารนี้เป็นเอกสารที่สงวนไว้สำหรับการใช้งานเพื่อการศึกษาเท่านั้น ไม่อนุญาตให้นำไปใช้ประโยชน์ด้านการค้า
ไม่ว่ากรณีใดๆทั้งสิ้น อีกทั้งห้ามมิให้คัดแปลงเนื้อหา และต้องอ้างอิงถึงเจ้าของเอกสารทุกครั้งที่มีการนำไปใช้

สารบัญภาพ

ภาพที่	หน้า
2.1 วิธีการสร้างภาพที่ประกอบด้วยองค์ประกอบหลักคือตัวกำเนิด วัตถุ และตัวรับสัญญาณ	4
2.2 ภาพดิจิทัลในระบบ 8บิต gray level	5
2.3 ระบบการประมวลผลสัญญาณภาพดิจิทัล	6
2.4 สัญญาณรบกวนแบบอิมพัลส์ที่ปรากฏบนสัญญาณชายนีเวฟ	9
2.5 ภาพ LENA ที่มีสัญญาณรบกวนอิมพัลส์ 10 %	10
2.6 ภาพ LENA ที่มีสัญญาณรบกวนแบบ Missing line noise และ อิมพัลส์ 5 %	11
2.7 โครงสร้างที่ใหญ่ที่สุดของภาพในรูปแบบบิตแมพ	12
2.8 ข้อมูลภาพบิตแมพ 2 สี (monochrome Bitmap)	15
2.9 ข้อมูลภาพบิตแมพ 16 สี	15
2.10 ข้อมูลภาพบิตแมพ 256 สี	15
2.11 ข้อมูลภาพบิตแมพ 16.7 ล้านสี	16
2.12 แผนผังขั้นตอนการแปลงข้อมูลภาพแอสกี 8 บิตเป็นรูปบิตแมพ	17
2.13 แผนผังขั้นตอนการแปลงภาพในรูปแบบบิตแมพเป็นข้อมูลภาพแอสกี 8 บิต	18
3.1 รูปแบบหน้าต่าง (Filter windows) แบบต่างๆ สำหรับการกรองมัธยฐาน (Median filter)	20
3.2 การกรองมัธยฐาน	21
3.3 หน้าต่างขนาด NxN บนภาพ ที่จุด	21
3.4 ภาพผลลัพธ์จากภาพ Lena ขนาด 256x256 ดันแบบ (ก) ภาพ Lena ที่ถูกรบกวนโดยสัญญาณรบกวนแบบ salt and pepper noise (impulse) 5% (ข) การกรองมัธยฐานแบบหน้าต่างคงที่ขนาด 3x3 (ค) การกรองมัธยฐานแบบหน้าต่างคงที่ขนาด 5x5 (ง)	23
3.5 ภาพ Lena ที่มีสัญญาณรบกวนแบบ salt and pepper noise (impulse) 5% (ก) การกรองค่าเฉลี่ยแบบหน้าต่างคงที่ขนาด 3x3 (ข) กรองค่าเฉลี่ยแบบหน้าต่างคงที่ขนาด 5x5 (ค) กรองค่าเฉลี่ยแบบหน้าต่างคงที่ขนาด 7x7 (ง)	24
3.6 หน้ากากของการทำคอนโวลูชันขนาด 3x3	25
3.7 จุดข้างเคียง (neighborhood) ต่าง ๆ ในบริเวณเมตริกซ์ขนาด 3x3 ของภาพดันแบบ	25
3.8 การขาดจุดข้างเคียงในบริเวณของการทำคอนโวลูชันในบริเวณกรอบภาพ	27

สารบัญภาพ (ต่อ)

ภาพที่	หน้า
4.1 อิมพัลส์นอยส์และความสามารถในการกำจัดนอยส์ของขนาดหน้าต่าง (Filter windows) ที่ต่างกัน	31
4.2 อัตราส่วนของการตรวจจับอิมพัลส์นอยส์แบบแอมพลิฟิเคชั่น.....	32
4.3 ภาพ Lena ที่มีอิมพัลส์แบบบวก 5% (ก) ภาพที่ผ่านการกรองมัธยฐานด้วยหน้าต่าง 1 มิติขนาด $L=3$ (ข) ภาพที่ผ่านการกรองมัธยฐานด้วยหน้าต่าง 1 มิติ $L=5$ (ค) ภาพที่การกรองมัธยฐานแบบปรับขนาดหน้าต่างได้แบบ 1 มิติ(ง)	33
4.4 การกรองมัธยฐานแบบปรับขนาดหน้าต่างอัตโนมัติ 2 มิติ	34
4.5 ค่าระดับสีเทาในหน้าต่าง	36
4.6 ภาพผลลัพธ์จากภาพ Lena ขนาด 256×256 ที่ถูกรบกวน โดยสัญญาณรบกวนแบบ salt and pepper noise (impulse) ประมาณ 5% (ก) การกรองมัธยฐานแบบหน้าต่างคงที่ขนาด 3×3 (ข) การกรองมัธยฐานแบบหน้าต่างคงที่ขนาด 5×5 (ค) การกรองมัธยฐานที่ปรับขนาดหน้าต่างได้อย่างอัตโนมัติ เมื่อใช้ $T_1=16$ และ $T_2=45$ (ง)	39
4.7 การขยายหน้าต่างการกรองมัธยฐานแบบปรับขนาดได้	40
5.1 ภาพผลลัพธ์ของการกรอง ภาพ LENA ต้นฉบับ (ก) ภาพ LENA ที่มีสัญญาณรบกวนอิมพัลส์ 5% (ข) ภาพ LENA ที่ผ่านการกรองมัธยฐานด้วยขนาดหน้าต่าง 3×3 (ค) ภาพ LENA ที่ผ่านการกรองมัธยฐานแบบมัลติเซลล์ (ง)	44
5.2 ภาพ LENA ที่มีสัญญาณรบกวนอิมพัลส์ 5% (ก) ภาพ LENA ที่ผ่านการกรองมัธยฐานมัลติเซลล์ แบบมี 2 เซลล์ (ข)	47
5.3 ภาพLENAที่มีสัญญาณรบกวน (Missing line noise) และอิมพัลส์ 5% (ก) ภาพ LENA ที่ผ่านการกรองมัธยฐานด้วยขนาดหน้าต่าง 3×3 (ข) ภาพ LENA ที่ผ่านการกรองมัธยฐานมัลติเซลล์ แบบ 1 เซลล์ (ค) ภาพ LENA ที่ผ่านการกรองมัธยฐานมัลติเซลล์ แบบ 2 เซลล์ (ง)	49

เอกสารนี้เป็นเอกสารที่สงวนไว้สำหรับการใช้งานเพื่อการศึกษาเท่านั้น ไม่อนุญาตให้นำไปใช้ประโยชน์ด้านการค้า ไม่ว่ากรณีใดๆทั้งสิ้น อีกทั้งห้ามมิให้ดัดแปลงเนื้อหา และต้องอ้างอิงถึงเจ้าของเอกสารทุกครั้งที่มีการนำไปใช้

สารบัญภาพ (ต่อ)

ภาพที่	หน้า
5.4 ความสัมพันธ์ระหว่างการกระจายของสีเท่ากับจำนวนพิกเซล	51
5.5 วิธีการกำจัดสัญญาณรบกวน	52
5.6 วิธีการกรองมัลติเซสล์แบบดัดแปลง	52
5.7 ภาพผลลัพธ์ จากภาพ LENA ที่มีสัญญาณรบกวนอิมพัลส์ 5% การกรองมัลติเซสล์แบบดัดแปลง ตามสมการ 5.11 (ก) การกรองมัลติเซสล์แบบดัดแปลง ตามสมการ 5.15 (ข)	54
5.8 ลักษณะเซสล์แบบต่างๆ ที่นำมาใช้ในการกรองมัลติเซสล์แบบดัดแปลงแบบที่ 2	55
5.9 ภาพภาพ LENA ที่มีสัญญาณรบกวนอิมพัลส์ 5% (ก) การกรองมัลติเซสล์แบบหน้าต่างคงที่ 3x3 (ข) การกรองมัลติเซสล์แบบดัดแปลง 2 nd algorithm Square shape (ค) การกรองมัลติเซสล์แบบดัดแปลง 2 nd algorithm Cross shape (ง)	56
6.1 ภาพผลลัพธ์ของการกรอง ภาพ CMAN ต้นฉบับ (ก) ภาพ CMAN ที่มีสัญญาณรบกวนอิมพัลส์ 5% (ข) ภาพ CMAN ที่ผ่านการกรองมัลติเซสล์ด้วยขนาดหน้าต่างต่าง 3x3 (ค) ภาพ CMAN ที่ผ่านการกรองมัลติเซสล์แบบปรับขนาดหน้าต่างอัตโนมัติ (ง)	58
6.1 (ต่อ) ภาพ CMAN ที่ผ่านการกรองมัลติเซสล์ (จ) ภาพ CMAN ที่ผ่านการกรองมัลติเซสล์แบบดัดแปลง 1 st algorithm (ฉ) ภาพ CMAN ที่ผ่านการกรองมัลติเซสล์แบบดัดแปลง 2 nd algorithm Square shape (ช) ภาพ CMAN ที่ผ่านการกรองมัลติเซสล์แบบดัดแปลง 2 nd algorithm cross shape (ซ)	59
6.2 ภาพผลลัพธ์ของการกรอง ภาพ GIRL ต้นฉบับ (ก) ภาพ GIRL ที่มีสัญญาณรบกวนอิมพัลส์ 5% (ข) ภาพ GIRL ที่ผ่านการกรองมัลติเซสล์ด้วยขนาดหน้าต่างต่าง 3x3 (ค) ภาพ GIRL ที่ผ่านการกรองมัลติเซสล์แบบปรับขนาดหน้าต่างอัตโนมัติ (ง)	60
6.2 (ต่อ) ภาพ GIRL ที่ผ่านการกรองมัลติเซสล์ (จ) ภาพ GIRL ที่ผ่านการกรองมัลติเซสล์แบบดัดแปลง 1 st algorithm (ฉ) ภาพ GIRL ที่ผ่านการกรองมัลติเซสล์แบบดัดแปลง 2 nd algorithm Square shape (ช) ภาพ GIRL ที่ผ่านการกรองมัลติเซสล์แบบดัดแปลง 2 nd algorithm cross shape (ซ)	61

บทที่ 1

บทนำ

เทคโนโลยีทางด้านไมโครคอมพิวเตอร์ได้ก้าวหน้าไปอย่างรวดเร็ว จากคอมพิวเตอร์แบบ 4 บิตในยุคแรกมาเป็นไมโครคอมพิวเตอร์ เช่น คอมพิวเตอร์ขนาด 16 บิตของบริษัทไอบีเอ็มที่ใช้ชิปไอซีตระกูล 80X86 เป็นที่ได้รับความนิยมอย่างสูง ปัจจุบันไมโครคอมพิวเตอร์จะต้องใช้ชิปเพนเทียม 200 เมกะเฮิร์ตซ์ เอ็มเอ็มเอ็กซ์ (Pentium 200 MHz/MMX) เป็นอย่างน้อย ในอนาคตคาดการณ์ว่าทุก ๆ บ้าน จะต้องมียุคคอมพิวเตอร์ใช้ อย่างน้อย 1 เครื่อง นอกจากนี้เครื่องคอมพิวเตอร์ส่วนมากในโลกนี้จะต่อถึงกันโดยผ่านโมเด็ม (Modem) ไปยังเครือข่ายอินเทอร์เน็ต

ศาสตร์ทางการประมวลผลสัญญาณภาพ (Digital image processing) ได้เข้ามามีบทบาทอย่างมากต่อการประยุกต์ใช้งานของไมโครคอมพิวเตอร์ในด้านต่าง ๆ ทั้งการพาณิชย์ การอุตสาหกรรม ความมั่นคง ด้านการศึกษา การสำรวจทรัพยากรธรรมชาติ ด้านการแพทย์ เป็นต้น ข้อมูลข่าวสารต่าง ๆ จะอยู่ในรูปของภาพ เสียง เอกสาร สัญลักษณ์ ซึ่งคอมพิวเตอร์จะไม่สามารถรับรู้สิ่งเหล่านี้ได้โดยตรง ในขบวนการเริ่มแรกของการประยุกต์ใช้ศาสตร์ทางด้านนี้ จะต้องมีการแปลงและเก็บข้อมูลเข้ามาอยู่ในรูปของสัญญาณเชิงเลข (Digital) จากอุปกรณ์อินพุตของการใช้งานในด้านนั้นๆ เช่น ไมโครโฟน กล้องถ่ายภาพ กล้องวิดีโอ สัญญาณโทรทัศน์ เครื่องอ่านฟิล์ม ดาวเทียม เครื่อง MRI เครื่อง CT-SCAN ULTRA-SOUND เป็นต้น โดยในวิทยานิพนธ์เป็นการศึกษาถึงการแก้ปัญหาสัญญาณรบกวนที่เกิดขึ้นในสัญญาณภาพ เนื่องจากสัญญาณภาพส่วนมากล้วนเป็นสัญญาณที่มีรายละเอียดสูง แต่มีขนาด (Amplitude) ของสัญญาณต่ำ จึงมีโอกาสในการถูกรบกวนได้สูงจากสถานะแวดล้อม และในขบวนการของการแปลงจากสัญญาณภาพ (Analog) เป็นสัญญาณเชิงเลข จะต้องใช้เครื่องมือหรือฮาร์ดแวร์ในการทำงาน ในขั้นตอนนี้จะมีโอกาสในการเกิดสัญญาณรบกวนได้ง่ายและส่วนใหญ่เป็นสัญญาณรบกวนแบบขาวดำ (Impulse noise) ดังนั้นก่อนที่จะนำข้อมูลเหล่านี้ไปประมวลผลในขบวนการต่อไป จะต้องมีการเตรียมหรือปรับแต่งข้อมูลเหล่านั้นให้มีความสมบูรณ์ก่อน วิธีการส่วนใหญ่ที่นิยมใช้ คือ นำข้อมูลภาพมาผ่านการกรองมัธยฐาน (Median filter) เพื่อกำจัดสัญญาณรบกวนที่ไม่ต้องการให้หมดไป

ที่ผ่านมาในอดีต ได้มีผู้ทำวิจัยเกี่ยวกับเรื่องการกรองมัธยฐานเป็นจำนวนมาก โดยการนำเสนอวิธีการกรองมัธยฐานหลาย ๆ วิธีการด้วยกัน ซึ่งแต่ละแบบก็จะมีข้อดี ข้อเสียแตกต่างกันออกไป ในวิทยานิพนธ์นี้ได้นำเสนอการกรองมัธยฐานแบบมีประสิทธิภาพสูง ความซับซ้อนต่ำและสามารถนำไปประยุกต์หรือดัดแปลงเพื่อใช้งานต่อไปได้อย่างสะดวก

1.1 วัตถุประสงค์ของวิทยานิพนธ์

โดยปกติบุคคลโดยทั่ว ๆ ไปนั้นจะไม่ต้องการภาพที่ไม่คมชัดหรือภาพที่มีสัญญาณรบกวน ภาพที่มีสัญญาณรบกวนจะไม่ใช่สิ่งที่ต้องการแก่บุคคลที่ได้พบเห็น ถ้าเราสามารถหาวิธีการ สัญญาณรบกวนออกไปได้ก็ย่อมทำให้ภาพนั้นมีคุณค่าขึ้นมาไม่มากนักน้อย ยิ่งถ้าวิธีการนั้นสามารถ กำจัดสัญญาณรบกวนได้ดีและยังสามารถรักษาความคมชัดของภาพได้ก็จะเป็นที่ต้องการอย่างมาก

สัญญาณรบกวนแบบอิมพัลส์เกิดขึ้นได้หลายลักษณะและตลอดเวลา ทั้งจากธรรมชาติและฝีมือมนุษย์ เนื่องจากสัญญาณภาพโดยทั่วไปมีขนาดแอมพลิจูดต่ำมาก (ประมาณ 0.8 โวลท์ในระบบโทรทัศน์) จึงถูกรบกวนได้โดยง่าย วิธีการกรองสัญญาณแบบมัลติฐานจะมีความเหมาะสมในการกำจัดสัญญาณรบกวนลักษณะนี้และมีคุณสมบัติในการรักษาขอบภาพได้ดี ดังจะได้กล่าวถึงรายละเอียดอีกครั้งในบทที่ 3 การกรองมัลติฐานได้มีผู้นำเสนอและคิดค้นไว้หลายแบบ ในส่วนของวิทยานิพนธ์นี้จะนำเสนอการกรองมัลติฐานมัลติเซลล์แบบดัดแปลง ซึ่งจะสามารถกำจัดสัญญาณรบกวนแบบอิมพัลส์ได้ดี ให้ความคมชัดของภาพสูงและมีวิธีการคำนวณที่ไม่ยุ่งยากและซับซ้อน งานวิจัยนี้คาดว่าจะจะเป็นประโยชน์ต่อการวิจัยและพัฒนาในสาขาการประมวลผลภาพเบื้องต้น งานประมวลผลภาพผลทางด้านอื่นที่เกี่ยวข้อง นอกจากนี้ยังรวมไปถึงการประยุกต์ใช้ในภาพถ่ายทางไกลจากดาวเทียมด้วย

1.2 ขอบเขตของการวิจัย

งานวิจัยนี้จะได้นำเสนอถึงหลักการและวิธีการกรองมัลติฐานแบบดัดแปลง เพื่อแสดงให้เห็นถึงข้อดีและข้อเสียรวมถึงประโยชน์ที่จะได้รับ โดยเนื้อหาได้กล่าวถึงวิธีการที่ได้เคยมีผู้ทำวิจัยไว้แล้วและส่วนที่ผู้ทำวิจัยได้ทำขึ้นใหม่ เพื่อที่จะได้ชี้ให้เห็นถึงข้อดีและข้อเสียของแต่ละวิธี ทฤษฎีที่จะใช้เพื่อเปรียบเทียบภาพผลลัพธ์ ได้แก่ ค่าเฉลี่ยค่าผิดพลาดกำลังสอง (MSE) และอัตราส่วนสัญญาณต่อสัญญาณรบกวน (SNR) โดยรายละเอียดของเนื้อหาในวิทยานิพนธ์นี้สามารถแบ่งได้ดังนี้

บทที่ 1 เป็นบทนำ กล่าวถึงวัตถุประสงค์ และขอบเขตของวิทยานิพนธ์

บทที่ 2 เนื้อหาเกี่ยวกับระบบพื้นฐานของการประมวลผลภาพ ทฤษฎีและวิธีการกำเนิด

สัญญาณรบกวนแบบอิมพัลส์ รวมถึงทฤษฎีที่ใช้ในการวัดเพื่อเปรียบเทียบคุณภาพของภาพ

นด้านการคำนวณและการเปรียบเทียบคุณภาพของภาพ

ไม่ว่ากรณีใดๆทั้งสิ้น อีกทั้งห้ามมิให้ดัดแปลงเนื้อหา และต้องอ้างอิงถึงเจ้าของเอกสารทุกครั้งที่มีการนำไปใช้

บทที่ 3 อธิบายถึงหลักการกรองมัชฐานเบื้องต้น ข้อดีและข้อเสียของวิธีนี้ นอกจากนี้ได้มีการกล่าวถึงวิธีการกรองมัชฐานที่เคยมีการวิจัยไว้แล้ว รวมถึงวิธีการกรองมัชฐานแบบมัลติเซลล์

บทที่ 4 อธิบายหลักการทำงานของวิธีการกรองมัชฐานแบบปรับขนาดหน้าต่างอัตโนมัติ

บทที่ 5 อธิบายหลักการทำงานการกรองมัชฐานมัลติเซลล์แบบคัดแปลงที่ผู้วิจัยได้คิดค้นขึ้นทั้ง 2 แบบ นอกจากนี้ยังได้เปรียบเทียบกับวิธีการกรองมัชฐานชนิดอื่น ๆ ด้วย

บทที่ 6 จะเป็นเนื้อหาเกี่ยวกับการวิเคราะห์วิจารณ์ผลการทดลองทั้งหมด สรุปผล พร้อมทั้งนำเสนอแนวทาง ปัญหา ข้อคิดเห็น เพื่อเป็นการพัฒนาต่อไปในอนาคต

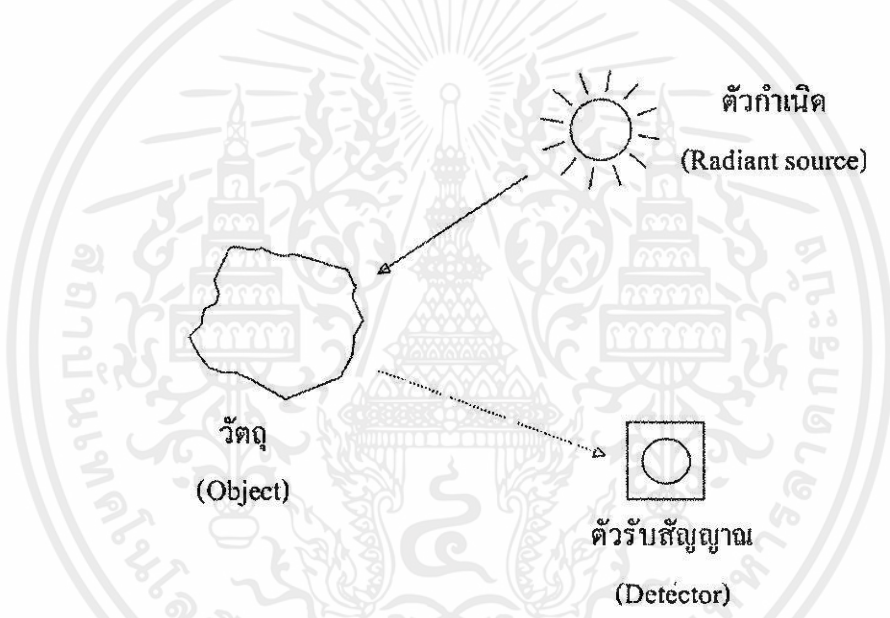
ส่วนภาคผนวกจะเป็นเนื้อหาโปรแกรมทั้งหมดที่เกี่ยวข้องกับงานวิจัยนี้ที่เขียนขึ้น โดยการใช้โปรแกรมภาษาซีของบริษัทเบอร์แลนด์ เวอร์ชัน 3.1

เอกสารนี้เป็นเอกสารที่สงวนไว้สำหรับการใช้งานเพื่อการศึกษาเท่านั้น ไม่อนุญาตให้นำไปใช้ประโยชน์ด้านการค้า ไม่ว่าจะกรณีใดๆทั้งสิ้น อีกทั้งห้ามมิให้คัดแปลงเนื้อหา และต้องอ้างอิงถึงเจ้าของเอกสารทุกครั้งที่มีการนำไปใช้

บทที่ 2

ทฤษฎีพื้นฐานในการประมวลผลสัญญาณภาพ

การที่มนุษย์สามารถมองเห็นสิ่งต่าง ๆ ได้นั้น เกิดจากแสงที่ตกกระทบต่อพื้นผิววัตถุแล้วสะท้อนเข้าตา จำนวนของความเข้มแสงที่แตกต่างกันได้ก่อให้เกิดเป็นภาพขึ้น เช่นเดียวกับหลักการของกล้องถ่ายภาพ คือ ภาพเกิดจากความเข้มแสงที่ตกกระทบฟิล์มที่มีความแตกต่างกัน เมื่อนำฟิล์มไปล้างก็จะได้ภาพที่ปรากฏบนฟิล์ม วิธีการสร้างภาพนอกจากที่เกิดจากแสงตามธรรมชาติแล้วยังมีอีกหลายวิธี เช่น เลเซอร์ หลอดรังสีเอกซ์ ความร้อน คลื่นเสียง ทำหน้าที่เป็นตัวกำเนิด (radiant source) ซึ่งแต่ละวิธีก็จะต้องมีตัวรับสัญญาณ (detector) ที่เหมาะสมแตกต่างกัน



ภาพที่ 2.1 วิธีการสร้างภาพที่ประกอบด้วยองค์ประกอบหลักคือตัวกำเนิด วัตถุ และตัวรับสัญญาณ

2.1 ระบบพื้นฐานการประมวลผลสัญญาณภาพดิจิทัล

สัญญาณภาพที่สายตามนุษย์สามารถมองเห็น และสัญญาณภาพที่ใช้ในการส่งออกอากาศทางโทรทัศน์ รวมถึงสัญญาณภาพจากกล้องวิดีโอเหล่านี้ล้วนจัดเป็นสัญญาณอนาล็อก (analog signal) ซึ่งไม่เหมาะสมสำหรับการนำไปประยุกต์ใช้กับงานด้านการประมวลผลสัญญาณภาพดิจิทัล (digital image processing) ดังนั้นสัญญาณดังกล่าวต้องถูกแปลงเป็นสัญญาณดิจิทัลเสียก่อน โดยเครื่องแปลงสัญญาณภาพเป็นสัญญาณดิจิทัล (Image digitizer or frame grabber) จะได้ภาพที่มีขนาด 2 มิติ $f(x,y)$ เป็นฟังก์ชันของระดับความเข้มแสงบนภาพในตำแหน่ง x และ y ในระบบสเปซเชิงโคออร์ดิเนต ค่าของ f บน (x,y) ใด ๆ จะเป็นสัดส่วนของระดับความสว่าง (gray level) ของภาพที่จุดนั้น

จุดออริจิน

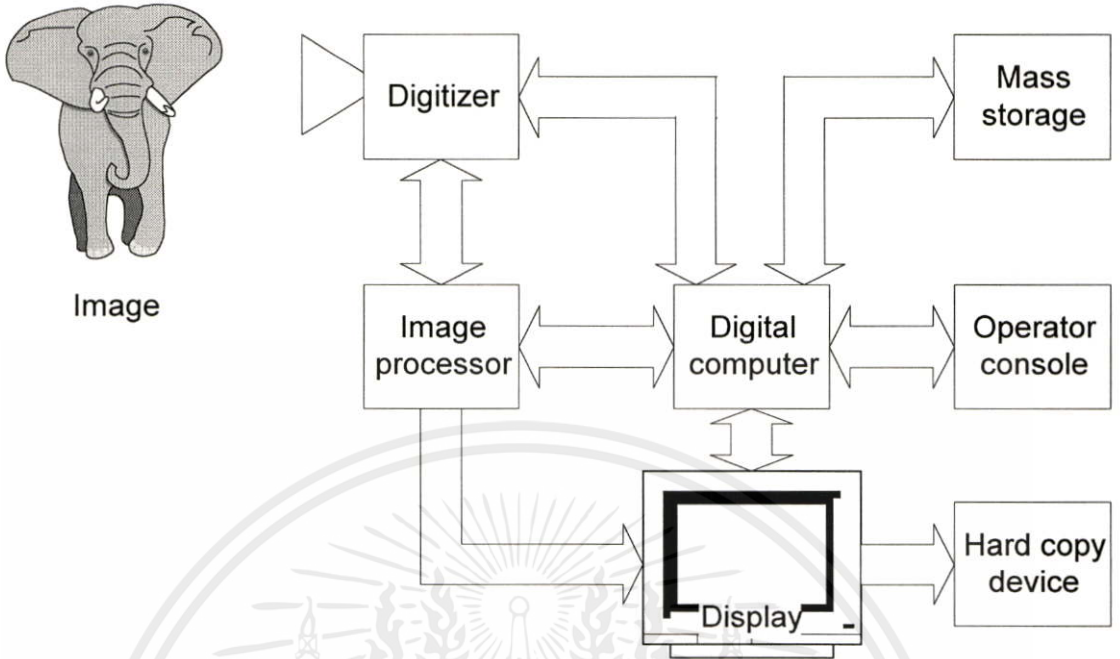
(Origin)



ภาพที่ 2.2 ภาพดิจิทัลในระบบ 8 บิตของระดับความสว่าง (grey level)

การกำหนดแกน x,y ในการอ้างอิงจะใช้วิธีที่สอดคล้องกับ โปรแกรมภาษาซี เช่น เทอร์โบซี 2.0 หรือบอร์แลนด์ซีพลัสพลัส 3.1 ของบริษัทบอร์แลนด์ โดยมีจุดออริจินที่มุมบนซ้าย ค่าแกน x วิ่งไปทางขวา ค่าแกน y วิ่งลงล่างตรงนี้จะมีความแตกต่างกับลักษณะกราฟทั่ว ๆ ไปที่ค่า y จะวิ่งขึ้นข้างบน เหตุผลที่มีการกำหนดดังนี้เพื่อให้สอดคล้องกับการแสดงของลำอิเล็กตรอนในระบบจอภาพของโทรทัศน์ที่มีการแสดงจากซ้ายไปขวาและจากบนลงล่าง ระบบการประมวลผลสามารถอธิบายได้ดังรูปนี้

เอกสารนี้เป็นเอกสารที่สงวนไว้สำหรับการใช้งานเพื่อการศึกษาเท่านั้น ไม่อนุญาตให้นำไปใช้ประโยชน์ด้านการค้า ไม่ว่ากรณีใดๆทั้งสิ้น อีกทั้งห้ามมิให้คัดแปลงเนื้อหา และต้องอ้างอิงถึงเจ้าของเอกสารทุกครั้งที่มีการนำไปใช้



ภาพที่ 2.3 ระบบการประมวลผลสัญญาณภาพดิจิทัล

ชุด digitizer จะประกอบไปด้วยกล้อง หรืออุปกรณ์รับสัญญาณภาพ และโมดูลของการแปลง อนาลอกเป็นดิจิทัล สัญญาณภาพดิจิทัลที่ได้จะถูกส่งไปประมวลผลที่ image processor หรืออาจจะเป็นตัว digital computer เพื่อทำการประมวลผลและเก็บข้อมูลภาพทั้งหมดนั้น ไว้ในรูปของหน่วยความจำสำรอง (mass storage device)

การแปลงอนาลอกเป็นดิจิทัลจะเป็นขนาดความละเอียดของระดับเทา ซึ่งจะเท่าใดก็ได้ขึ้นอยู่กับความต้องการ และขีดความสามารถของเทคโนโลยี รวมถึงราคาที่เหมาะสมในยุคนั้น ๆ เนื่องจากสัญญาณภาพมีรายละเอียดของข้อมูลมาก การแซมปลิงเพื่อที่จะเก็บข้อมูล ต้องมีความรวดเร็วพอ ไอซีที่จะใช้ทำหน้าที่นี้ต้องเป็น flash A/D เช่น CA3318 ของ Harris เมื่อประมาณปี พ.ศ. 2534 ไอซีประเภท ขนาด 8 บิต มีราคาประมาณ 5,000 บาท ในขณะที่ปัจจุบันราคาได้ลดลงไปมาก เหลือแค่ประมาณ 600 บาท ส่วน flash A/D ขนาด 6 บิต ก็จะมีราคาถูกกว่าขนาด 8 บิตเป็นอย่างมาก โดยจำนวนระดับของค่าระดับเทา สามารถแสดงได้ดังสมการ 2.1

$$G=2^m \quad (2.1)$$

เมื่อ G คือจำนวนระดับของ gray level
 m คือ จำนวนบิตในการแปลง A/D

สำหรับภาพที่ผ่านการแปลงแล้วจะถูกเก็บอยู่ในหน่วยความจำในรูปแบบของแอเรย์ 2 มิติ โดยมีขนาดของภาพเป็น $M \times N$ จำนวนจุดภาพ ดังสมการ 2.2

$$f(x,y) = \begin{bmatrix} f(0,0) & f(1,0) & \dots & \dots & f(M-1,0) \\ f(0,1) & f(1,1) & \dots & \dots & f(M-1,1) \\ \vdots & \vdots & \ddots & \ddots & \vdots \\ f(0,N-1) & f(1,N-1) & \dots & \dots & f(M-1,N-1) \end{bmatrix} \quad (2.2)$$

เมตริกซ์ทางขวามือสมการคือภาพดิจิทัล โดยแต่ละองค์ประกอบในเมตริกซ์จะเป็น image element หรือ picture element อาจเรียกโดยชื่อย่อว่า pel หรือ pixel ก็ได้ ขนาดของภาพ คือ $M \times N$ ที่นิยมโดยทั่วไป เช่น 256×256 หรือ 512×512

2.2 ทฤษฎีการเปรียบเทียบคุณภาพของภาพ

ในการประมวลผลภาพนั้น ถึงแม้ว่าผลลัพธ์ที่ได้อาจจะดีขึ้นหรือแย่ลงก็ตาม แต่เราสามารถเปรียบเทียบคุณภาพของภาพได้ด้วยสายตาระหว่างภาพต้นฉบับกับภาพที่ผ่านการประมวลผลแล้ว แต่วิธีการนี้จะไม่สามารถบอกคุณภาพของภาพที่ได้ออกมาเป็นตัวเลขได้ว่าภาพนี้ดีขึ้นหรือแย่ลง เป็นกี่เปอร์เซ็นต์ของภาพที่ต้องการเปรียบเทียบ วิธีที่ใช้เปรียบเทียบเพื่อให้ออกมาในรูปแบบของตัวเลขหรือเพื่อให้อยู่ในรูปแบบมาตรฐานการเปรียบเทียบ เช่น การค่ารากที่สองของค่าเฉลี่ยผิดพลาดกำลังสอง

(root mean square error ; RMSE) ค่าเฉลี่ยผิดพลาดกำลังสอง (mean square error ; MSE) ค่าเฉลี่ยผิดพลาดทางขนาด (mean absolute error ; MAE) ในวิทยานิพนธ์นี้จะใช้ค่า MSE เป็นหลัก

วิธี MSE ได้ถูกคิดค้นขึ้นโดย Justusson [2] ซึ่งได้รับความนิยมอย่างสูงจากผู้ที่ทำงานวิจัยด้านการประมวลผลภาพและวิธีการนี้ยังได้ถูกอ้างอิงถึงจากบทความอื่น ๆ อีกหลายบทความ

กำหนดให้

$S_{i,j}$ คือค่าระดับสีเทาของภาพต้นแบบที่จุด i, j

$X_{i,j}$ คือค่าระดับสีเทาของภาพที่ผ่านการประมวลผลที่จุด i, j

M, N คือขนาดของภาพทางแนวนอนและแนวตั้งตามลำดับ

เอกสารนี้เป็นเอกสารที่สงวนไว้สำหรับการศึกษาเท่านั้น ไม่อนุญาตให้นำไปใช้ประโยชน์ด้านการค้า
ไม่ว่ากรณีใดๆทั้งสิ้น อีกทั้งห้ามมิให้คัดแปลงเนื้อหา และต้องอ้างอิงถึงเจ้าของเอกสารทุกครั้งที่มีการนำไปใช้

ค่าเฉลี่ยผิดพลาดกำลังสอง (Mean square error:MSE) มีค่าตามสมการที่ 2.3

$$MSE = \frac{1}{MN} \sum_{i=1}^M \sum_{j=1}^N (S_{i,j} - X_{i,j})^2 \quad (2.3)$$

ค่าเฉลี่ยผิดพลาดกำลังสอง MSE จะใช้วัดความแตกต่างของข้อมูล ภาพค่า MSE ถ้ามีค่าน้อยจะเป็นดัชนีบอกว่าภาพนั้นมีคุณภาพดี ในทำนองตรงข้ามกันถ้าค่า MSE มากแสดงว่าภาพนั้นมีคุณภาพที่ไม่ดี

ค่าเฉลี่ยผิดพลาดทางขนาด (Mean absolute error : MAE) มีค่าตามสมการที่ 2.4

$$MAE = \frac{1}{MN} \sum_{i=1}^M \sum_{j=1}^N |S_{i,j} - X_{i,j}| \quad (2.4)$$

ค่าเฉลี่ยผิดพลาดทางขนาดเป็นการหาค่าเฉลี่ยทางขนาดของค่าความแตกต่างระหว่างภาพต้นแบบกับภาพที่ถูกประมวลผลโดยตรง จะใช้วัดกับข้อมูลภาพที่มีความแตกต่างกันมาก ๆ MAE มีคุณสมบัติเป็นฟังก์ชันเชิงเส้น ดังนั้นค่านี้มีค่าน้อยก็ยิ่งดีในทำนองเดียวกับค่า MSE

สำหรับค่ารากที่สองของค่าเฉลี่ยผิดพลาดกำลังสอง (Root mean square error : RMSE) มีค่าตามสมการที่ 2.5

$$RMSE = \sqrt{\frac{1}{MN} \sum_{i=1}^M \sum_{j=1}^N (S_{i,j} - X_{i,j})^2} \quad (2.5)$$

การหาค่ารากที่สองของค่าเฉลี่ยผิดพลาดกำลังสอง นิยมใช้วัดคุณภาพของภาพในงานบีบอัดและขยายข้อมูลภาพ ค่านี้จะคล้ายกับ MSE ส่วนวิธีการใช้แต่ละแบบนี้ขึ้นอยู่กับจุดประสงค์ของงานและความเหมาะสมของงานนั้น ๆ

อัตราส่วนสัญญาณต่อสัญญาณรบกวน (Signal to noise ratio : SNR) มีค่าตามสมการที่ 2.6

เอกสารนี้เป็นเอกสารที่สงวนไว้สำหรับการใช้งาน $\sum_{i=1}^M \sum_{j=1}^N X_{i,j}^2$ ศึกษาเท่านั้น ไม่อนุญาตให้นำไปใช้ประโยชน์ด้านการค้า
ไม่ว่ากรณีใดๆทั้งสิ้น อีกทั้ง $SNR = 10 \log_{10} \frac{\sum_{i=1}^M \sum_{j=1}^N X_{i,j}^2}{\sum_{i=1}^M \sum_{j=1}^N (S_{i,j} - X_{i,j})^2}$ และต้องอ้างอิงถึงเจ้าของเอกสารทุกครั้งที่มีก(2.6) ไปใช้

การหาค่าอัตราส่วนของสัญญาณต่อสัญญาณรบกวน มีหน่วยเป็นเดซิเบล (dB) ค่า SNR ยิ่งมากจะยิ่งดีมากขึ้นนั่นหมายความว่าค่าพลังงานของข้อมูลภาพมีมากกว่าพลังงานของสัญญาณรบกวน

2.3 สัญญาณรบกวนแบบอิมพัลส์ (Impulse noise)

เป็นสัญญาณรบกวนที่มีขนาดของแอมพลิจูดสูงมากและมีความกว้างของสัญญาณแคบมาก ขนาดของสัญญาณมีโอกาสเป็นไปได้ทั้งบวกและลบ โดยมีความน่าจะเป็นเท่า ๆ กัน สัญญาณรบกวนชนิดนี้เกิดขึ้นได้จากการกระชากอย่างรุนแรงของระบบไฟฟ้ากำลังสูง ๆ การผิดพลาดของบิท ข้อมูลดิจิทัลในกระบวนการสื่อสาร หรือเกิดจากการผิดพลาดของการแปลงจาก ข้อมูลอนาลอก เป็นดิจิทัล (Analog to digital malfunction)

สมการของการเกิดอิมพัลส์น้อยตัวมีค่าตามสมการที่ 2.7

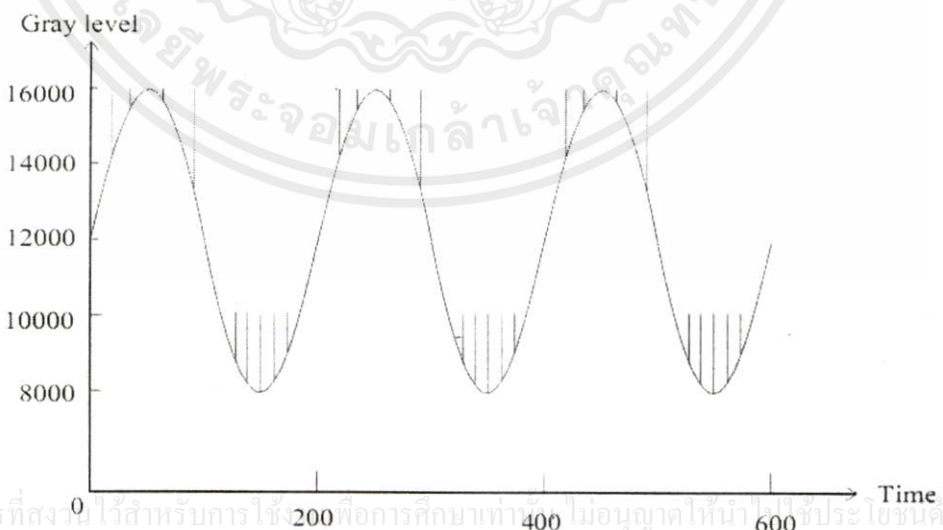
$$N_{i,j}^{imp} = \begin{cases} d & \text{เมื่อ } P^+/2 \\ -d & \text{เมื่อ } P^-/2 \\ 0 & \text{เมื่อ } 1-P \end{cases} \quad (2.7)$$

$N_{i,j}^{imp}$ คือค่าระดับสีเทาของภาพที่เกิดสัญญาณรบกวนแบบอิมพัลส์ที่จุด i, j

d คือขนาดของสัญญาณรบกวนแบบอิมพัลส์

P คือความน่าจะเป็นของการเกิดสัญญาณรบกวน

$+, -$ แสดงสัญญาณรบกวนช่วงค่าบวก (salt noise) และช่วงค่าลบ (pepper noise)



เอกสารนี้เป็นเอกสารที่สงวนไว้สำหรับการศึกษาเท่านั้น ไม่อนุญาตให้นำไปใช้ประโยชน์ด้านการค้า ไม่ว่ากรณีใดๆทั้งสิ้น อีกทั้งห้ามมิให้คัดแปลงเนื้อหา และต้องอ้างอิงถึงเจ้าของเอกสารทุกครั้งที่มีการนำไปใช้

ภาพที่ 2.4 สัญญาณรบกวนแบบอิมพัลส์ที่ปรากฏบนสัญญาณชายน์เวฟ

สัญญาณรบกวนแบบอิมพัลส์เกิดขึ้นกระจายอยู่ทั่วไปในภาพขึ้นอยู่กับความน่าจะเป็นของการเกิดสัญญาณรบกวน P ซึ่งมีฟังก์ชันการกระจายแบบยูนิฟอร์ม



ภาพที่ 2.5 ภาพ LENA ที่มีสัญญาณรบกวนอิมพัลส์ 10 %

2.5 สัญญาณรบกวนแบบขาดหายไปของเส้นภาพ (Missing line noise)

สัญญาณรบกวนแบบขาดหายไปของเส้นภาพ (Missing line noise) ในกระบวนการส่งสัญญาณเพื่อการสื่อสาร หรือถ่ายทอดสัญญาณโทรทัศน์ อาจเกิดการสูญเสียหรือขาดหายไปของเส้นสัญญาณภาพบางเส้น ซึ่งไม่สามารถแก้ไขให้คืนกลับมาได้ การสูญเสียหรือขาดหายไปของเส้นสัญญาณภาพบางเส้นดังกล่าวเรียกว่าเป็นสัญญาณรบกวนแบบขาดหายไปของเส้นภาพ (missing line noise) [13] และการขาดหายของเส้นสัญญาณภาพจะเกิดเฉพาะในแวนอนเท่านั้น เนื่องจากระบบการส่งสัญญาณของโทรทัศน์จะใช้วิธีในการสแกนแวนอนก่อนหลังจากนั้นก็ทำการสแกนทีละเส้นแล้วจึงไล่จากบนลงล่าง ดังนั้นจึงอาจมีการขาดหายไปของสัญญาณได้ถ้าถูกรบกวนหรือมีข้อผิดพลาดในการทำงาน

เอกสารนี้เป็นเอกสารที่สงวนไว้สำหรับการใช้งานเพื่อการศึกษาเท่านั้น ไม่อนุญาตให้นำไปใช้ประโยชน์ด้านการค้า ไม่ว่ากรณีใดๆทั้งสิ้น อีกทั้งห้ามมิให้คัดแปลงเนื้อหา และต้องอ้างอิงถึงเจ้าของเอกสารทุกครั้งที่มีการนำไปใช้



ภาพที่ 2.6 ภาพ LENA ที่มีสัญญาณรบกวนแบบ Missing line noise และ อิมพัลส์ 5 %

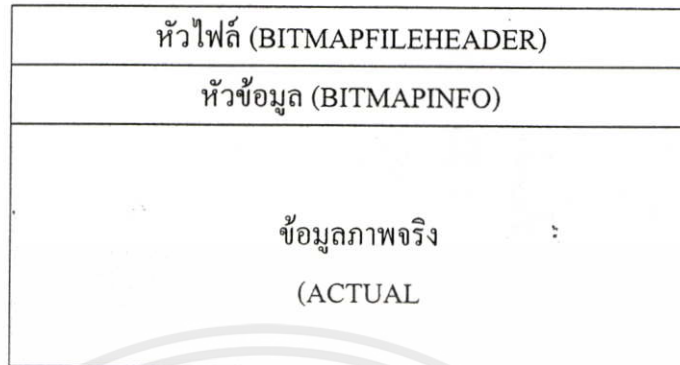
2.6 รูปแบบของข้อมูลภาพถ่ายโดยทั่วไป

รูปแบบของข้อมูลที่มีใช้อยู่โดยทั่วไปนั้น เช่น GIF, IFF/LBM, WPG, PIC, TGA, PCX และ TIFF เป็นต้น รูปแบบของข้อมูลที่นิยมใช้กันมากคือ PCX, GIF, BMP และ TIFF สำหรับรูปแบบของข้อมูลแบบ BMP หรือบิตแมพจัดเป็นรูปแบบที่ได้รับความนิยมมากที่สุด เพราะข้อมูลแบบบิตแมพนี้ไม่มีการบีบข้อมูล (compression) จึงมีความรวดเร็วและสะดวกในการอ่านข้อมูลอย่างมาก นอกจากนี้รูปแบบของข้อมูลกลางที่ใช้ในการแลกเปลี่ยนระหว่างโปรแกรมประยุกต์ต่างๆ ใช้ในการส่งข้อมูลไปให้อุปกรณ์แสดงผลและอุปกรณ์อื่นๆ เป็นต้น แต่ในรูปแบบบิตแมพนี้มีข้อจำกัดคือต้องเปลืองเนื้อที่ฮาร์ดดิสในการจัดเก็บข้อมูลสูงกว่ารูปแบบอื่นที่ใช้การเข้ารหัสบีบข้อมูล

2.6.1 รูปแบบของข้อมูลภาพ BMP

รูปแบบของข้อมูล BMP ใช้กับโปรแกรมระบบซีในวินโดวเวอร์ชัน 3.0 เป็นต้นมา โดยรูปแบบของข้อมูลแบบนี้สามารถเป็นข้อมูลสีได้ ตั้งแต่ 1 ถึง 24 บิต มีส่วนหัว (header) ในการบอรายละเอียดต่างๆ ของภาพ โดยกำหนดในลักษณะโครงสร้าง (structure) ในภาษาระดับสูง เช่น ภาษาซี ข้อมูลภาพในรูปแบบบิตแมพแบ่งออกได้ 3 ส่วน คือ หัวไฟล์ (BITMAPFILEHEADER) ตามตารางที่ 2.1 หัวข้อมูล (BITMAPINFO) ตามตารางที่ 2.2 และ 2.3 ซึ่งรวมทั้งข้อมูลต่างๆ และพาเลตของสี (color palette) และ ข้อมูลภาพจริง (actual image) จากภาพที่ 2.7 ข้อมูลภาพในรูปแบบ

BMP นั้นแสดงส่วนประกอบของโครงสร้างที่ใหญ่ที่สุดของภาพ ซึ่งข้อมูลพาดสีและข้อมูลภาพ จะเปลี่ยนโครงสร้างไปตามรูปแบบของจำนวนสีของภาพและวิธีการถอดรหัส



ภาพที่ 2.7 โครงสร้างที่ใหญ่ที่สุดของภาพในรูปแบบบิตแมพ

ตารางที่ 2.1 รายละเอียดเกี่ยวกับหัวไฟล์ของภาพบิตแมพ (BITMAPFILEHEADER)

ขนาด	ชื่อตัวแปร	ความหมาย
-WORD	BfType;	เป็นชนิดของรูปแบบข้อมูลภาพสำหรับบิตแมพ คือ BM
-DWORD	BfSize;	เป็นขนาดของไฟล์ทั้งหมด
-WORD	BfReserved 1;	ไม่ได้ใช้งาน ปกติกำหนดให้มีค่าเป็นศูนย์
-WORD	BfReserved 2;	ไม่ได้ใช้งาน ปกติกำหนดให้มีค่าเป็นศูนย์
-DWORD	bfOffBits;	เป็นขนาดของหัวไฟล์ทั้งหมด ใช้เพื่อข้ามไปจุดเริ่มต้นของข้อมูลภาพจริง

ตารางที่ 2.2 องค์ประกอบของหัวข้อมูล (BITMAPINFO)

หัวข้อมูล	ลักษณะ	ความหมาย
-BITMAPINFOHEADER	BmiHeader;	เป็นข้อมูลเกี่ยวกับขนาดต่าง ๆ จำนวนสี และรูปแบบของสี
-RGBQUAD	bmiColors (1);	เป็นอาร์เรย์ข้อมูลสีอาร์จีบีที่เป็นตัวกำหนดสีในการแสดงผลของภาพ

เอกสารนี้เป็นเอกสารที่สงวนไว้สำหรับการใช้งานเพื่อการศึกษาเท่านั้น ไม่อนุญาตให้นำไปใช้ประโยชน์ด้านการค้า. ไม่ว่ากรณีใดๆทั้งสิ้น อีกทั้งห้ามมิให้คัดแปลงเนื้อหา และต้องอ้างอิงถึงเจ้าของเอกสารทุกครั้งที่มีการนำไปใช้

ตารางที่ 2.3 องค์ประกอบโครงสร้างของ BITMAPINFOHEADER

ขนาดของพารามิเตอร์	ชื่อพารามิเตอร์	ความหมาย
-DWORD	BiSize;	เป็นขนาดของส่วนหัวข้อมูลมีหน่วยเป็นไบต์
-DWORD	BiWidth;	เป็นความกว้างของภาพ มีหน่วยเป็น จุดภาพ/เส้น
-DWORD	BiHeight	เป็นความสูงของภาพ มีหน่วยเป็นเส้น
-WORD	BiPlanes;	เป็นจำนวนหน้าของสี (color plane) สำหรับอุปกรณ์เป้าหมาย (targetdevice) ปกติกำหนดให้เป็น 1 เสมอ
-WORD	BiBitCount;	จำนวนบิตต่อจุดภาพ (1, 4, 8, 24) *
-DWORD	biCompression;	เป็นชนิดของการบีบอัด**
-DWORD	biSizelmage;	เป็นขนาดของภาพมีหน่วยเป็นไบต์
-DWORD	biXPelsPerMeter;	เป็นความละเอียดสำหรับอุปกรณ์เป้าหมายในแนวนอนต่อหนึ่งเมตร
-DWORD	biYPelsPerMeter;	เป็นความละเอียดสำหรับอุปกรณ์เป้าหมายในแนวตั้งต่อหนึ่งเมตร
-DWORD	BiClrUsed;	เป็นจำนวนดัชนีสี (color index) ในตารางสี (color table) มีค่าได้ 3 กรณี***
-DWORD	BiClrImportant;	เป็นจำนวนความสำคัญของดัชนีสี (color index) ในการแสดงผล ถ้าเป็นศูนย์ทุกสีจะมีความสำคัญเท่ากันหมด

* หมายเหตุความหมายของจำนวนบิตต่อจุดภาพ

1	บิตแมพ 2 สี (monochrome bitmap)	มีจำนวนแอร์เรย์สี 2 แอร์เรย์
4	บิตแมพมี 16 สีสูงสุด	มีจำนวนแอร์เรย์สี 16 แอร์เรย์
8	บิตแมพมี 256 สีสูงสุด	มีจำนวนแอร์เรย์สี 256 แอร์เรย์
24	บิตแมพมี 16.7 ล้านสีสูงสุด	NULL (ไม่มีแอร์เรย์)

เอกสารนี้เป็นเอกสารที่สงวนไว้สำหรับการใช้งานเพื่อการศึกษาเท่านั้น ไม่อนุญาตให้นำไปใช้ประโยชน์ด้านการค้า ไม่ว่ากรณีใดๆทั้งสิ้น อีกทั้งห้ามมิให้คัดแปลงเนื้อหา และต้องอ้างอิงถึงเจ้าของเอกสารทุกครั้งที่มีการนำไปใช้

** สำหรับรูปแบบการบีบอัด มีความหมายดังนี้คือ

BI_RGB	แสดงว่าข้อมูลไม่มีการบีบอัด
BI_RLE4	ทำการเข้ารหัสรันเลนส์ (run-length) ด้วยขนาด 4 บิตต่อจุดภาพ โดยในสองไบต์จะประกอบด้วยไบต์นับ (count byte) และดัชนีสีขนาด 1 ไบต์ที่แสดงผลได้ 2 จุดภาพ
BI_RLE8	ทำการเข้ารหัสรันเลนส์ด้วยขนาด 8 บิต ต่อจุดภาพ โดยในสองไบต์จะประกอบด้วยไบต์นับและดัชนีสีขนาด 1 ไบต์ ในการแสดงผล 1 จุดภาพ

*** จำนวนดัชนีสีในตารางสีมีความหมายดังนี้คือ

0	ใช้จำนวนสีสูงสุดเท่ากับ $2^{biBitCount}$
ไม่เป็นศูนย์	- ถ้า $biBitCount < 24$ $biClrUsed$ จะระบุจำนวนสีที่ใช้ในการแสดงผล เช่น เมื่อ $biBitCount$ เท่ากับ 8 จะมีค่า $biClrUsed$ เท่ากับ 256 สี เป็นต้น - ถ้า $biBitCount = 24$ $biClrUsed$ จะระบุขนาดของตารางอ้างอิง (reference table) เพื่อให้วินโดวส์ได้รับรู้และใช้ในการแสดงผลพาเลตต์สีให้เหมาะสมที่สุด

สำหรับโครงสร้าง RGBQUAD ที่เก็บรายละเอียดของพาเลตต์สีประกอบด้วยส่วนประกอบดังนี้

```

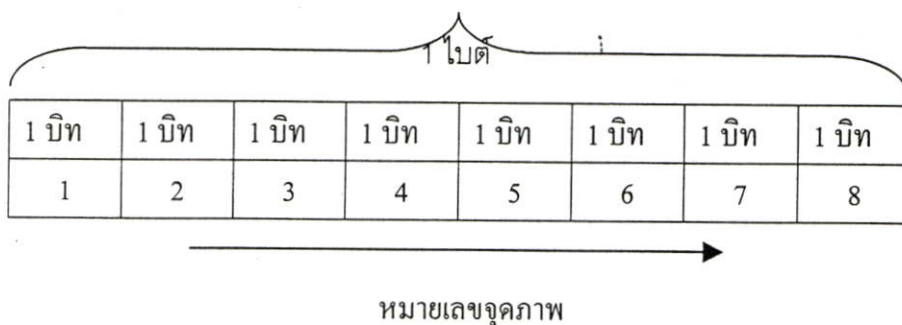
BYTE rgbBlue;
BYTE rgbGreen;
BYTE rgbRed;
BYTE rgbReserved; ไม่ใช้งาน (ปกติตั้งให้เป็นศูนย์)

```

โดยทั่วไปข้อมูลบิตแมพของภาพจริงนั้นจะมีการเก็บที่แตกต่างกันตามจำนวนบิตข้อมูลภาพและลักษณะการบีบอัด แต่พบว่าข้อมูลในรูปแบบบิตแมพที่ใช้ส่งข้ามระหว่างโปรแกรมประยุกต์ต่าง ๆ นั้น จะไม่ใช้การบีบอัดข้อมูล สามารถแบ่งรูปแบบข้อมูลได้เป็น 4 ชนิด คือ

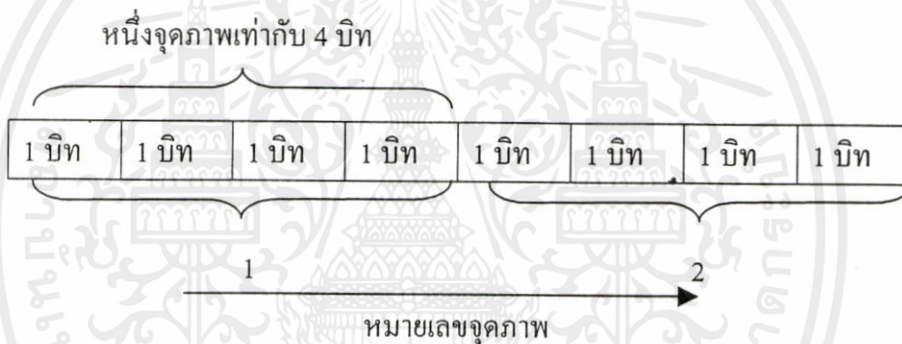
ชนิดที่ 1 ถ้าเป็น 1 บิตต่อจุดภาพ หมายความว่าดัชนีสีเป็นแอร์เรย์จำนวน 2 แอร์เรย์ คือมี 2 สี โดยข้อมูลแต่ละบิตจะแทนหนึ่งจุดภาพ ตามภาพที่ 2.8

ไม่ว่ากรณีใดๆทั้งสิ้น อีกทั้งห้ามให้คิดแปลงเนื้อหา และต้องอ้างอิงถึงเจ้าของเอกสารทุกครั้งที่มีการนำไปใช้



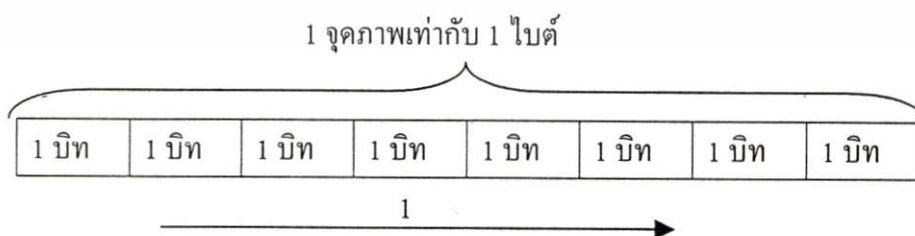
ภาพที่ 2.8 ข้อมูลภาพบิตแมพ 2 สี (monochrome Bitmap)

ชนิดที่ 2 ถ้าเป็น 4 บิตต่อจุดภาพ หมายความว่าดัชนีสีเป็นแอร์เรย์จำนวน 16 แอร์เรย์ คือมี 16 สี โดยข้อมูลแต่ละ 4 บิตจะแทนหนึ่งจุดภาพ ตามภาพที่ 2.9



ภาพที่ 2.9 ข้อมูลภาพบิตแมพ 16 สี

ชนิดที่ 3 ถ้าเป็น 8 บิตต่อจุดภาพ หมายความว่าดัชนีสีเป็นแอร์เรย์จำนวน 256 แอร์เรย์ คือมี 256 สี โดยข้อมูลแต่ละ 8 บิตจะแทนหนึ่งจุดภาพ ตามภาพที่ 2.10

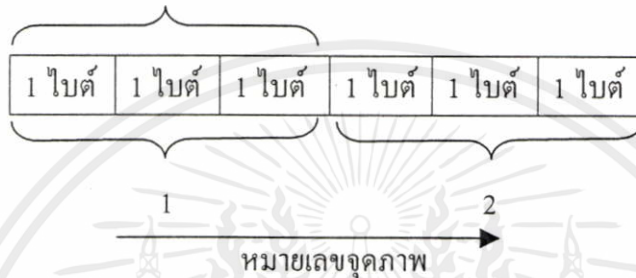


เอกสารนี้เป็นเอกสารที่สงวนไว้สำหรับการใช้งานเพื่อการศึกษาเท่านั้น ไม่อนุญาตให้นำไปใช้ประโยชน์ด้านการค้า ไม่ว่ากรณีใดๆทั้งสิ้น อีกทั้งห้ามมิให้คัดแปลงเนื้อหา และต้องอ้างอิงถึงเจ้าของเอกสารทุกครั้งที่มีการนำไปใช้

ภาพที่ 2.10 ข้อมูลภาพบิตแมพ 256 สี

ชนิดที่ 4 ถ้าเป็น 24 บิตต่อจุดภาพ หมายความว่าสามารถแสดงสีได้พร้อม ๆ กันเท่ากับ 2^{24} คือ 16.7 ล้านสี นั่นก็หมายความว่ารูปแบบของข้อมูลชนิดนี้ไม่ต้องมีการใช้ดัชนีสี เพราะสามารถที่จะผสมสีได้โดยตรง ดังนั้นในกรณีนี้ bmiColors = NULL ข้อมูลแต่ละ 3 ไบต์ที่เรียงกันจะแสดง relative intensity ของสีฟ้า สีเขียว และสีแดง (BRG) ตามลำดับ โดยข้อมูลแต่ละ 24 บิตจะแทนหนึ่งจุดภาพ ตามภาพที่ 2.11

หนึ่งจุดภาพเท่ากับ 24 บิต



ภาพที่ 2.11 ข้อมูลภาพบิตแมพ 16.7 ล้านสี

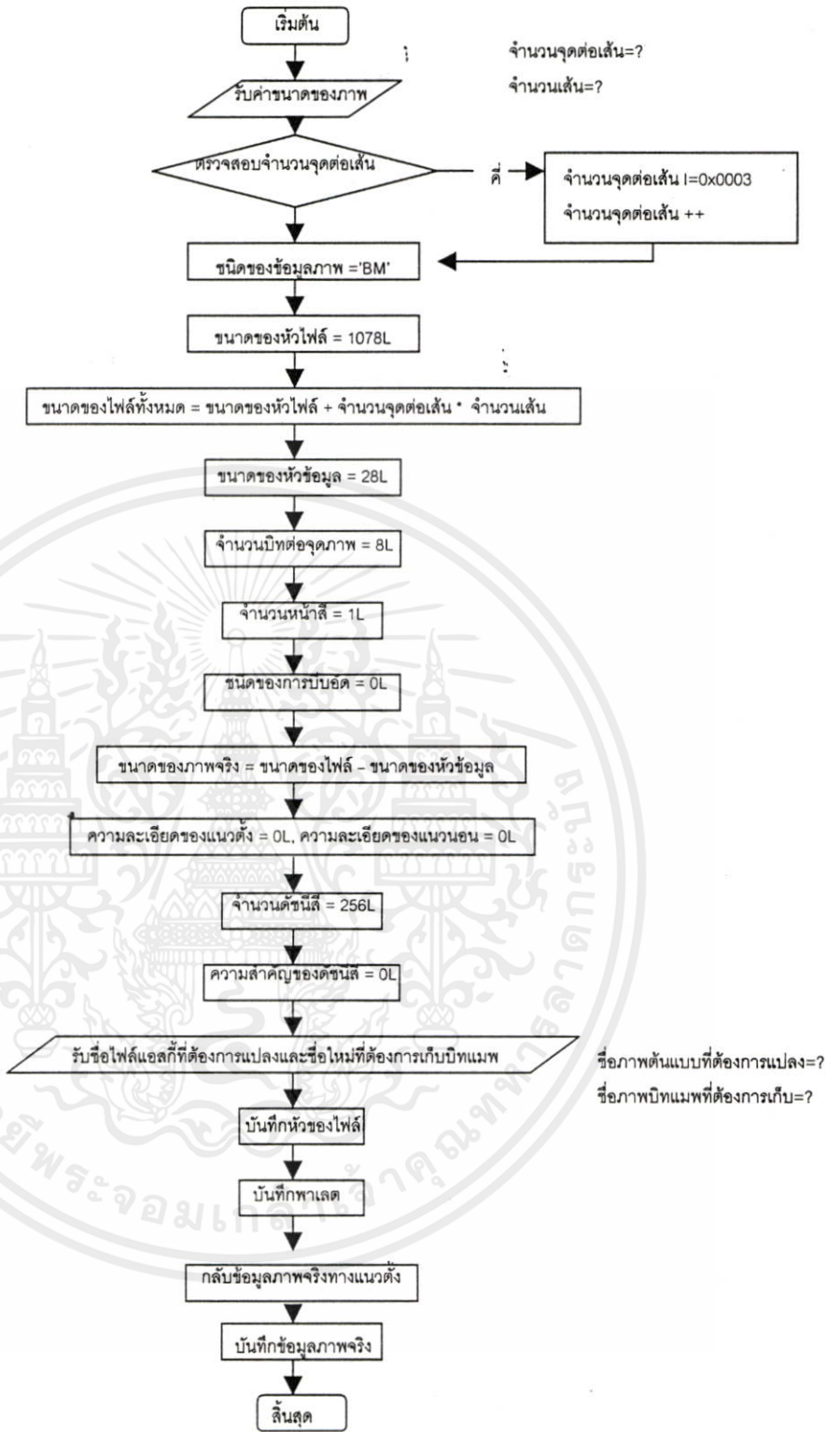
2.6.2 การแปลงรูปแบบข้อมูลภาพ

เพื่อให้สามารถติดต่อสื่อสารกับโปรแกรมประยุกต์อื่น ๆ ได้นั้นจำเป็นต้องมีการแปลงภาพถ่ายแอสกี 8 บิต ให้เป็นภาพแบบบิตแมพที่มีหัวไฟล์เพิ่มเติมเข้ามาเพื่อบอกรายละเอียดต่าง ๆ ที่ให้ความสะดวกแก่การใช้งาน และในการแปลงกลับภาพแบบบิตแมพให้กลับมาเป็นให้กลับมาเป็นภาพถ่ายแอสกี 8 บิต

2.6.3 การแปลงภาพแอสกีเป็นรูปแบบบิตแมพ

ภาพถ่ายที่ต้องการแปลงเป็นภาพสีเทาหรือสีแอสกีขนาด 8 บิตต่อหนึ่งจุดภาพ เป็นข้อมูลภาพทั้งหมดโดยไม่มีเฮดเดอร์ ในการแปลงจะใส่เฮดเดอร์ให้โดยจะรับขนาดจุดภาพต่อหนึ่งเส้น (ขนาดทางแกน x) จำนวนเส้นของภาพ (ขนาดทางแกน y) และรับชื่อไฟล์ที่ต้องการแปลง โดยมีลำดับอัลกอริทึมในการทำงานของโปรแกรมดังนี้

เอกสารนี้เป็นเอกสารที่สงวนไว้สำหรับการใช้งานเพื่อการศึกษาเท่านั้น ไม่อนุญาตให้นำไปใช้ประโยชน์ด้านการค้า ไม่ว่ากรณีใดๆทั้งสิ้น อีกทั้งห้ามมิให้คัดแปลงเนื้อหา และต้องอ้างอิงถึงเจ้าของเอกสารทุกครั้งที่มีการนำไปใช้

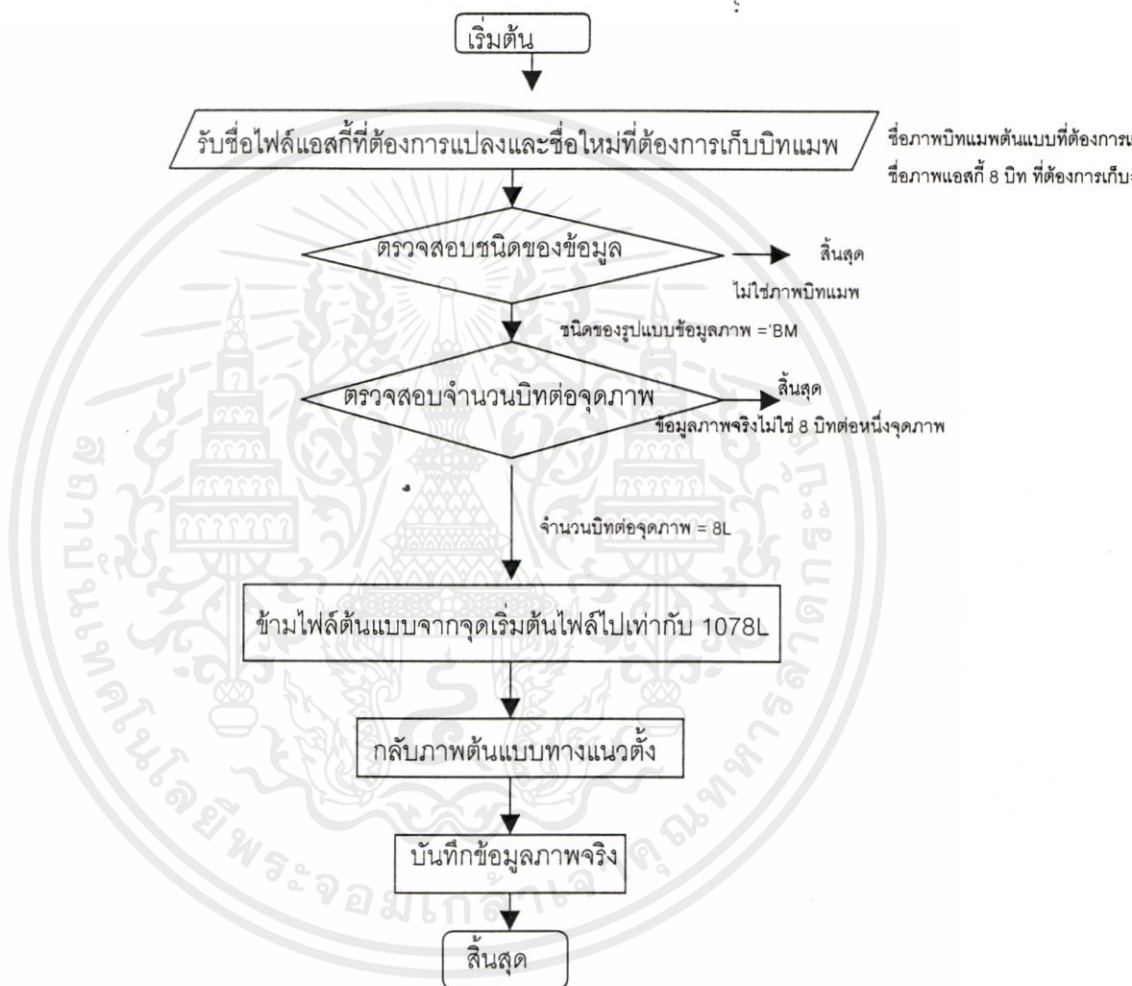


ภาพที่ 2.12 แผนผังขั้นตอนการแปลงข้อมูลภาพแอสกี 8 บิตเป็นรูปบิตแมพ

เอกสารนี้เป็นเอกสารที่สงวนไว้สำหรับการใช้งานเพื่อการศึกษาเท่านั้น ไม่อนุญาตให้นำไปใช้ประโยชน์ด้านการค้า ไม่ว่ากรณีใดๆทั้งสิ้น อีกทั้งห้ามมิให้คัดแปลงเนื้อหา และต้องอ้างอิงถึงเจ้าของเอกสารทุกครั้งที่มีการนำไปใช้

2.6.4 การแปลงภาพในรูปแบบบิตแมพเป็นภาพแอสกี

ภาพถ่ายที่ต้องการแปลงเป็นภาพสีเทาในรูปแบบบิตแมพขนาด 8 บิตต่อหนึ่งจุดภาพเป็นข้อมูลที่มีเฮกเตอร์ ในการแปลงจะปลดเฮกเตอร์ออกโดยจะรับไฟล์ที่ต้องการแปลงเท่านั้น สำหรับขนาดจุดภาพต่อหนึ่งเส้น (ขนาดทางแกน x) จำนวนเส้นของภาพ (ขนาดทางแกน y) โปรแกรมจะอ่านออกมาจากเฮกเตอร์ ลำดับอัลกอริทึมในการทำงานของโปรแกรกดังนี้



ภาพที่ 2.13 แผนผังขั้นตอนการแปลงภาพในรูปแบบบิตแมพเป็นข้อมูลภาพแอสกี 8 บิต

เอกสารนี้เป็นเอกสารที่สงวนไว้สำหรับการใช้งานเพื่อการศึกษาเท่านั้น ไม่อนุญาตให้นำไปใช้ประโยชน์ด้านการค้า ไม่ว่าจะกรณีใดๆทั้งสิ้น อีกทั้งห้ามมิให้คัดแปลงเนื้อหา และต้องอ้างอิงถึงเจ้าของเอกสารทุกครั้งที่มีการนำไปใช้

บทที่ 3

การกรองมัธยฐาน

การกรองมัธยฐาน (Median filter) จัดเป็นประเภทตัวกรองแบบไม่เป็นเชิงเส้น (Nonlinear filter) โดยอยู่บนพื้นฐานของการจัดอันดับทางสถิติ (Based on order statistics) ในต้นทศวรรษ 1970 Tukey [1] ได้นำเสนอการกรองมัธยฐานเป็นครั้งแรก ข้อดีของการกรองมัธยฐานคือสามารถกำจัดสัญญาณรบกวนแบบอิมพัลส์ได้ดี และมีคุณสมบัติในการรักษาขอบภาพได้ดีด้วย เปรียบเทียบกับการกรองแบบเชิงเส้น (Linear filter) ประเภท Linear averaging การกรองมัธยฐานมีข้อดีคือใช้ในการคำนวณได้ง่ายและสามารถปรับเปลี่ยนหรือประยุกต์ไปใช้ในงานอื่น ๆ ได้มากมาย เช่น การประมวลผลทางภาพ [3,4], digital image analysis [5,6], digital TV application [7,8], การประมวลผลทางเสียงและเข้ารหัส [9,10]

3.1 ความหมายของการกรองมัธยฐาน

การกรองมัธยฐาน หมายถึง การหาข้อมูลของสมาชิก ณ จุดกึ่งกลาง อธิบายได้ตามสมการที่ 3.1

โดยกำหนดให้ n คือจำนวนตัวอย่างที่จะหาค่ามัธยฐาน x_i คือข้อมูลที่ตำแหน่งต่าง ๆ เมื่อ $i = 1, 2, 3, \dots, n$ จะได้ว่า

$$\text{med}(x_i) = \begin{cases} x_{(v+1)} & , n = 2v + 1 \\ \frac{1}{2}(x_{(v)} + x_{(v+1)}) & , n = 2v \end{cases} \quad (3.1)$$

โดยที่ x_i คือข้อมูลที่มีการจัดอันดับทางสถิติแล้ว สมการ 3.1 จะมีความเหมาะสมกับขนาดของ n ที่เป็นเลขคี่อย่างมาก

ในการกรองมัธยฐานแบบ 1 มิติ อธิบายได้ตามสมการที่ 3.2 ค่า $n = 2v + 1$ คือขนาดของ filter window ที่จะใช้นั่นเอง

เอกสารนี้เป็นเอกสารที่สงวน $y_i = \text{med}(x_{i-v}, \dots, x_i, \dots, x_{i+v})$ เท่านั้น ไม่อนุญาตให้ $i \in Z$ ไปใช้ประ (3.2) ด้านการค้า

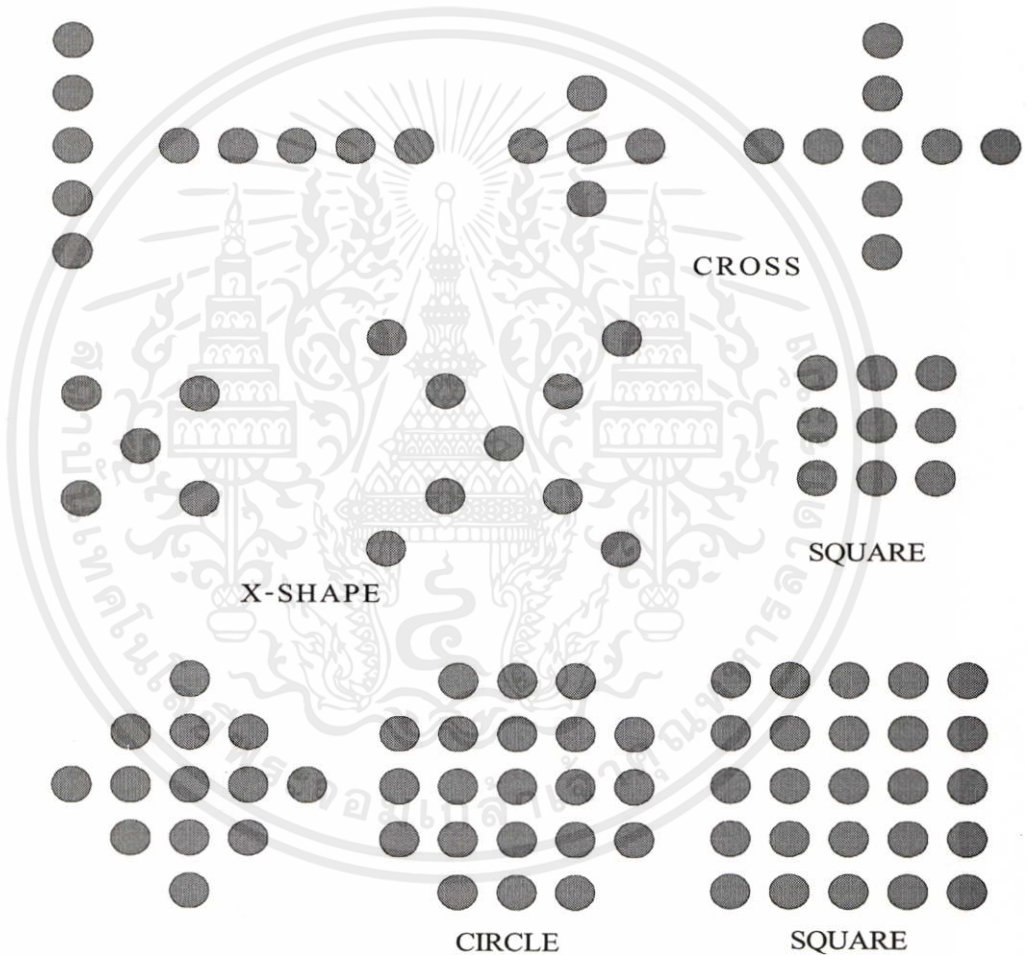
ไม่ว่ากรณีใดๆทั้งสิ้น อีกทั้งห้ามมิให้คัดแปลงเนื้อหา และต้องอ้างอิงถึงเจ้าของเอกสารทุกครั้งที่มีการนำไปใช้ x_i คืออินพุต

Z คือ เลขจำนวนเต็ม

สำหรับสมการการกรองมัธยฐาน 2 มิติ อธิบายได้ตามสมการที่ 3.3

$$y_{ij} = \text{med}(x_{i+r, j+s} ; (r, s) \in A) \quad i, j \in Z^2 \quad (3.3)$$

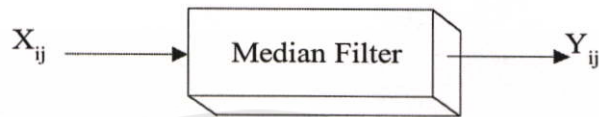
เมื่อ $A \in Z^2$ เป็นการกำหนดหน้าต่างต่าง (filter window) โดยมีพิกเซลกึ่งกลางที่ตำแหน่ง (i, j) รูปแบบของขนาดหน้าต่างที่นิยมใช้สำหรับการกรองมัธยฐานแสดงในภาพที่ 3.1



ภาพที่ 3.1 รูปแบบหน้าต่าง (Filter windows) แบบต่างๆ สำหรับการกรองมัธยฐาน (Median filter)

รูปแบบหน้าต่างข้างต้นจะประกอบด้วยพิกเซลที่อยู่รอบจุดศูนย์กลางคือจุดกึ่งกลางและพิกเซลในตำแหน่งกึ่งกลาง (central pixel) เอกสารนี้เป็นเอกสารที่สงวนไว้สำหรับการใช้งานเพื่อการศึกษาเท่านั้น ไม่อนุญาตให้นำไปใช้ประโยชน์อื่นใด ไม่ว่าจะเป็นการค้า หรือการเผยแพร่โดยไม่ได้รับอนุญาต หากมีข้อผิดพลาดประการใดขออภัยเป็นอย่างสูง และต้องอ้างอิงถึงเจ้าของเอกสารทุกครั้งที่มีการนำไปใช้

รูปแบบหน้าต่างต่างข้างต้นจะเป็นทั้งแบบ 1 และ 2 มิติ ซึ่งได้ถูกดัดแปลงไปใช้ในงานประเภทต่าง ๆ กันขึ้นอยู่กับความเหมาะสม นอกจากรูปแบบที่ยกขึ้นมาแล้วยังอาจมีรูปแบบอื่น ๆ อีกมากมายที่ได้มีนักวิจัยท่านอื่น ๆ ได้คิดค้นขึ้น การกรองมัลฐานสามารถแสดงเป็นภาพเพื่อความเข้าใจที่ดีขึ้น (ตามภาพที่ 3.2)



ภาพที่ 3.2 การกรองมัลฐาน

3.1.1 การกรองมัลฐานแบบหน้าต่างคงที่

การหาค่ามัลฐานทำได้โดยการนำข้อมูลทั้งหมดในหน้าต่างรูปแบบที่เราเลือกใช้มาทำการเรียงค่าใหม่ ตามอันดับทางสถิติจากต่ำไปหาสูงหรือจากสูงมาหาต่ำก็ได้ เราจะพบว่าข้อมูลได้ถูกแบ่งเป็น 3 กลุ่ม คือ สมาชิกจำนวนครึ่งหนึ่งมีค่าต่ำกว่าค่าที่จุดกึ่งกลาง สมาชิกในตำแหน่งกึ่งกลาง และสมาชิกอีกครั้งหนึ่งในที่มีค่าสูงกว่าค่าที่จุดกึ่งกลาง ค่ามัลฐาน ก็คือการหาค่าข้อมูลของสมาชิก ณ จุดกึ่งกลาง (ภาพที่ 3.3 และ 3.4)

$X_{i-n,j-n}$				$X_{i+n,j-n}$
	↙	↑	↘	
	←	$X_{i,j}$	→	
	↙	↓	↘	
$X_{i-n,j+n}$				$X_{i+n,j+n}$

ภาพที่ 3.3 หน้าต่างขนาด $N \times N$ บนภาพ $X_{i,j}$ ที่จุด i,j

เอกสารนี้เป็นเอกสารที่สงวนไว้สำหรับการใช้งานเพื่อการศึกษาเท่านั้น ไม่อนุญาตให้นำไปใช้ประโยชน์ด้านการค้าไม่ว่ากรณีใดๆทั้งสิ้น อีกทั้งห้ามมิให้ดัดแปลงเนื้อหา และต้องอ้างอิงถึงเจ้าของเอกสารทุกครั้งที่มีการนำไปใช้

ให้ $W_{i,j}$ เป็นเซตของจุดภาพในหน้าต่างขนาด $N \times N$ (โดยที่ $N = 2n + 1$) ที่จุด $X_{i,j}$ สามารถแสดงได้ตามสมการ

$$W_{i,j} = \{X_{i-n,j-n}, \dots, X_{i-n,j-n+1}, \dots, X_{i,j}, \dots, X_{i+n,j+n}\} \quad (3.4)$$

นำมาจัดลำดับทางขนาดหรืออันดับทางสถิติ $W_{i,j}^{i,j}$ ของเซตข้อมูล $W_{i,j}$ ตามเงื่อนไขได้ตามสมการที่ 3.5

$$W_1^{i,j} \leq W_2^{i,j} \leq \dots \leq W_{N \times N}^{i,j} \quad (3.5)$$

โดยที่ K คือ $1, 2, \dots, N \times N$ เราจะได้ว่า $W_1^{i,j}$ คือค่าอันดับทางสถิติต่ำสุด $W_{(N \times N + 1)/2}^{i,j}$ คือค่าอันดับทางสถิติกลาง $W_{N \times N}^{i,j}$ คือค่าอันดับสถิติสูงสุด ค่ามัธยฐานคือค่าอันดับทางสถิติกลางหรือสามารถกำหนดเป็นสมการที่ 3.6 และ 3.7 ตามลำดับ

$$Y_{i,j} = \text{med}[W_{i,j}] \quad (3.6)$$

$$= W_{(N \times N + 1)/2}^{i,j} \quad (3.7)$$

3.1.2 การกรองค่าเฉลี่ย (Average Filter)

การกรองค่าเฉลี่ยเป็นการประมวลผลสัญญาณเชิงเส้น (Linear Signal Processing) มีคุณสมบัติเป็นตัวกรองความถี่ต่ำ (Lowpass filter) ทำให้ภาพมีความราบเรียบขึ้น น้ำหนักของภาพจะใกล้เคียงกัน โดยใช้ค่าเฉลี่ยในการประมาณค่าของข้อมูลภาพใหม่ $\hat{S}_{i,j}$ จากข้อมูลภาพในหน้าต่าง $N \times N$ บนภาพ $Y_{i,j}$ ที่จุด i, j โดยมีลักษณะทิศทางการวิ่งของหน้าต่างเหมือนกับรูปการกรองมัธยฐาน สมการของการกรองค่าเฉลี่ยเขียนได้ตามสมการที่ 3.8

$$\hat{S}_{i,j} = \frac{1}{N \times N} \sum_{k=-n}^n \sum_{l=-n}^n Y_{i-k,j-l} \quad (3.8)$$

เมื่อ $N = 2n + 1$

ผลของการกำจัดสัญญาณรบกวนแบบอิมพัลส์โดยใช้การกรองค่าเฉลี่ยถูกแสดงในภาพที่เอกสารนี้ 3.5 เอกสารที่สงวนไว้สำหรับการใช้งานเพื่อการศึกษาเท่านั้น ไม่อนุญาตให้นำไปใช้ประโยชน์ด้านการค้า ไม่ว่ากรณีใดๆทั้งสิ้น อีกทั้งห้ามมิให้คัดแปลงเนื้อหา และต้องอ้างอิงถึงเจ้าของเอกสารทุกครั้งที่มีการนำไปใช้



(ก)



(ข)



(ค)



(ง)

ภาพที่ 3.4 ภาพผลลัพธ์จากภาพ Lena ขนาด 256x256 ต้นแบบ (ก)

ภาพ Lena ที่ถูกรบกวนโดยสัญญาณรบกวนแบบ salt and pepper noise (impulse) 5% (ข)

การกรองมัธยฐานแบบหน้าต่างคงที่ขนาด 3x3 (ค)

การกรองมัธยฐานแบบหน้าต่างคงที่ขนาด 5x5 (ง)

เอกสารนี้เป็นเอกสารที่สงวนไว้สำหรับกรใช้งานเพื่อการศึกษาเท่านั้น ไม่อนุญาตให้นำไปใช้ประโยชน์ด้านการค้า
ไม่ว่ากรณีใดๆทั้งสิ้น อีกทั้งห้ามมิให้คัดแปลงเนื้อหา และต้องอ้างอิงถึงเจ้าของเอกสารทุกครั้งที่มีการนำไปใช้



(ก)



(ข)



(ค)



(ง)

ภาพที่ 3.5 ภาพ Lena ที่มีสัญญาณรบกวนแบบ salt and pepper noise (impulse) 5% (ก)

การกรองค่าเฉลี่ยแบบหน้าต่างคงที่ขนาด 3x3 (ข)

กรองค่าเฉลี่ยแบบหน้าต่างคงที่ขนาด 5x5 (ค)

กรองค่าเฉลี่ยแบบหน้าต่างคงที่ขนาด 7x7 (ง)

เอกสารนี้เป็นเอกสารที่สงวนไว้สำหรับกร ใช้งานเพื่อการศึกษาเท่านั้น ไม่อนุญาตให้นำไปใช้ประโยชน์ด้านการค้า
ไม่ว่ากรณีใดๆทั้งสิ้น อีกทั้งห้ามมิให้คัดแปลงเนื้อหา และต้องอ้างอิงถึงเจ้าของเอกสารทุกครั้งที่มีการนำไปใช้

3.2 ความรู้ทั่วไปในการปรับปรุงภาพ

3.2.1 การทำคอนโวลูชันในสเปซเชิงโดเมน

การทำคอนโวลูชันเป็นการทำงานในรูปแบบที่เรียกว่า neighborhood operation ซึ่งเป็นการทำงานที่ต้องใช้จุดข้างเคียงมาพิจารณาในการคำนวณ การทำ neighborhood operation นั้นผลลัพธ์ที่ได้ค่าออกมา ณ ตำแหน่งเดียวกันกับอินพุตและใช้จุดข้างเคียงที่อยู่รอบ ๆ ซึ่งการทำคอนโวลูชันเป็นการคำนวณผลรวมของผลคูณ (sum of product) แสดงหน้ากากของคอนโวลูชัน (convolution mask) ตามภาพที่ 3.6 และจุดข้างเคียงจากภาพตามภาพที่ 3.8 สมาชิกแต่ละตัวในหน้ากากเรียกว่าน้ำหนัก (weight) ค่าน้ำหนักในหน้ากากเป็นตัวคำนวณผลของการทำคอนโวลูชัน ซึ่งกำหนดลักษณะการกรองตามการประยุกต์ใช้ในงานต่าง ๆ

$$\begin{array}{ccc} M(-1, -1) & M(0, -1) & M(1, -1) \\ M(-1, 0) & M(0, 0) & M(1, 0) \\ M(-1, 1) & M(0, 1) & M(1, 1) \end{array}$$

ภาพที่ 3.6 หน้ากากของการทำคอนโวลูชันขนาด 3x3

$$\begin{array}{ccccccc} \dots & \dots & \dots & \dots & \dots & \dots & \dots \\ \dots & F(i-1, j-1) & F(i, j-1) & F(i+1, j-1) & \dots & \dots & \dots \\ \dots & F(i-1, j) & F(i, j) & F(i+1, j) & \dots & \dots & \dots \\ \dots & F(i-1, j+1) & F(i, j+1) & F(i+1, j+1) & \dots & \dots & \dots \\ \dots & \dots & \dots & \dots & \dots & \dots & \dots \end{array}$$

ภาพที่ 3.7 จุดข้างเคียง (neighborhood) ต่าง ๆ ในบริเวณเมตริกซ์ขนาด 3x3 ของภาพต้นแบบ

ตัวชี้ในหน้ากากมีจุดเริ่มต้นที่จุดศูนย์กลาง โดยเริ่มที่ตำแหน่งมุมบนด้านซ้ายของภาพ สามารถเขียนสมการคอนโวลูชันตามสมการที่ 3.9

เอกสารนี้เป็นเอกสารที่สงวนไว้สำหรับการใช้งานเพื่อการศึกษาเท่านั้น ไม่อนุญาตให้นำไปใช้ประโยชน์ด้านการค้า ไม่ว่ากรณีใดๆทั้งสิ้น อีกทั้งห้ามมิให้ดัดแปลงเนื้อหา และต้องอ้างอิงถึงเจ้าของเอกสารทุกครั้งที่มีการนำไปใช้

$$C(i, j) = \sum_{k=-1}^{+1} \sum_{l=-1}^{+1} F(k, l) M(i-k, j-l) \quad (3.9)$$

แต่ละจุดภาพจะเป็นการวนเอามาจากจุดรอบข้างและคูณด้วยค่าที่ตรงตำแหน่งเดียวกันกับหน้าภาพ นำผลคูณของแต่ละตัวนั้นมารวมกันจะได้ค่าจุดภาพผลลัพธ์ ซึ่งการคำนวณที่ทำนั้นสามารถกระจายแสดงออกมาได้ตาม 3.10

$$C(i, j) = F(i-1, j-1)M(1,1) + F(i, j-1)M(0,1) + F(i+1, j-1)M(-1,1) + \\ F(i-1, j)M(1,0) + F(i, j)M(0,0) + F(i+1, j)M(-1,0) + \\ F(i-1, j+1)M(1,-1) + F(i, j+1)M(0,-1) + F(i+1, j+1)M(-1,-1) \quad (3.10)$$

จากสมการที่ 3.10 แสดงการจัดเรียงเทอมต่าง ๆ โดยลำดับหน้าภาพมีลำดับจากบนซ้ายไปยังด้านล่างขวา สำหรับค่าตำแหน่งที่ตรงกันในหน้าภาพจะมีลำดับตรงข้ามคือเริ่มจากด้านล่างขวาขึ้นไปยังด้านบนซ้าย สำหรับสิ่งที่น่าสนใจของการตรงกันข้ามของลำดับนี้ก็คือว่าถ้าหมุนหน้าภาพ 180° ลำดับของเทอมภาพกับเอมหน้าภาพจะมีลำดับในทิศทางเดียวกัน โดยได้การกระจายตาม 3.11

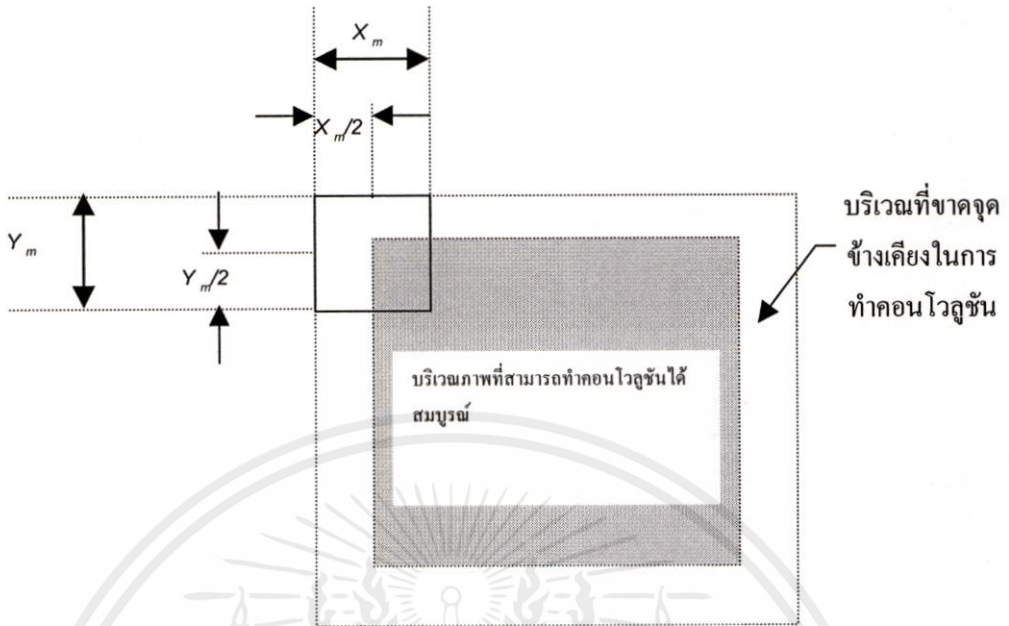
$$C(i, j) = F(i-1, j-1)M(-1,-1) + F(i, j-1)M(0,-1) + F(i+1, j-1)M(1,-1) + \\ F(i-1, j)M(-1,0) + F(i, j)M(0,0) + F(i+1, j)M(1,0) + \\ F(i-1, j+1)M(-1,-1) + F(i, j+1)M(0,1) + F(i+1, j+1)M(1,1) \quad (3.11)$$

ในการประยุกต์ใช้งานบางอย่างนิยมใช้การหมุนหน้าภาพ 180° นี้เพื่อให้ง่ายต่อการกำหนดตัวชี้ให้ภาพและหน้าภาพมีตัวชี้ที่เหมือนกัน ในการประยุกต์บางอย่างจะมีการจัดเรียงสมาชิกของหน้าภาพอย่างอัตโนมัติ โดยมีตำแหน่งของหน้าภาพและภาพที่สอดคล้องกัน อีกทั้งหน้าภาพก็ไม่จำเป็นที่จะต้องมีจำนวนแนวตั้งเท่ากับจำนวนแนวนอนเสมอไปด้วย แต่โดยส่วนใหญ่แล้วหน้าภาพมักจะสมมาตรกัน (symmetric) และโดยทั่วไปความกว้างและความสูงจะเป็นจำนวนคู่เพื่อให้จุดศูนย์กลางของหน้าภาพเป็นจุดศูนย์กลางได้

3.2.2 การขาดจุดข้างเคียงในบริเวณของการทำคอนโวลูชันในบริเวณกรอบภาพ

ในขบวนการคำนวณแบบ neighborhood operation นี้เป็นไปได้ที่จะทำคอนโวลูชันในบริเวณขอบรอบนอกของภาพ (บริเวณกรอบภาพ) เพราะในการคำนวณขาดจุดภาพที่อยู่ภายนอกอาณาบริเวณของภาพ (ภาพที่ 3.8)

เอกสารนี้เป็นเอกสารที่สงวนไว้สำหรับการใช้งานเพื่อการศึกษาเท่านั้น ไม่อนุญาตให้นำไปใช้ประโยชน์ด้านการค้าไม่ว่ากรณีใดๆทั้งสิ้น อีกทั้งห้ามมิให้คัดแปลงเนื้อหา และต้องอ้างอิงถึงเจ้าของเอกสารทุกครั้งที่มีการนำไปใช้



ภาพที่ 3.8 การขาดจุดข้างเคียงในบริเวณของการทำคอนโวลูชันในบริเวณกรอบภาพ

โดยทั่วไปแล้ววิธีการที่จะแก้ปัญหาเหล่านี้ได้ก็มักใช้วิธีการกำหนดแถบจุดภาพในบริเวณกรอบของภาพทั้ง 4 ด้าน ให้เป็นค่าเดิมหรือเป็นศูนย์แล้วแต่กรณี ความกว้างของแถบบนและด้านล่างของภาพมีค่าเท่ากับ $Y_m/2$ ส่วนด้านซ้ายและขวาเท่ากับ $X_m/2$ เมื่อ X_m คือความกว้างของหน้ากาก และ Y_m คือความสูงของหน้ากากตัวอย่าง เช่น หน้ากากขนาด 3×3 จะมีแถบที่มีความกว้าง 1 จุดภาพ ซึ่งไม่สามารถคำนวณรอบ ๆ ภาพได้

ในการใช้งานจะต้องรู้ว่าจะนำภาพที่ได้ไปทำอะไรต่อไป เพราะอาจจะเป็นไปได้ที่ภาพผลลัพธ์อาจจะมีขนาดเล็กกว่าภาพต้นแบบตามจำนวนโรว์และคอลัมน์ที่ไม่สามารถทำการคำนวณได้ ถ้าเงื่อนไขไม่เป็นเช่นนั้นและต้องการรักษาขนาดของภาพผลลัพธ์ให้เท่ากับภาพต้นแบบก็ใช้การใส่ค่า

เดิมหรือศูนย์แล้วแต่กรณีลงไปในรอบที่ไม่สามารถคำนวณได้ ซึ่งวิธีนี้เป็นที่นิยมกันอย่างมาก เพราะภาพผลลัพธ์สามารถนำไปเปรียบเทียบกับภาพต้นแบบได้โดยตรงและในอนาคตก็สามารถนำไปคำนวณกันต่อไปในขณะที่ยังรักษาแนวของจุดภาพให้ตรงกันอยู่อย่างนั้น

เอกสารนี้เป็นเอกสารที่สงวนไว้สำหรับการใช้งานเพื่อการศึกษาเท่านั้น ไม่อนุญาตให้นำไปใช้ประโยชน์ด้านการค้า
 บางระบบต้องการการคำนวณที่สมบูรณ์แบบอย่างแท้จริง โดยการใช้อินพุตในบริเวณอื่น ๆ
 ไม่ว่าจะกรณีใดก็ตาม นอกเหนือจากนี้แล้ว และต้องอ้างอิงถึงเจ้าของเอกสารทุกครั้งที่มีการนำไปใช้
 มาใช้แทนบริเวณโวลและคอลัมน์ของจุดภาพที่อยู่เลยออกไปจากภาพต้นแบบ วิธีการหนึ่งนั้นทำได้
 โดยการใช้อินพุตของทางด้านล่างของภาพมาใช้เป็นข้อมูลที่ต้องการของการคำนวณทางด้านบนและ

ในการทำงานเดียวกัน โดยการใช้วิธีของทางด้านบนของภาพมาใช้เป็นข้อมูลที่ต้องการของการคำนวณทางด้านล่าง ในลักษณะที่คล้ายกันของคอลัมน์ทางด้านขวาของภาพก็นำมาใช้เป็นข้อมูลที่ต้องการของการคำนวณทางด้านซ้ายเสร็จสมบูรณ์และคอลัมน์ทางด้านซ้ายของภาพก็นำมาใช้เป็นข้อมูลที่ต้องการของการคำนวณทางด้านขวาเช่นกัน ถึงแม้ว่าวิธีการเช่นนี้ไม่เป็นการเหมาะสมนักก็ตาม แต่เพื่อให้ผลลัพธ์มีขนาดภาพเท่ากับภาพต้นแบบและในการประยุกต์ใช้งานบางอย่างต้องหลีกเลี่ยงการเกิดการเพี้ยนอย่างรุนแรงของวิธีการคำนวณจากการแทนกรอบที่คำนวณไม่ได้ด้วยศูนย์เช่นในกรณีทำเกรเดียนท์ เป็นต้น

3.2.3 การนอร์มอลไลซ์ (Normalization)

ในบางกรณีที่ต้องการทำการประมวลผลให้ข้อมูลมีความราบเรียบ (smoothing) เพื่อกำจัดสัญญาณรบกวนนั้น คุณสมบัติบางประการของข้อมูลภาพเดิมจำเป็นต้องรักษาเอาไว้ ในที่นี้คือคุณสมบัติเอกพันธ์หรือความเป็นเนื้อเดียวกันของกลุ่มภาพข้างเคียง ถ้าหากพื้นที่ใด ๆ มีความเป็นเนื้อเดียวกันอยู่แล้ว หลังจากการประมวลผลในการทำข้อมูลให้ราบเรียบจะต้องยังคงไว้ซึ่งความเป็นเนื้อเดียวกันเช่นเดิม ดังนั้นหน้าที่ที่ใช้ในการประมวลผลความราบเรียบของข้อมูลจึงจำเป็นต้องมีการนอร์มอลไลซ์ ของค่าที่ใช้นอร์มอลไลซ์ในการนี้คือผลรวมของน้ำหนักแต่ละจุดในหน้ากานั้นเอง

ตัวอย่าง สมมุติค่าน้ำหนักของหน้ากาคอนหนึ่งเป็น $\{1,2,1,2,4,2,1,2,1\}$ (เมื่อการรวมค่าน้ำหนักเราจะได้ $1+2+1+2+4+2+1+2+1 = 16$ ก็ทำการนอร์มอลไลซ์ด้วย 16 ตามสมการที่ 3.12

$$M(i, j) = \frac{1}{16} \begin{bmatrix} 1 & 2 & 1 \\ 2 & 4 & 2 \\ 1 & 2 & 1 \end{bmatrix} \quad (3.12)$$

3.2.4 เวลาที่ใช้

การทำคอนโวลูชันค่อนข้างจะใช้การคำนวณมากครั้ง เช่น ถ้าเป็นหน้ากาคอน 3×3 ในการที่จะได้ผลลัพธ์ 1 จุดภาพจะต้องใช้การคูณ 9 ครั้ง การบวก 9 ครั้ง และหารหารอีก 1 ครั้ง ถ้ามีการทำนอร์มอลไลซ์พิจารณาการทำคอนโวลูชันของหน้ากาคอนที่มีไว้เท่ากับคอลัมน์แล้วจำนวนการบวกจะทำกับจำนวนการคูณ ตารางที่ 3.1 แสดงจำนวนครั้งที่ต้องใช้ในการคำนวณ โดยทดลองใช้หน้ากาคอนขนาดต่าง ๆ โดยใช้ภาพต้นแบบขนาด 512×512 โดยสมมุติให้สามารถทำคอนโวลูชันที่บริเวณกรอบของภาพได้ เช่น ใช้หน้ากาคอนขนาด 3×3 ต้องใช้จำนวนครั้งในการคำนวณเท่ากับ $2,359,296 \times 2 + 262,144 = 4,980,736$ ครั้ง เป็นต้น

ตารางที่ 3.1 การคำนวณจากตารางหน้ากนกจตุรัสขนาดต่าง ๆ กับภาพต้นแบบขนาด 512x512
จุดภาพ

ขนาดหน้าต่าง	จำนวนสมาชิกใน หน้ากนก	จำนวนครั้งในการ บวก และคูณ	จำนวนครั้งใน การหาร	รวมจำนวนครั้ง ทั้งหมด
3	9	2,359,296	262,144	4,980,736
5	25	6,553,600	262,144	13,369,344
7	49	12,845,056	262,144	25,952,256
9	81	21,233,664	262,144	42,729,472
11	121	31,719,424	262,144	63,700,992
15	225	58,982,400	262,144	118,226,944
25	625	163,840,000	262,144	327,942,144

เมื่อขนาดของหน้ากนกใหญ่ขึ้นจะเห็นว่าจำนวนครั้งในการใช้คำนวณจะเพิ่มขึ้นมากอย่างมาก ซึ่งในตารางนี้จะเป็นการคิดจำนวนครั้งในการคำนวณเท่านั้น โดยไม่ได้นับการทำงานที่แฝงอยู่ อื่น ๆ ที่จำเป็นต้องใช้เลย ได้แก่ การแยกจุดภาพที่ถูกต้องจากภาพและหน้ากนก เขียนเก็บข้อมูลของภาพผลลัพธ์รักษาดัชนีตัวชี้และตัวนับและควบคุมการทำงานทั้งหมด ดังนั้นจำนวนครั้งในการทำงานทั้งหมดใน โครงสร้างการประมวลผลจึงใช้เวลามากกว่าที่แสดงมาในตารางข้างต้นมาก ดังนั้นเมื่อต้องมีการทำคอนโวลูชันจึงมักนิยมใช้ขนาดของหน้ากนกที่เล็กที่สุดเท่าที่จะทำได้

เอกสารนี้เป็นเอกสารที่สงวนไว้สำหรับการใช้งานเพื่อการศึกษาเท่านั้น ไม่อนุญาตให้นำไปใช้ประโยชน์ด้านการค้า ไม่ว่ากรณีใดๆทั้งสิ้น อีกทั้งห้ามมิให้คัดแปลงเนื้อหา และต้องอ้างอิงถึงเจ้าของเอกสารทุกครั้งที่มีการนำไปใช้

บทที่ 4

การกรองมัลฐานแบบปรับขนาดอัตโนมัติ

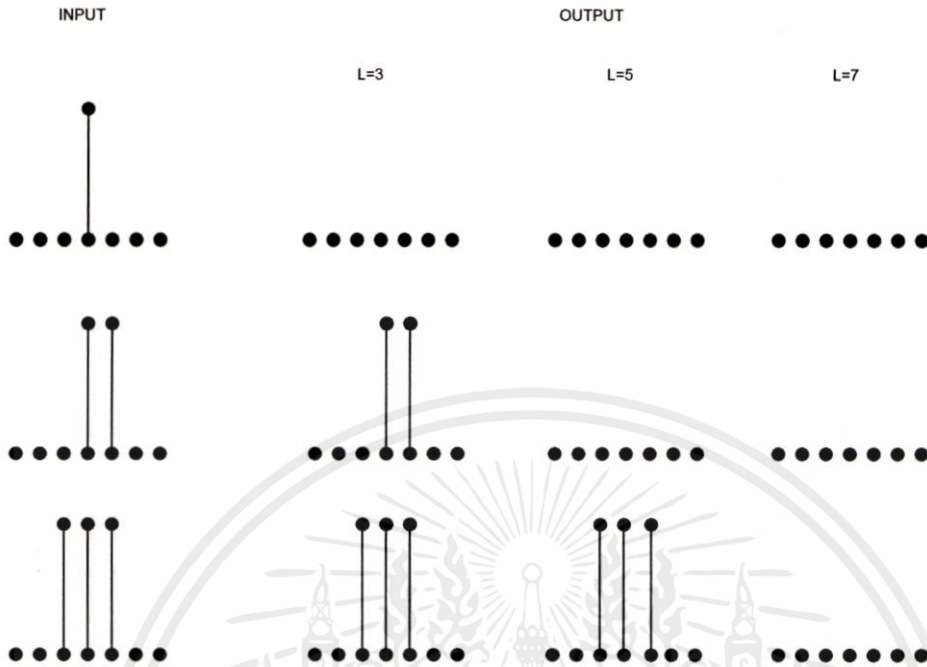
จากพื้นฐานของการกรองมัลฐานนั้น จัดเป็นเทคนิคอย่างหนึ่งของการประมวลผลสัญญาณแบบไม่เป็นเชิงเส้น เราทราบกันคืออยู่แล้วว่า จะสามารถกำจัดสัญญาณรบกวนแบบอิมพัลส์นอยส์ได้ดี แต่ถ้าใช้กับหน้าต่างขนาดใหญ่จะทำให้ภาพผลลัพธ์มีความเบลอสุง ดังดูได้จากภาพตัวอย่างในบทที่ 3 เช่น การกรองมัลฐานแบบ 5×5 หรือ 7×7 แต่ถ้าใช้กับหน้าต่างขนาดเล็ก ก็อาจทำให้กำจัดสัญญาณรบกวนได้ไม่หมดในกรณีมีสัญญาณรบกวนแบบอิมพัลส์เป็นจำนวนมาก บทนี้จะนำเสนอเทคนิคและวิธีการในการประยุกต์ใช้งาน การกรองมัลฐานให้มีประสิทธิภาพมากขึ้น โดยจะเป็นการปรับลดหรือเพิ่มขนาดหน้าต่างของการกรองมัลฐานอัตโนมัติ ขึ้นอยู่กับปริมาณของสัญญาณรบกวนแบบอิมพัลส์ โดยเงื่อนไขการปรับ จะขึ้นอยู่กับความแตกต่างของระดับเทรซโฮลด์ของภาพระดับเทา (Gray scale level image) ที่เรากำหนด

หลักการทำงานของการกรองมัลฐานแบบปรับขนาดหน้าต่างได้อย่างอัตโนมัติ (Adaptive window size median filter)

4.1 แนวความคิดแบบ 1 มิติ

จากคุณสมบัติของการกรองมัลฐานและค่าทางสถิติ เราจะสามารถอธิบายภาพที่ 4.1 ได้ดังนี้ แดวซ่ายสุด (Input signal) จะเป็นภาพที่ประกอบไปด้วยสัญญาณรบกวนที่เข้ามาในบริเวณหน้าต่าง (อิมพัลส์นอยส์ ถูกแสดงโดยจุดที่สูงกว่าจุดอื่น ๆ) ทางฝั่งขวาจะเป็นเอาต์พุตของการกรองมัลฐานที่ขนาดหน้าต่างเริ่มตั้งแต่ความยาวเท่ากับ 3, 5 และ 7 จากทฤษฎีของการกรองมัลฐานเราจะได้ว่า ถ้าอินพุตเป็นสัญญาณรบกวนขนาด 1 พิกเซล ขนาดหน้าต่างทั้ง 3 แบบ ($L=3$, $L=5$ และ $L=7$) จะสามารถกำจัดสัญญาณรบกวนออกไปได้ ถ้าอินพุตเป็นสัญญาณรบกวนขนาด 2 พิกเซล หน้าต่างขนาด $L=3$ จะไม่สามารถกำจัดสัญญาณรบกวนออกไปได้ แต่หน้าต่างขนาด $L=5$ และ $L=7$ กำจัดได้ ถ้าอินพุตเป็นสัญญาณรบกวนขนาด 3 พิกเซล หน้าต่าง $L=7$ จะสามารถกำจัดสัญญาณรบกวนได้ แต่ $L=3$ และ 5 ไม่สามารถกำจัดออกไปได้ ดังนั้นแนวความคิดของวิธีการนี้คือจะต้องจำแนกให้ได้ว่ามีจำนวนอิมพัลส์นอยส์ในหน้าต่างขณะนั้นมีมากหรือน้อยเท่าไร โดยหลัก

เอกสารนี้เป็นการทางอัลกอริทึมที่จะอธิบายดังต่อไปนี้ การศึกษาเท่านั้น ไม่อนุญาตให้นำไปใช้ประโยชน์ด้านการค้า ไม่ว่ากรณีใดๆทั้งสิ้น อีกทั้งห้ามมิให้คัดแปลงเนื้อหา และต้องอ้างอิงถึงเจ้าของเอกสารทุกครั้งที่มีการนำไปใช้



ภาพที่ 4.1 อิมพัลส์รีสponse และความสามารถในการกำจัดนอยส์ของขนาดหน้าต่าง (Filter windows) ที่ต่างกัน

กำหนดความยาวหน้าต่างกว้างที่สุด $L=7$
กำหนดตำแหน่งจุดภาพในหน้าต่างดังนี้

$$x(n-3), x(n-2), x(n-1), x(n), x(n+1), x(n+2), x(n+3) \quad (4.1)$$

$$\text{ให้ } P_j = x(n+j-1) - x(n+j) \quad \text{เมื่อ } j = 1, 2, 3$$

$$\text{และ } P_j = x(n+j+1) - x(n+j) \quad \text{เมื่อ } j = -1, -2, -3 \quad (4.2)$$

เราสามารถเลือกขนาดของหน้าต่างที่จะใช้ได้ดังต่อไปนี้

ถ้า $(P_2 > T_3 \text{ และ } P_{-2} > T_3)$ หรือ $(P_1 > T_3 \text{ และ } P_{-3} > T_3)$ หรือ

$(P_3 > T_3 \text{ และ } P_{-1} > T_3)$ จะเลือกใช้หน้าต่างขนาด $L=7$

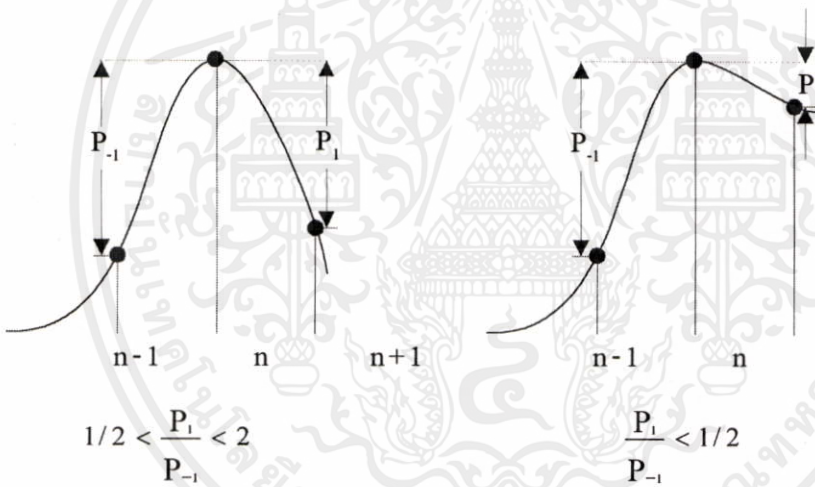
ถ้า $(P_1 > T_2 \text{ และ } P_{-2} > T_2)$ หรือ $(P_2 > T_2 \text{ และ } P_{-1} > T_2)$ จะเลือกใช้หน้าต่างขนาด $L=5$

ถ้า $(P_1 > T_1 \text{ และ } P_{-1} > T_1)$ จะเลือกใช้หน้าต่างขนาด $L=3$ (4.3)

ถ้าไม่ตรงกับทั้ง 3 เงื่อนไขข้างบนจะเลือก $L=1$ หรือค่าเดิมของจุดกึ่งกลางที่กำลังประมวลผล

ค่าเทรซโฮลต์ T_1, T_2, T_3 ที่ได้จากการทดลองซ้ำ ๆ หลาย ๆ ครั้ง จะอยู่ในช่วง 16 ถึง 48 (สำหรับระบบภาพแบบ 8 บิต/1 จุดภาพ) ซึ่งจะให้ผลลัพธ์ที่ไม่ค่อยแตกต่างกัน โดยที่ภาพผลลัพธ์ยังคงมีคุณภาพดีกว่าการกรองมัลฐานแบบปกติ

สำหรับการแจกแจงของอิมพัลส์นอยส์แบบสม่ำเสมอหรือการแจกแจงลอการิทึมแบบปกติ (Lognormal-distribution) อาจจะมีสัญญาณรบกวนแบบค่าต่ำ ๆ (Low-amplitude noise) อยู่บ้างเล็กน้อย เราจะเพิ่มเงื่อนไขเข้าไปอีก 1 ประการ เพื่อให้การกรองสัญญาณมีความสมบูรณ์มากยิ่งขึ้น เราคือใช้การตรวจสอบจับอิมพัลส์นอยส์แบบแอมพลิจุดต่ำ อธิบายได้ตามภาพที่ 4.2



ภาพที่ 4.2 อัตราส่วนของการตรวจสอบจับอิมพัลส์นอยส์แบบแอมพลิจุดต่ำ

สำหรับ $P_1 < T_1$ หรือ $P_{-1} < T_1$

ถ้า $\frac{1}{2} < \frac{P_1}{P_{-1}} < 2$ เลือก $L=3$

ช่วงของค่า $\frac{P_1}{P_{-1}}$ ที่เราจะใช้ในการตรวจสอบจับอิมพัลส์นอยส์แบบแอมพลิจุดต่ำถูกแสดงในภาพที่ 4.2 และเพื่อให้ง่ายต่อการนำไปประยุกต์ในการออกแบบวงจรรวมขนาดใหญ่ (VLSI: Very Large Scale Integrated Circuit) สามารถดูภาพผลลัพธ์ได้จากรูปที่ 4.3



(ก)



(ข)



(ค)



(ง)

ภาพที่ 4.3 ภาพ Lena ที่มีอิมพัลส์แบบบวก 5% (ก)

ภาพที่ผ่านการกรองมัลฐานด้วยหน้าต่าง 1 มิติขนาด $L=3$ (ข)

ภาพที่ผ่านการกรองมัลฐานด้วยหน้าต่าง 1 มิติ $L=5$ (ค)

ภาพที่การกรองมัลฐานแบบปรับขนาดหน้าต่างได้แบบ 1 มิติ(ง)

ในกรณีที่สัญญาณรบกวนอิมพัลส์เป็นแบบลบ (Pepper noise or black dot) อัลกอริทึมดังกล่าวยังสามารถใช้ได้เพียงแค่เปลี่ยนเครื่องหมายของ P_j เป็นตรงกันข้ามแล้วดำเนินการตามขั้นตอนเหมือนกัน

การกรองมัธยฐานแบบปรับขนาดหน้าต่างอัตโนมัติในรูป 1 มิติจะให้ผลลัพธ์ไม่ดีถ้าภาพนั้นมีสัญญาณรบกวนแบบอิมพัลส์ทั้ง 2 ชนิด คือทั้งบวกและลบหรือมีปริมาณสัญญาณรบกวนที่มาก เพราะว่าจะมีการผิดเพี้ยนของสัญญาณสูง อันเนื่องมาจากขนาดหน้าต่างที่เล็กเกินไป และการล้อมรอบของสมาชิกในฟิลเตอร์วินโดว์ ต่อพิกเซลที่จุดกึ่งกลางไม่เหมาะสม เนื่องจากสัญญาณภาพมีลักษณะเป็น 2 มิติ เพราะฉะนั้นการกรองมัธยฐานแบบ 2 มิติจึงมีความเหมาะสมมากกว่าในการเพิ่มความคมชัดและลดการผิดเพี้ยนของสัญญาณภาพ

4.2 การกรองมัธยฐานแบบปรับขนาดหน้าต่างอัตโนมัติ 2 มิติ

การกรองมัธยฐานแบบปรับขนาดหน้าต่างอัตโนมัติ 2 มิตินั้น แบ่งการทำงานออกเป็น 2 ส่วน สำหรับการกำจัดสัญญาณรบกวนอิมพัลส์แบบจุดขาว (Salt noise or white impulse) และการกำจัดสัญญาณรบกวนอิมพัลส์แบบจุดดำ (pepper noise or black impulse) โดยเราจะเลือกแบบของตารางหน้าต่างเป็นแบบกากบาท ขนาด 5×5 (ภาพที่ 4.4)

		$y(n-2)$		
		$y(n-1)$		
$x(n-2)$	$x(n-1)$	$x(n)$	$x(n+1)$	$x(n+2)$
		$y(n)$		
		$y(n+1)$		
		$y(n+2)$		

ภาพที่ 4.4 การกรองมัธยฐานแบบปรับขนาดหน้าต่างอัตโนมัติ 2 มิติ

4.2.1 การกรองมัธยฐานแบบปรับขนาดได้อย่างอัตโนมัติที่ใช้กับ salt noise:

ตารางหน้าต่างเป็นแบบกากบาท

ขนาดสูงสุดของความยาวตารางหน้าต่างเท่ากับ 5×5

จุดในตารางหน้าต่างในทิศทางแนวนอน กำหนดโดย

$$x(n-2), x(n-1), x(n), x(n+1), x(n+2) \quad (4.4)$$

จุดในตารางหน้าต่างในทิศทางแนวตั้ง กำหนดโดย

$$y(n-2), y(n-1), y(n), y(n+1), y(n+2) \quad (4.5)$$

โดยที่ $x(n) = y(n)$ เท่ากับจุดกึ่งกลางของตารางหน้าต่าง

เรากำหนด เซ้ทของ P และ Q เป็นผลต่างของค่าระดับสี่เทาของจุดภาพ ณ ตำแหน่งต่างๆ ในตารางหน้าต่าง เพื่อเป็นการตรวจสอบความกว้างของสัญญาณรบกวนที่อยู่ในตารางหน้าต่าง และนำค่าเหล่านี้ไปใช้ในขบวนการตัดสินใจเพื่อเลือกขนาดของตารางหน้าต่าง

$$\begin{aligned}
 P_j &= x(n+j-1) - x(n+j) && \text{เมื่อ } j = 1, 2 ; \\
 P_j &= x(n+j+1) - x(n+j) && \text{เมื่อ } j = -1, -2 ; \\
 Q_j &= y(n+j-1) - y(n+j) && \text{เมื่อ } j = 1, 2 ; \\
 Q_j &= y(n+j+1) - y(n+j) && \text{เมื่อ } j = -1, -2 ;
 \end{aligned}
 \tag{4.6}$$

กำหนดให้ L_h, L_v คือ ขนาดหน้าต่างในแนวนอนและแนวตั้งตามลำดับการพิจารณาเลือกขนาดของ L_h และ L_v ทำได้ดังนี้

I. การตรวจสอบทางแนวนอน :

ถ้า $(P_2 > T_2 \text{ และ } P_{-2} > T_2)$ หรือ $(P_1 > T_2 \text{ และ } P_{-2} > T_2)$ หรือ $(P_2 > T_2 \text{ และ } P_{-1} > T_2)$

เลือก $L_h = 5$ แล้วไปตรวจสอบทางแนวตั้ง

ถ้า $(P_1 > T_1 \text{ และ } P_{-1} > T_1)$ หรือ $(1/2 < P_1/P_{-1} < 2)$

เลือก $L_h = 3$ แล้วไปตรวจสอบทางแนวตั้ง;

ถ้า $(-T_1 < P_1 < T_1 \text{ และ } -T_1 < P_{-1} < T_1 \text{ และ } -T_2 < P_2 < T_2 \text{ และ } -T_2 < P_{-2} < T_2)$

เลือก $L_h = L_v = 1$ คือที่จุดกึ่งกลางของตารางหน้าต่างคงค่าเดิม ;

นอกเหนือจากนั้น เลือก $L_h = 1$ แล้วไปตรวจสอบทางแนวตั้ง (4.7)

II. การตรวจสอบทางแนวตั้ง :

ถ้า $(Q_2 > T_2 \text{ และ } Q_{-2} > T_2)$ หรือ $(Q_1 > T_2 \text{ และ } Q_{-2} > T_2)$ หรือ $(Q_2 > T_2 \text{ และ } Q_{-1} > T_2)$

เลือก $L_v = 5$ แล้วทำการเรียงลำดับข้อมูล

ถ้า $(Q_1 > T_1 \text{ และ } Q_{-1} > T_1)$ หรือ $(1/2 < Q_1/Q_{-1} < 2)$

เลือก $L_v = 3$ แล้วทำการเรียงลำดับข้อมูล

ถ้า $(-T_1 < Q_1 < T_1 \text{ และ } -T_1 < Q_{-1} < T_1 \text{ และ } -T_2 < Q_2 < T_2 \text{ และ } -T_2 < Q_{-2} < T_2)$

เลือก $L_v = L_h = 1$ คือ ที่จุดกึ่งกลางของตารางหน้าต่างคงค่าเดิม;

นอกเหนือจากนั้น เลือก $L_v = 1$ แล้วทำการเรียงลำดับข้อมูล (4.8)

ค่า T_1 และ T_2 เป็นค่า threshold ที่ใช้ในการทดสอบว่า ค่า P และ Q เท่าไหร่จึงจะถือว่าเป็นสัญญาณรบกวน โดยจากการทดลองพบว่าค่า T_1 และ T_2 ที่ใช้มีค่าอยู่ระหว่าง 16 ถึง 48 และเป็นค่าเฉพาะภาพๆ ไป สำหรับในกรณีของ pepper noise ก็ทำในลักษณะเดียวกันกับ salt noise ยกเว้นเพียงเครื่องหมายของ P และ Q ให้เป็นตรงกันข้ามแล้วทำตามขั้นตอนเดิมทุกประการ ซึ่งจากการทดลองนี้ได้ใช้การจำลองสัญญาณรบกวนแบบผสมทั้ง 2 แบบ ดังนั้นเราจึงทำการกำจัดโดยใช้ขั้นตอนของการกรองมัลติฐานแบบที่ใช้กับ salt noise ก่อนแล้วจึงใช้แบบที่ใช้กับ pepper noise อีกครั้ง

ตัวอย่าง สมมติค่าระดับสีเทาในตารางหน้าต่างเป็นดังภาพที่ 4.5

			55	
			57	
56	57	56	120	57
		56		
		57		

ภาพที่ 4.5 ค่าระดับสีเทาในหน้าต่าง

โดยใช้ขั้นตอนของการกรอง salt noise และตำแหน่งที่พิจารณาสมมติให้ $n = 3$ จากสมการที่ 4.6 จะได้ว่า

$$x(1) = 56, x(2) = 57, x(3) = 56, x(4) = 120, x(5) = 57$$

$$y(1) = 55, y(2) = 57, y(3) = 56, y(4) = 56, y(5) = 57$$

$$p_1 = x(3) - x(4) = 56 - 120 = -64$$

$$p_2 = x(4) - x(5) = 120 - 57 = 63$$

$$p_{-1} = x(3) - x(2) = 56 - 57 = -1$$

$$p_{-2} = x(2) - x(1) = 57 - 56 = 1$$

เอกสารนี้เป็นเอกสารที่สงวนไว้สำหรับการใช้งานเพื่อการศึกษาเท่านั้น ไม่อนุญาตให้นำไปใช้ประโยชน์ด้านการค้า ไม่ว่ากรณีใดๆทั้งสิ้น อีกทั้งห้ามมิให้คัดแปลงเนื้อหา และต้องอ้างอิงถึงเจ้าของเอกสารทุกครั้งที่มีการนำไปใช้

ในการทำงานเดียวกัน

$$Q_1 = 0, Q_2 = -1, Q_{-1} = -1, Q_{-2} = 2$$

สมมติกำหนดให้ว่า $T_1=30, T_2=40$

นำไปตรวจสอบทางแนวนอน

จากเงื่อนไขแรก (คือ ถ้าเป็นจริงให้เลือก $L_H=5$) ปรากฏว่าไม่เป็นจริง

จากเงื่อนไขต่อมา ปรากฏว่าไม่เป็นไปตามเงื่อนไขต้องตรวจสอบต่อไป

จากเงื่อนไขที่ 3 ก็ไม่เป็นจริงดังนั้น เลือก $L_H=1$

นำไปตรวจสอบทางแนวตั้ง

จากเงื่อนไขแรก ปรากฏว่าไม่เป็นจริง

จากเงื่อนไขที่ 2 ปรากฏว่าก็ไม่เป็นไปตามเงื่อนไขต้อง ตรวจสอบต่อไป

จากเงื่อนไขต่อมา ก็ไม่เป็นจริงดังนั้น เลือก $L_V=1$

ดังนั้นเราได้ความยาวของตารางหน้าต่างในแนวนอนและแนวตั้งเท่ากัน คือ 1 ซึ่งหมายความว่า ไม่ต้องมีการเรียงลำดับของข้อมูลในตารางหน้าต่าง หรือไม่มีการเปลี่ยนแปลงของค่าที่จุดกำลังพิจารณา (จุดกึ่งกลางหน้าต่าง)

จากตัวอย่างข้างบนจะเห็นว่าที่จุด $x(4)$ คือสัญญาณรบกวนเพราะมีค่ามากกว่าจุดใกล้เคียงมาก ทำให้สามารถรู้ว่าเป็นสัญญาณรบกวนแบบ salt noise ส่วนกรณี pepper noise นั้น จะมีค่าที่ต่ำกว่าค่าใกล้เคียงมากๆ เมื่อดูจากภาพก็จะมองเห็นเป็นจุดที่เด่นชัดมาก เราก็เลือกใช้ขั้นตอนของการกรองแบบที่ใช้กับ salt noise

ถ้าเราใช้การกรองมัลติฐานแบบธรรมดา (ทำการเรียงลำดับข้อมูลเลข $\{55, 56, 56, 56, (57), 57, 57, 57, 120\}$) จะได้ค่าที่จุดพิจารณาเท่ากับ 57 ซึ่งจะเห็นว่าต่างไปจากค่าเดิม (56) เป็นสาเหตุให้ภาพเบลอ

สำหรับการที่เลือกใช้ขนาดของความยาวสูงสุดตารางหน้าต่างเท่ากับ 5 เพราะว่าเป็นขนาดที่กำลังเหมาะสมทั้งในด้านประสิทธิภาพในการกำจัดสัญญาณรบกวนและขั้นตอนในการทำงาน ถ้าใช้ความยาวมากกว่านี้ขั้นตอนจะซับซ้อนและเสียเวลามากขึ้น ในขณะที่ถ้าใช้ขนาดน้อยกว่าประสิทธิภาพก็จะด้อยตาม แต่ถ้ากรณีที่สัญญาณรบกวนหนาแน่นมากๆ ก็สามารถเพิ่มขนาดได้ โดยเพิ่มขั้นตอนขึ้นไปอีก

4.2.2 การกรองมัธยฐานแบบปรับขนาดได้อย่างอัตโนมัติที่ใช้กับ Pepper noise:

สำหรับกรณี pepper noise ซึ่งจะเป็นการกำจัดสัญญาณรบกวนอิมพัลส์แบบจุดดำ ตัวอย่างตามภาพที่ 4.6 ซึ่งจะมีลักษณะตรงกันข้ามกับหัวข้อที่ 4.2.1 เราจะต้องทำการเปลี่ยนเครื่องหมายของ P และ Q ในสมการที่ 4.6 เป็นตรงกันข้ามก่อน ดังนี้

$$\begin{aligned}
 P_j &= -[x(n+j-1) - x(n+j)] && \text{เมื่อ } j = 1, 2; \\
 P_j &= -[x(n+j+1) - x(n+j)] && \text{เมื่อ } j = -1, -2; \\
 Q_j &= -[y(n+j-1) - y(n+j)] && \text{เมื่อ } j = 1, 2; \\
 Q_j &= -[y(n+j+1) - y(n+j)] && \text{เมื่อ } j = -1, -2;
 \end{aligned}
 \tag{4.9}$$

จากตัวอย่างที่แล้ว เราจะได้ค่า P และ Q ดังต่อไปนี้

$$P_1 = 64, P_2 = -63, P_{-1} = -1, P_{-2} = 1$$

$$Q_1 = 0, Q_2 = 1, Q_{-1} = 1, Q_{-2} = -2$$

แล้วให้ดำเนินการตรวจสอบค่า ตามสมการที่ 4.7 (ตรวจสอบทางแนวนอน) และสมการที่ 4.8 (ตรวจสอบทางตั้ง) หลังจากนั้นก็ไปหาค่ามัธยฐาน ทำตามขั้นตอนเดิมทุกอย่าง



(ก)



(ข)



(ค)



(ง)

ภาพที่ 4.6 ภาพผลลัพธ์จากภาพ Lena ขนาด 256x256 ที่ถูกรบกวนโดยสัญญาณรบกวนแบบ

salt and pepper noise (impulse) ประมาณ 5% (ก)

การกรองมัชฐานแบบหน้าต่างคงที่ขนาด 3x3 (ข)

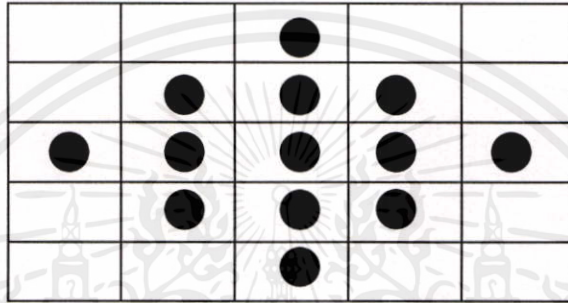
การกรองมัชฐานแบบหน้าต่างคงที่ขนาด 5x5 (ค)

การกรองมัชฐานที่ปรับขนาดหน้าต่างได้อย่างอัตโนมัติ เมื่อใช้ $T_1=16$ และ $T_2=45$ (ง) การค้า

ไม่ว่ากรณีใดๆทั้งสิ้น อีกทั้งห้ามมิให้คัดแปลงเนื้อหา และต้องอ้างอิงถึงเจ้าของเอกสารทุกครั้งที่มีการนำไปใช้

4.3 การขยายหน้าต่างการกรองมัลติสเกลแบบปรับขนาดได้อย่างอัตโนมัติ

ถ้าสัญญาณรบกวนแบบอิมพัลส์มีเปอร์เซ็นต์สูงมากและต้องการคุณภาพของภาพให้ดีขึ้น เราสามารถที่จะปรับขยายขนาดหน้าต่างให้ใหญ่ขึ้น โดยเพิ่มเงื่อนไขการเช็คในแนวเฉียงทั้ง 2 ด้านของ filter window คุยได้จากภาพที่ 4.7 จะกลายเป็นว่าเราสนใจด้านทั้ง 4 ของ filter window (Four major correlation direction) [11] ขนาดเงื่อนไขที่เพิ่มเข้ามานี้จะกระทำก่อนการตัดสินใจในแนวนอนและแนวตั้ง ขนาดหน้าต่างสูงสุดจากพิกเซลในแนว 45 องศา ถูกกำหนดโดย



ภาพที่ 4.7 การขยายหน้าต่างการกรองมัลติสเกลแบบปรับขนาดได้

$$\mu(n-2), \mu(n-1), \mu(n), \mu(n+1), \mu(n+2);$$

พิกเซลในแนว 135 องศา ถูกกำหนดโดย

$$Z(n-2), Z(n-1), Z(n), Z(n+1), Z(n+2);$$

เมื่อ $\mu(n) = Z(n)$ เมื่อพิกเซลกึ่งกลาง (central pixel) เรากำหนดให้

$$\begin{aligned} r_j &= \mu(n+j-1) - \mu(n+j), & \text{เมื่อ } j = 1, 2; \\ r_j &= \mu(n+j+1) - \mu(n+j), & \text{เมื่อ } j = -1, -2; \\ S_j &= Z(n+j-1) - Z(n+j), & \text{เมื่อ } j = 1, 2; \\ S_j &= Z(n+j+1) - Z(n+j), & \text{เมื่อ } j = -1, -2; \end{aligned} \quad (4.10)$$

ให้ L_μ, L_Z แทนความยาวของขนาดหน้าต่างในแนวทแยง 45 องศาและ 135 องศาตาม

ลำดับ ขบวนการตรวจเช็คมีดังต่อไปนี้

เอกสารนี้เป็นเอกสารที่สงวนไว้สำหรับการใช้งานเพื่อการศึกษาเท่านั้น ไม่อนุญาตให้นำไปใช้ประโยชน์ด้านการค้า
ไม่ว่ากรณีใดๆทั้งนี้ในแนวการตรวจ 45 องศา เนื้อหา และต้องอ้างอิงถึงเจ้าของเอกสารทุกครั้งที่มีการนำไปใช้

ถ้า $(r_1 > T_1$ และ $P_{-1} > T_1)$ หรือ $(r_2 > -T_2$ และ $r_{-2} > -T_2)$,

เลือก $L_\mu = 3$ แล้วเช็คในแนว 135 องศาต่อ

ถ้า $(-T_1 < r_1 < T_1$ และ $-T_1 < r_{-1} < T_1)$ และ $-T_2 < r_2 < T_2$ และ $-T_2 < r_{-2} < T_2$

เลือก $L_\mu = L_z = L_h = L_v = 1$, หรือพิทเซตกึ่งกลาง (ค่าเดิม) แล้วไม่ต้องเช็คด้านอื่น

กรณีอื่นให้เลือก $L_\mu = 1$ และไปเช็คในแนว 135 องศาต่อ

ในแนวการตรวจเช็ค 135 องศา

ถ้า $(S_1 > T_1$ และ $S_{-1} > T_1)$ หรือ $(S_2 > -T_2$ และ $S_{-2} > -T_2)$,

เลือก $L_\mu = 3$ แล้วเช็คในแนวนอนต่อ

ถ้า $(-T_1 < S_1 < T_1$ และ $-T_1 < S_{-1} < T_1)$ และ $-T_2 < S_2 < T_2$ และ $-T_2 < S_{-2} < T_2$

เลือก $L_\mu = L_z = L_h = L_v = 1$, หรือพิทเซตกึ่งกลางโดยไม่ต้องตรวจสอบด้านอื่น

กรณีอื่นให้เลือก $L_\mu = 1$ และไปเช็คในแนวนอนต่อ

(4.11)

อัลกอริทึมในการเช็คแนวนอนและแนวตั้งยังคงเหมือนเดิมที่ได้กล่าวไว้แล้วในตอนต้น

เอกสารนี้เป็นเอกสารที่สงวนไว้สำหรับการใช้งานเพื่อการศึกษาเท่านั้น ไม่อนุญาตให้นำไปใช้ประโยชน์ด้านการค้า
ไม่ว่ากรณีใดๆทั้งสิ้น อีกทั้งห้ามมิให้คัดแปลงเนื้อหา และต้องอ้างอิงถึงเจ้าของเอกสารทุกครั้งที่มีการนำไปใช้

บทที่ 5

การกรองมัลติเชลล์แบบดัดแปลง

จากพื้นฐานการกรองมัลติเชลล์ในบทที่ 3 และการดัดแปลง ปรับปรุงเทคนิควิธีการกรองมัลติเชลล์ในบทที่ 4 ซึ่งทำให้คุณภาพของภาพดีขึ้น ตามลำดับ ในบทนี้จะนำเสนอวิธีการกรองมัลติเชลล์แบบดัดแปลง (Adaptive multi-shell median filter) ที่ให้ภาพผลลัพธ์มีคุณภาพดีและมีความยุ่งยากในอัลกอริทึมไม่มาก

5.1 พื้นฐานการกรองมัลติเชลล์

การกรองมัลติเชลล์ถูกนำเสนอโดย J.S. Jimmy Li [12] ซึ่งมีคุณสมบัติที่ดีคือให้ภาพผลลัพธ์ที่มีความคมชัดสูง สามารถรักษารายละเอียดเล็ก ๆ น้อย ๆ ได้ดี เช่น ภาพที่ประกอบด้วยเส้นที่บาง ๆ หรือขอบมุมที่มีความคม ความหมายของการกรองมัลติเชลล์คือ การออกแบบลักษณะของหน้าต่างในการกรอง (Filter window) ให้มีหลายรูปแบบซ้อนทับกันอยู่จากนั้นให้หาค่าสูงสุดและต่ำสุดของแต่ละหน้าต่าง แล้วนำค่าสูงสุดและต่ำสุดเหล่านั้นมาทำการหาค่ามัลติเชลล์ร่วมกับค่าที่จุดกึ่งกลาง (Central pixel) อีกครั้งหนึ่ง

ก่อนอื่นลองพิจารณาค่าของตัวเลข 3 ค่าในแบบ 1 มิติต่อไปนี้ สมมติให้ a_1, a_2, a_3 เป็นค่าระดับสีเทา (Gray level) ตามสมการมัลติเชลล์คือ

$$\text{median}\{a_1, a_2, a_3\} = \text{median}\{\min[a_1, a_3], a_2, \max[a_1, a_3]\} \quad (5.1)$$

โดยที่ a_2 เป็นตัวอย่างกลางที่ถูกพิจารณา (central sample) ส่วน $[a_1, a_3]$ เป็นเซตของตัวอย่างที่อยู่รอบ ๆ ตัวอย่างกลาง หรือ เป็นเปลือกหรือเชลล์ (Shell) ของการหาค่ามัลติเชลล์ ในขั้นตอนนี้เราจะต้องหาค่าน้อยที่สุดในเชลล์ ($\min[a_1, a_3]$) และมากที่สุดที่สุดในเชลล์ ($\max[a_1, a_3]$) จากนั้นจึงไปทำการหาค่ามัลติเชลล์ตามสมการ 5.1

จากสมการที่ 5.1 ซึ่งเป็นแบบ 1 มิติ เราสามารถขยายผลโดยการหมุนสมการ 5.1 รอบตัวเองเพื่อทำเป็นแบบ 2 มิติ ขนาดหน้าต่างจตุรัส 3×3 โดยกำหนดให้ $y_{m,n}$ คือ เอาท์พุทของการกรองที่ตำแหน่ง m, n และมี $a_{m,n}$ เป็นตัวอย่างกลาง และ S_1 คือ เซตของสมาชิกทั้งหมดที่อยู่รอบตัวอย่างกลาง

เอกสารนี้เป็นเอกสารที่สงวนลิขสิทธิ์ไว้สำหรับใช้เพื่อการศึกษาเท่านั้น ไม่อนุญาตให้เผยแพร่โดยไม่ได้รับอนุญาต
ไม่ว่ากรณีใดๆทั้งสิ้น อีกทั้งห้ามมิให้ดัดแปลงเนื้อหา และต้องอ้างอิงถึงเจ้าของเอกสารทุกครั้งที่มีการนำไปใช้

$$S_1 = \left\{ \begin{array}{l} a_{m-1,n-1}, a_{m-1,n}, a_{m-1,n+1}, \\ a_{m,n-1}, \quad \quad \quad, a_{m,n+1}, \\ a_{m+1,n-1}, a_{m+1,n}, a_{m+1,n+1} \end{array} \right\} \quad (5.2)$$

S_1 คือเซตที่มี 1 ของเขตสมาชิกที่มีอยู่รอบตัวอย่างกลาง สมการเอาที่ทุกสามารถเขียนได้ดังนี้

$$Y_{m,n} = \text{median}(\min(S_1), a_{m,n}, \max(S_1)) \quad (5.3)$$

ผลของสมการที่ 5.3 กับภาพ LENA ที่มีสัญญาณรบกวนแบบอิมพัลส์ 5%

จากสมการที่ 5.3 ซึ่งให้เห็นว่าถ้าตัวอย่างกลาง ($a_{m,n}$) เป็นอิมพัลส์เดี่ยว ๆ คือ มีค่าแตกต่างจากสมาชิกที่อยู่ในเซลล์มาก ๆ (อาจจะมากกว่ามาก ๆ หรือน้อยกว่ามาก ๆ) เมื่อผ่านการหาค่ามัธยฐานจะถูกแทนที่ด้วยสมาชิกที่อยู่ในเซลล์ตามสมการที่ 5.3 แต่ในอีกทางหนึ่งถ้าอิมพัลส์ติดกันเป็นลักษณะ 2 พิกเซล สมการที่ 5.3 ก็จะไม่สามารถกำจัดออกไปได้ยังคงเหลืออิมพัลส์นี้ติดมาด้วย เราสามารถอธิบายวิธีการทำงานของโปรแกรมนี้ได้ตามตัวอย่างที่ 5.1 และ 5.2

ตัวอย่างที่ 5.1 เราสามารถอธิบายเพื่อประกอบความเข้าใจดังต่อไปนี้ สมมติให้ค่าระดับเทาในฟิลเตอร์วินโดว์ขนาด 3x3 จตุรัส ประกอบด้วยค่าต่าง ๆ ดังตารางข้างล่าง สมมติให้ $a_{m,n}$ เป็นอิมพัลส์ซึ่งมีค่าแตกต่างจากค่าสมาชิกในเซลล์มาก ๆ

70	74	80	S_1	S_1	S_1
70	250	61	S_1	$a_{m,n}$	S_1
70	73	65	S_1	S_1	S_1

เราจะได้ว่า $\min(S_1) = 61$

$$\max(S_1) = 80$$

$$a_{m,n} = 250$$

$$Y_{m,n} = \text{median}(61, 250, 80)$$

เอกสารนี้เป็นเอกสารที่สงวนไว้สำหรับการใช้งานเพื่อการศึกษาเท่านั้น ไม่อนุญาตให้นำไปใช้ประโยชน์ด้านการค้า
 ซึ่งแสดงให้เห็นว่าอิมพัลส์น้อยก็ได้ถูกกำจัดออกไปแล้ว



(ก)



(ข)



(ค)



(ง)

ภาพที่ 5.1 ภาพผลลัพธ์ของการกรอง ภาพ LENA ต้นฉบับ (ก)

ภาพ LENA ที่มีสัญญาณรบกวนอิมพัลส์ 5% (ข)

ภาพ LENA ที่ผ่านการกรองมัชฐานด้วยขนาดหน้าต่างต่าง 3x3 (ค)

ภาพ LENA ที่ผ่านการกรองมัชฐานแบบมัลติเซลล์ (ง)

เอกสารนี้เป็นเอกสารที่สงวนไว้สำหรับการใช้งานเพื่อการศึกษาเท่านั้น ไม่อนุญาตให้นำไปใช้ประโยชน์ด้านการค้า
ไม่ว่ากรณีใดๆทั้งสิ้น อีกทั้งห้ามมิให้คัดแปลงเนื้อหา และต้องอ้างอิงถึงเจ้าของเอกสารทุกครั้งที่มีการนำไปใช้

ตัวอย่างที่ 5.2 ในกรณีอิมพัลซ์ 2 จุดติดกัน ถ้า $a_{m,n}$ เป็นอิมพัลซ์และ $a_{m-1,n-1}$

251	74	80
70	250	61
73	73	65

$$\begin{aligned} \text{เราจะได้ว่า } \min(S_1) &= 61 \\ \max(S_1) &= 251 \\ a_{m,n} &= 250 \\ Y_{m,n} &= \text{median}(61, 251, 250) \\ &= 250 \end{aligned}$$

ซึ่งแสดงให้เห็นว่าเอาที่พุงของฟิลเตอร์วินโดว์นี้ยังคงรักษาความเป็นอิมพัลซ์อยู่ หรือกล่าวอีกนัยหนึ่งคือ ไม่สามารถกำจัดอิมพัลซ์ออกไปได้

ดังนั้นในการที่จะกำจัดอิมพัลซ์ที่ติดมานั้นขนาดของหน้าต่างก็ต้องใหญ่ขึ้นดังเช่นที่กล่าวไว้ข้างแล้วในบทที่ 4 เราสามารถขยายหน้าต่างโดยเพิ่มสมาชิกได้ด้วยสมการต่อไปนี้

$$\text{median}\{a_1, a_2, a_3, a_4, a_5\} = \text{median}\{\min(a_1, a_5), \min(a_2, a_4), a_3, \max(a_2, a_4), \max(a_1, a_5)\} \quad (5.4)$$

เมื่อ a_3 คือตัวอย่างกลางที่ถูกพิจารณาและ (a_2, a_4) คือเซลล์ที่ 1 (a_1, a_5) คือเซลล์ที่ 2 ที่อยู่ล้อมรอบตัวอย่างกลาง เราสามารถขยายผลตัวนี้ให้เป็นแบบ 2 มิติ โดยมีขนาดหน้าต่างจตุรัส 5×5 ซึ่งจะสามารถกำจัดสัญญาณรบกวนแบบอิมพัลส์ได้มากขึ้น ขนาดหน้าต่างหรือเซลล์นี้สามารถขยายตัวออกไปได้อีกในกรณีที่เราต้องการ เช่น 7×7 หรือมากกว่านั้น เซลล์ที่เกิดขึ้นเราจะเรียงตามลำดับว่า 1, 2, ... เราแทนชื่อเซลล์ต่างๆ ด้วย S_j เมื่อ j เป็นเลขจำนวนเต็ม

$$S_j = \left\{ \begin{array}{llll} a_{m-j, n-j} & , & a_{m-j, n-j+1} & , & \text{-----}, & a_{m-j, n+j} & , \\ a_{m-j+1, n-j} & , & a_{m-j+1, n-j+1} & , & & & \\ \text{-----} & , & \text{-----} & , & & & \\ a_{m+j-1, n-j} & , & a_{m+j-1, n-j+1} & , & & & \\ a_{m+j, n-j} & , & a_{m+j, n-j+1} & , & \text{-----}, & a_{m+j, n+j} & \end{array} \right\} \quad (5.5)$$

เอกสารนี้เป็นเอกสารที่สงวนไว้สำหรับการใช้งานเพื่อการศึกษาเท่านั้น ไม่อนุญาตให้นำไปใช้ประโยชน์ด้านการค้า
ไม่ว่ากรณีใดๆทั้งสิ้น อีกทั้งห้ามมิให้คัดแปลงเนื้อหา และต้องอ้างอิงถึงเจ้าของเอกสารทุกครั้งที่มีการนำไปใช้

เมื่อ $1 \leq j \leq N$ เราสามารถคำนวณจำนวนสมาชิกในแต่ละเซลล์ได้ด้วยสมการ 5.6

$$|S_j| = (2_{j+1})^2 - (2_{(j-1)+1})^2 = 8_j \quad (5.6)$$

จำนวนสมาชิกทั้งหมดในหน้าต่างขนาด N คือ $(2N + 1)^2$

เอาที่พู่ทของการกรองมัลติเซลล์ คือ

$$Y_{m,n} = \text{median}(W) \quad (5.7)$$

เมื่อ

$$W = (\min(S_N), \dots, \min(S_1), a_{m,n}, \max(S_1), \dots, \max(S_N)) \quad (5.8)$$

$|W|$ จะมีค่าเท่ากับ $(2N + 1)$ ซึ่งเป็นความยาวหนึ่งด้านของฟิลเตอร์วินโดว์ในแบบ 2 มิติ ถ้าจำนวนอิมพัลส์ไม่มากกว่า N ตัว การกรองมัลติเซลล์นี้จะสามารถกำจัดสัญญาณรบกวนออกไปได้หมด นอกจากนี้ค่า N ยังแสดงถึงจำนวนของเซลล์ที่เกิดขึ้น เช่น $N=2$ จำนวนเซลล์ที่เกิดขึ้นจะมี 2 เซลล์ ตามตารางที่ 5.1

ตารางที่ 5.1 จำนวนเซลล์ที่เกิดขึ้นจากการกรองมัลติเซลล์

S_2	S_2	S_2	S_2	S_2
S_2	S_1	S_1	S_1	S_2
S_2	S_1	$a_{m,n}$	S_1	S_2
S_2	S_1	S_1	S_1	S_2
S_2	S_2	S_2	S_2	S_2

S_1 แสดงจำนวนสมาชิกทั้งหมดในเซลล์ที่ 1

S_2 แสดงจำนวนสมาชิกทั้งหมดในเซลล์ที่ 2

$a_{m,n}$ คือ จุดพิกเซลที่จุดกึ่งกลาง

เอกสารนี้เป็นเอกสารที่สงวนไว้สำหรับการใช้งานเพื่อการศึกษาเท่านั้น ไม่อนุญาตให้นำไปใช้ประโยชน์ด้านการค้า ไม่ว่ากรณีใดๆทั้งสิ้น อีกทั้งห้ามมิให้คัดแปลงเนื้อหา และต้องอ้างอิงถึงเจ้าของเอกสารทุกครั้งที่มีการนำไปใช้



(ก)



(ข)

ภาพที่ 5.2 ภาพผลลัพธ์ของการกรอง ภาพ LENA ที่มีสัญญาณรบกวนอิมพัลส์ 5% (ก)
ภาพ LENA ที่ผ่านการกรองมัชฐานมัลติเซลล์ แบบมี 2 เซลล์ (ข)

5.2 การกรองมัชฐานมัลติเซลล์สำหรับ Missing Line Noise

Missing Line Noise เกิดจากการสูญเสียสัญญาณภาพเป็นแนวเส้นจากการส่งสัญญาณหรืออาจเกิดจากความผิดพลาดในการถอดรหัสและไม่สามารถทำให้กลับคืนให้ดั้งเดิมได้ การสูญเสียสัญญาณภาพเป็นแนวเส้นนี้จะเกิดเฉพาะในแนวนอนเท่านั้น เนื่องจากการส่งสัญญาณภาพโดยทั่วๆ ไปจะส่งในแนวนอนก่อน แล้วจึงนำสัญญาณในแนวนอนมาประกอบกันจนเกิดเป็นภาพที่สมบูรณ์ เราสามารถออกแบบฟิลเตอร์วินโดว์เพื่อกำจัดสัญญาณรบกวนแบบ Missing Line ได้ตามสมการที่ 5.9 ดังนี้

$$S_j = \left\{ \begin{array}{l} a_{m-j, n-j}, a_{m-j, n-j+1}, \dots, a_{m-j, n+j}, \\ a_{m-j+1, n-j}, a_{m-j+1, n+j}, \\ \dots, \dots, \\ a_{m-1, n-1}, a_{m-1, n+j}, \\ a_{m+1, n-j}, a_{m+1, n+j}, \\ \dots, \dots, \\ a_{m+j-1, n-j}, a_{m+j-1, n+j}, \\ a_{m+j, n-j}, a_{m+j, n-j+1}, \dots, a_{m+j, n+j} \end{array} \right\}$$

(5.9)

และ $1 \leq j \leq N; |S_j| = 8_j - 2$

สมมติว่า $N=1$ ขนาดฟิลเตอร์วินโดว์ คือ 3×3 , $N=2$ ขนาดฟิลเตอร์วินโดว์ คือ 5×5 เราสามารถแสดงจำนวนสมาชิกได้ดังตารางข้างล่างนี้ พิกเซลในแนวนอนที่ตรงกับตัวอย่างกลางจะไม่ถูกรวมเข้าในฟิลเตอร์วินโดว์ ซึ่งจะทำให้สามารถกำจัดสัญญาณรบกวนแบบ missing line noise ไปได้ (ตารางที่ 5.2)

ตารางที่ 5.2 สมาชิกในหน้าต่างการกรองมัลติเซลล์สำหรับ Missing Line Noise แบบ 2 เซลล์

S_2	S_2	S_2	S_2	S_2
S_2	S_1	S_1	S_1	S_2
		a_{mn}		
S_2	S_1	S_1	S_1	S_2
S_2	S_2	S_2	S_2	S_2

S_1 แสดงจำนวนสมาชิกทั้งหมดในเซลล์ที่ 1

S_2 แสดงจำนวนสมาชิกทั้งหมดในเซลล์ที่ 2

a_{mn} คือ จุดพิกเซลที่จุดกึ่งกลาง

ตารางที่ 5.3 สมาชิกในหน้าต่างการกรองมัลติเซลล์สำหรับ Missing Line Noise แบบ 1 เซลล์

S_1	S_1	S_1
	a_{mn}	
S_1	S_1	S_1

S_1 แสดงจำนวนสมาชิกทั้งหมดในเซลล์ที่ 1

a_{mn} คือ จุดพิกเซลที่จุดกึ่งกลาง

เอกสารนี้เป็นเอกสารที่สงวนไว้สำหรับการใช้งานเพื่อการศึกษาเท่านั้น ไม่อนุญาตให้นำไปใช้ประโยชน์ด้านการค้า ไม่ว่ากรณีใดๆทั้งสิ้น อีกทั้งห้ามมิให้คัดแปลงเนื้อหา และต้องอ้างอิงถึงเจ้าของเอกสารทุกครั้งที่มีการนำไปใช้



(ก)



(ข)



(ค)



(ง)

ภาพที่ 5.3 ภาพผลลัพธ์ของการกรองที่มีสัญญาณรบกวน (Missing line noise) อิมพัลส์ 5% (ก)

ภาพ LENA ที่ผ่านการกรองมัธยฐานด้วยขนาดหน้าต่างต่าง 3x3 (ข)

ภาพ LENA ที่ผ่านการกรองมัธยฐานมัลติเซลล์ แบบ 1 เซลล์ (ค)

ภาพ LENA ที่ผ่านการกรองมัธยฐานมัลติเซลล์ แบบ 2 เซลล์ (ง)

เอกสารนี้เป็นเอกสารที่สงวนไว้สำหรับการใช้งานเพื่อการศึกษาเท่านั้น ไม่อนุญาตให้นำไปใช้ประโยชน์ด้านการค้า
ไม่ว่ากรณีใดๆทั้งสิ้น อีกทั้งห้ามมิให้คัดแปลงเนื้อหา และต้องอ้างอิงถึงเจ้าของเอกสารทุกครั้งที่มีการนำไปใช้

5.3 การกรองมัธยฐานมัลติเชลล์แบบดัดแปลงแบบที่ 1 (Adaptive Multi-Shell Median Filter First Algorithms)

หัวข้อที่แล้วได้แนะนำถึงวิธีการกรองมัธยฐานแบบมัลติเชลล์ หัวข้อนี้จะขอเสนอการกรองมัธยฐานแบบดัดแปลง อ้างถึง Ioannis Pitas [14] ที่ได้เสนอหลายๆ อัลกอริทึม ในการคำนวณเพื่อจัดเรียงค่าสูงสุดต่ำสุด (Fast algorithms for running ordering and max/min calculation) จากพื้นฐานดังกล่าวได้ถูกนำมาประยุกต์และดัดแปลงเพื่อเพิ่มประสิทธิภาพ และความสามารถในการกำจัดสัญญาณรบกวนแบบอิมพัลส์ ทำให้ภาพผลลัพธ์มีความผิดเพี้ยนจากภาพต้นแบบน้อยกว่าวิธีการกรองมัธยฐานมัลติเชลล์แบบธรรมดา หรือกล่าวอีกนัยหนึ่งคือ การกรองมัธยฐานมัลติเชลล์แบบดัดแปลงให้ผลลัพธ์ดีกว่านั่นเอง

จากพื้นฐานการกรองมัธยฐานมัลติเชลล์ในหัวข้อนี้จะเลือกรูปแบบหน้าต่างที่ใช้เพื่อกำจัดสัญญาณรบกวนแบบขาดหายไปบางเส้นมาประยุกต์ดังนี้

$a_{m-1,n-1}$	$a_{m-1,n}$	$a_{m-1,n+1}$	S	S	S
	$a_{m,n}$				
$a_{m+1,n-1}$	$a_{m+1,n}$	$a_{m+1,n+1}$	S	S	S

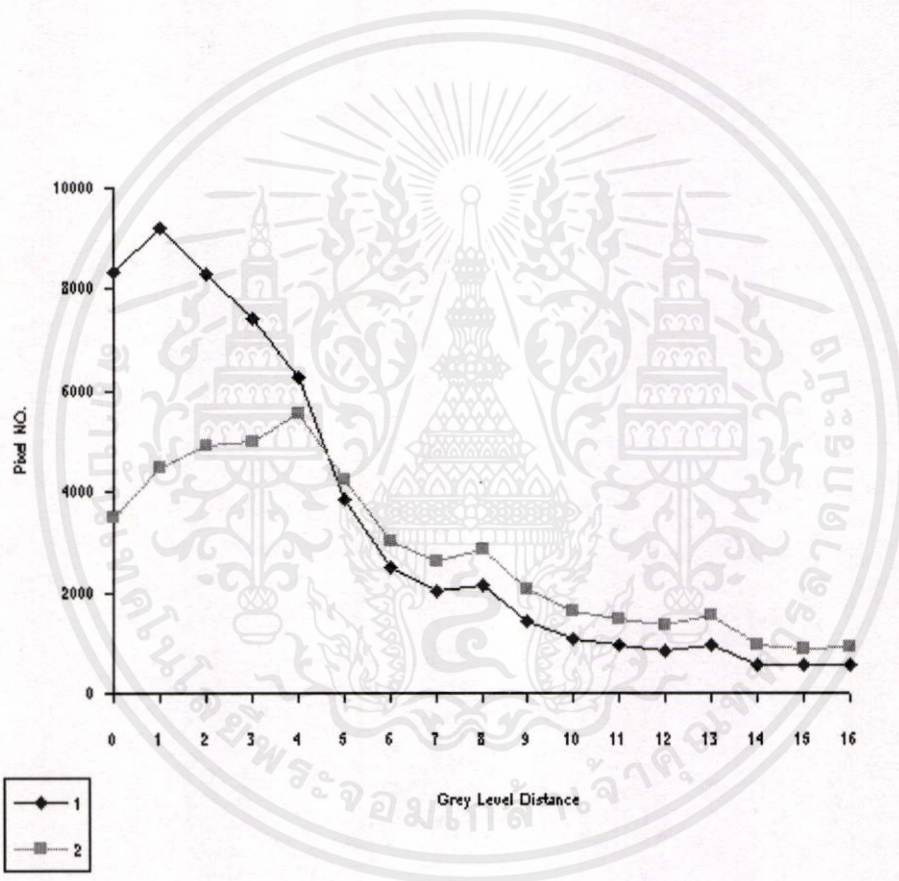
สมการเอาที่พู่ที่ตำแหน่ง m,n ของการกรองมัธยฐานมัลติเชลล์ คือสมการที่ 5.3 เรามานิยามใหม่เพื่อให้ง่ายต่อการเข้าใจ ดังต่อไปนี้

$$Y_{m,n} = \begin{cases} \text{Max}(S) & \text{if } a_{m,n} > \text{Max}(S) \\ a_{m,n} & \text{if } \text{Min}(S) < a_{m,n} < \text{Max}(S) \\ \text{Min} & \text{if } a_{m,n} < \text{Min}(S) \end{cases} \quad (5.10)$$

จากการค้นคว้าวิจัยเพื่อที่จะพัฒนาให้การกรองมัธยฐานมีประสิทธิภาพที่ดียิ่งขึ้น พบว่าค่าระดับเทาในตำแหน่ง $a_{m-1,n}$, $a_{m,n}$, $a_{m+1,n}$ จะมีค่าใกล้เคียงกันมากกว่าในตำแหน่งอื่น ๆ เช่น $a_{m-1,n-1}$, $a_{m-1,n+1}$, $a_{m+1,n-1}$, $a_{m+1,n+1}$ ดังนั้นเราจะกำหนดสมการเอาที่พู่ ของการกรองมัธยฐานมัลติเชลล์แบบดัดแปลง ใหม่ คือ

$$Y_{m,n} = \begin{cases} \text{Max}(a_{m-1,n}, a_{m+1,n}) & \text{if } a_{m,n} > \text{Max}(S) \\ a_{m,n} & \text{if } \text{Min}(S) < a_{m,n} < \text{Max}(S) \\ \text{Min}(a_{m-1,n}, a_{m+1,n}) & \text{if } a_{m,n} < \text{Min}(S) \end{cases} \quad (5.11)$$

จากเหตุผลที่ว่าค่าระดับเทาของ $a_{m-1,n}$, $a_{m,n}$, $a_{m+1,n}$ มีค่าใกล้เคียงกันทำให้วิธีการนี้มีผลลัพธ์ของการกรองที่ดีขึ้นกว่าเดิม เพื่อประกอบการพิจารณาเราได้ทำการทดลองเพื่อหาค่าความแตกต่างระดับเท่ากับภาพ Lena, Girl,... ฯลฯ มากกว่า 10 ภาพ ค่าความน่าจะเป็นของระยะห่างค่าระดับเทา (Probability of the gray level distance) ที่ทำการเปรียบเทียบระหว่างค่าที่จุดกึ่งกลาง ($a_{m,n}$) กับค่าที่อยู่ในแนวเส้นตรง ($a_{m-1,n}$, $a_{m+1,n}$) จะมีความแตกต่างของ Gray Level Distance ที่ต่ำกว่า 10 สูงกว่าการเปรียบเทียบระหว่างค่าที่จุดกึ่งกลางกับค่าโดยรอบ (S) อยู่ 8% โดยประมาณ (จากภาพที่ 5.4) จากเหตุผลนี้ถ้า $a_{m,n}$ ถูกครอบงวนโดยอิมพัลส์นอยส์จึงน่าจะดีกว่าที่ $a_{m,n}$ จะถูกแทนที่ด้วย $a_{m-1,n}$ หรือ $a_{m+1,n}$ มากกว่าค่าของ Max(S) หรือ Min(S)



ภาพที่ 5.4 ความสัมพันธ์ระหว่างการกระจายของสีเท่ากับจำนวนพิกเซล

จากภาพที่ 5.4 เมื่อกำหนดให้ 1 คือ $|a_{m,n} - \text{Max}(a_{m-1,n} | a_{m+1,n})|$

และ 2 คือ $|a_{m,n} - \text{Max}(S)|$

แสดงค่า ระยะห่างค่าระดับเทา (Grey level distance) ของภาพ LENA

เราสามารถอธิบายวิธีการกำจัดสัญญาณรบกวนได้ตามภาพที่ 5.5 ดังต่อไปนี้

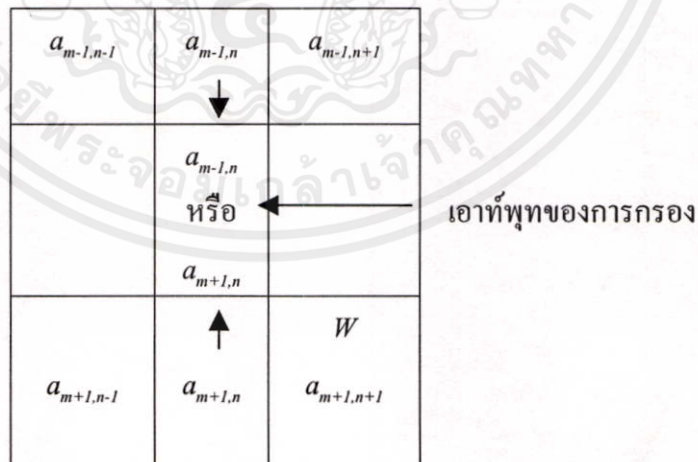
$a_{m-1,n-1}$	$a_{m-1,n}$	$a_{m-1,n+1}$
	W	
$a_{m+1,n-1}$	$a_{m+1,n}$	W $a_{m+1,n+1}$

ภาพที่ 5.5 วิธีการกำจัดสัญญาณรบกวน

ให้ W คือ White impulse Noise (อิมพัลส์นอยส์แบบจุดขาว)

$a_{m-1,n-1}, \dots, a_{m+1,n+1}$ คือสมาชิกในเซลล์

จากภาพที่ 5.5 ถ้าอิมพัลส์ปรากฏที่จุดกึ่งกลางหน้าต่างพร้อมกับที่มุมใดมุมหนึ่งหรือมากกว่าของหน้าต่าง (ในภาพยกตัวอย่าง W ที่ปรากฏมุมล่างขวา) การกรองมัลติเซลล์แบบที่กล่าวไว้ในตอนแรกจะไม่สามารถกำจัดอิมพัลส์นอยส์ออกไปได้ ดังที่อธิบายไว้ในหัวข้อที่แล้ว ส่วนวิธีการกรองมัลติเซลล์แบบดัดแปลงจะสามารถแทนที่อิมพัลส์นอยส์ได้ด้วยค่า $a_{m-1,n}$ หรือ $a_{m+1,n}$ ซึ่งผลลัพธ์ที่ออกมาดีกว่า (ภาพที่ 5.6)



ภาพที่ 5.6 วิธีการกรองมัลติเซลล์แบบดัดแปลง

เอกสารนี้เป็นเอกสารที่สงวนลิขสิทธิ์ไว้เพื่อใช้ในการศึกษาเท่านั้น ไม่อนุญาตให้นำไปใช้ประโยชน์ด้านการค้า
ไม่ว่ากรณีใดๆทั้งสิ้น อีกทั้งห้ามมิให้ดัดแปลงเนื้อหา และต้องอ้างอิงถึงเจ้าของเอกสารทุกครั้งที่มีการนำไปใช้

จากการคำนวณทางสถิติและการหาค่า Gray Level Distance ของภาพหลาย ๆ ภาพเราจะได้ว่า

$$\text{Max}(a_{m-1,n}, a_{m+1,n}) \leq \text{Max}(S) \quad (5.12)$$

$$\text{Min}(a_{m-1,n}, a_{m+1,n}) \geq \text{Min}(S) \quad (5.13)$$

จากสมการ 5.12 และ 5.13 เราจะได้สมการใหม่ดังนี้

$$\begin{aligned} & |a_{m,n} - \text{Min}(S)| \leq |a_{m,n} - (a_{m-1,n} | a_{m+1,n})| \leq |a_{m,n} - \text{Max}(S)| \\ \text{ถ้า } & \text{Min}(S) \leq a_{m,n} \leq \text{Max}(S) \end{aligned} \quad (5.14)$$

ในทางปฏิบัติกับข้อมูลภาพจริงสมการที่ 5.14 จะมีส่วนที่ไม่ถูกต้องเพียง 2.5% จากการทดสอบผลลัพธ์ ซึ่งจากมุมมองทางสถิติแล้วสมการ 5.14 จะถือได้ว่ามีความถูกต้อง สมการนี้จะบอกได้ว่าการแทนที่ $a_{m,n}$ ด้วย $a_{m-1,n}$ หรือ $a_{m+1,n}$ จะให้ผลลัพธ์ที่ดีกว่าค่าของ $\text{Max}(S)$ หรือ $\text{Min}(S)$

จากกราฟของ Gray Level Distance เราจะพบว่าค่าความแตกต่างของระดับเทาในช่วง 0-16 มีจุดภาพอยู่เป็นสูงกว่า 90% เพื่อช่วยให้การกรองมีประสิทธิภาพมากยิ่งขึ้นไปอีกหรือลดการถูกแทนที่โดยไม่จำเป็น (ลดการเบลอของภาพ) เราจะเพิ่มการเช็คเทรชโฮลด์ (Threshold) เข้าไปในสมการ 5.11 เพื่อเพิ่มเงื่อนไขการเช็คลดการผิดพลาดและเป็นการพยายามที่จะรักษารายละเอียดเล็กน้อยของภาพ

$$Y_{m,n} = \begin{cases} \text{Max}(a_{m-1,n}, a_{m+1,n}) & \text{if } a_{m,n} - \text{Max}(S) > 16 \\ \text{Min}(a_{m-1,n}, a_{m+1,n}) & \text{if } \text{Min}(S) - a_{m,n} > 16 \\ a_{m,n} & \text{ในกรณีอื่นๆ} \end{cases} \quad (5.15)$$

การแทนที่ของการกรองจะเกิดขึ้นก็ต่อเมื่อระยะห่างระหว่าง $a_{m,n}$ และ $\text{Max}(S)$ หรือ $\text{Min}(S)$ มากกว่า 16 (ภาพที่ 5.7)

เอกสารนี้เป็นเอกสารที่สงวนไว้สำหรับการใช้งานเพื่อการศึกษาเท่านั้น ไม่อนุญาตให้นำไปใช้ประโยชน์ด้านการค้า ไม่ว่ากรณีใดๆทั้งสิ้น อีกทั้งห้ามมิให้คัดแปลงเนื้อหา และต้องอ้างอิงถึงเจ้าของเอกสารทุกครั้งที่มีการนำไปใช้



(ก)



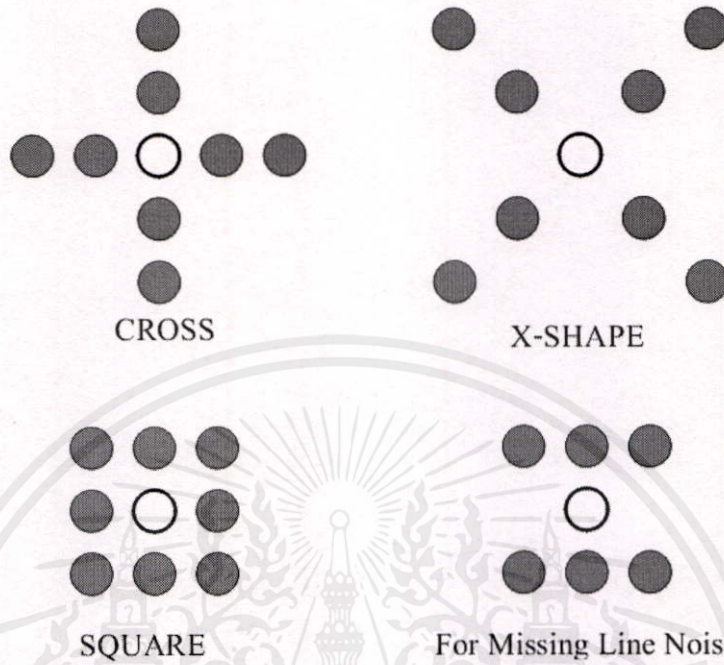
(ข)

ภาพที่ 5.7 ภาพผลลัพธ์ จากภาพ LENA ที่มีสัญญาณรบกวนอิมพัลส์ 5% การกรองมัลติชานแนลแบบดัดแปลง ตามสมการ 5.11 (ก) การกรองมัลติชานแนลแบบดัดแปลง ตามสมการ 5.15 ที่มีการตรวจสอบค่าเทรชโฮลด์ที่ 16 (ข)

5.4 การกรองมัลติชานแนลแบบดัดแปลงแบบที่ 2 (Adaptive Multi-Shell Median filter Second Algorithms)

เป็นการดัดแปลงจากการกรองมัลติชานแนลเพื่อให้มีคุณสมบัติพิเศษบางประการที่ดีขึ้น คือ ให้มีความคมชัดสูง กำจัดสัญญาณรบกวนได้มาก จากข้อดีของการกรองมัลติชานแนลที่ให้มีความคมชัดสูง แต่ไม่สามารถกำจัดสัญญาณรบกวนแบบอิมพัลส์ที่อยู่ติดกัน 2 จุดได้ วิธีการนี้จะนำเทคนิคการกรองมัลติชานแนลแบบธรรมดา มาดัดแปลงร่วมเพื่อใช้กับการกรองมัลติชานแนลการออกแบบเซลล์ เราควรที่จะเลือกเซลล์ให้สอดคล้องกับลักษณะเด่นของภาพ เพื่อให้ได้ภาพผลลัพธ์ที่ต้องการทำการกรองมีความคมชัดและผิดเพี้ยนน้อยที่สุด โดยตัวอย่างของลักษณะเซลล์แบบต่าง ๆ ที่สามารถนำมาใช้ในการกรองมัลติชานแนลแบบดัดแปลงแบบที่ 2 นี้ แต่ละเซลล์จะประกอบไปด้วย พิกเซลที่จุดกึ่งกลางหน้าต่าง และสมาชิกที่อยู่ล้อมรอบทั้งหมด (ภาพที่ 5.8)

เอกสารนี้เป็นเอกสารที่สงวนไว้สำหรับการใช้งานเพื่อการศึกษาเท่านั้น ไม่อนุญาตให้นำไปใช้ประโยชน์ด้านการค้า ไม่ว่ากรณีใดๆทั้งสิ้น อีกทั้งห้ามมิให้ดัดแปลงเนื้อหา และต้องอ้างอิงถึงเจ้าของเอกสารทุกครั้งที่มีการนำไปใช้



ภาพที่ 5.8 ลักษณะเซลล์แบบต่างๆ ที่สามารถนำมาใช้ในการกรองมัลติเซลล์แบบดัดแปลงแบบที่ 2

เราสามารถเขียนสมการเอาพุทที่ได้ดังต่อไปนี้

$$y_{m,n} = \begin{cases} a_{m,n} & \text{if } \text{Min}(S) < a_{m,n} < \text{Max}(S) \\ \text{median}(S) & \text{ในกรณีอื่นๆ} \end{cases} \quad (5.16)$$

เมื่อ $a_{m,n}$ คือพิกเซลที่จุดกึ่งกลางหน้าต่าง

S คือเซลล์ หรือเซตของสมาชิกทั้งหมดที่มีอยู่รอบพิกเซลที่จุดกึ่งกลางหน้าต่าง

เอกสารนี้เป็นเอกสารที่สงวนไว้สำหรับการใช้งานเพื่อการศึกษาเท่านั้น ไม่อนุญาตให้นำไปใช้ประโยชน์ด้านการค้า ไม่ว่ากรณีใดๆทั้งสิ้น อีกทั้งห้ามมิให้ดัดแปลงเนื้อหา และต้องอ้างอิงถึงเจ้าของเอกสารทุกครั้งที่มีการนำไปใช้



(ก)



(ข)



(ค)



(ง)

ภาพที่ 5.9 ภาพภาพ LENA ที่มีสัญญาณรบกวนอิมพัลซ์ 5% (ก)

การกรองมัธยฐานแบบหน้าต่างคงที่ 3×3 (ข)

การกรองมัธยฐานมัลติเซลล์แบบดัดแปลง 2^{nd} algorithm Square shape (ค)

การกรองมัธยฐานมัลติเซลล์แบบดัดแปลง 2^{nd} algorithm Cross shape (ง)

เอกสารนี้เป็นเอกสารที่สงวนไว้สำหรับการใช้งานเพื่อการศึกษาเท่านั้น ไม่อนุญาตให้นำไปใช้ประโยชน์ด้านการค้า
ไม่ว่ากรณีใดๆทั้งสิ้น อีกทั้งห้ามมิให้ดัดแปลงเนื้อหา และต้องอ้างอิงถึงเจ้าของเอกสารทุกครั้งที่มีการนำไปใช้

บทที่ 6

ผลการทดลอง

ผลการทดลองในบทนี้จะแสดงให้เห็นถึงการเปรียบเทียบประสิทธิภาพของการกำจัดสัญญาณรบกวนแบบอิมพัลส์ ของการกรองมัลติฐานวิธีต่าง ๆ ที่ได้กล่าวไว้ตั้งแต่บทที่ 3 ถึงบทที่ 5 โดยได้ทดลองกับภาพต้นแบบที่เป็นที่นิยมใช้กัน คือ LENA, CMAN และ GIRL ซึ่งทั้ง 3 ภาพเป็นภาพระดับเทา 256 ระดับขนาด 256x256 พิกเซล การเปรียบเทียบจะใช้ 2 วิธี คือ คุณภาพผลลัพธ์ด้วยสายตาและใช้วิธีเปรียบเทียบทางการคำนวณซึ่งจะใช้ 2 วิธีที่เป็นดัชนีชี้วัด คือ สมการที่ 2.3 ค่าเฉลี่ยผิดพลาดกำลังสอง (Mean square error : MSE) และสมการที่ 2.4 ค่าเฉลี่ยผิดพลาดทางขนาด (Mean absolute error : MAE) การทดลองจะนำภาพต้นแบบมาใส่สัญญาณรบกวนแบบอิมพัลส์ 5% แล้วใช้การมัลติฐานแบบหน้าต่างคงที่ การกรองมัลติฐานแบบปรับขนาดหน้าต่างอัตโนมัติ การกรองมัลติฐานมัลติ-เซลล์ การกรองมัลติฐานแบบปรับขนาดหน้าต่างอัตโนมัติ การกรองมัลติฐานมัลติ-เซลล์แบบตัดแปลงที่ 1st และการกรองมัลติฐานมัลติ-เซลล์แบบตัดแปลงที่ 2nd ภาพผลการทดลองของภาพ CMAN ได้แสดงในภาพที่ 6.1 และภาพ GIRL ได้แสดงไว้ในภาพที่ 6.2

นำภาพผลลัพธ์ทั้งหมดของภาพ CMAN, GIRL และ LENA (ภาพผลลัพธ์ LENA ได้ถูกแสดงอยู่ส่วนต่าง ๆ ของวิทยานิพนธ์แล้ว) มาทำการหาค่า MSE และ MAE เทียบกับภาพต้นแบบดังแสดงในตารางที่ 6.1, 6.2 และ 6.3



(ก)



(ข)



(ค)



(ง)

ภาพที่ 6.1 ภาพผลลัพธ์ของการกรอง ภาพ CMAN ดันฉบับ (ก)

ภาพ CMAN ที่มีสัญญาณรบกวนอิมพัลส์ 5% (ข)

ภาพ CMAN ที่ผ่านการกรองมาตรฐานด้วยขนาดหน้าต่าง 3x3 (ค)

ภาพ CMAN ที่ผ่านการกรองมาตรฐานแบบปรับขนาดหน้าต่างอัตโนมัติ (ง)

เอกสารนี้เป็นเอกสารที่สงวนไว้สำหรับกรใช้งานเพื่อการศึกษาเท่านั้น ไม่อนุญาตให้นำไปใช้ประโยชน์ด้านการค้า ไม่ว่ากรณีใดๆทั้งสิ้น อีกทั้งห้ามมิให้คัดแปลงเนื้อหา และต้องอ้างอิงถึงเจ้าของเอกสารทุกครั้งที่มีการนำไปใช้

ภาพที่ 6.1 (ต่อ)



(จ)



(ข)



(ค)



(ง)

ภาพที่ 6.1 (ต่อ) ภาพ CMAN ที่ผ่านการกรองมัลติเซสล์ (จ)

ภาพ CMAN ที่ผ่านการกรองมัลติเซสล์แบบตัดแปลงที่ 1st algorithm (ข)

ภาพ CMAN ที่ผ่านการกรองมัลติเซสล์แบบตัดแปลงที่ 2st algorithm

Square shape (ค)

ภาพ CMAN ที่ผ่านการกรองมัลติเซสล์แบบตัดแปลง 2st algorithm cross

shape (ง)

เอกสารนี้เป็นเอกสารที่สงวนไว้สำหรับกรใช้งานเพื่อการศึกษาเท่านั้น ไม่ควรเผยแพร่ไปยังประโยชน์ด้านการค้า
ไม่ว่ากรณีใดๆทั้งสิ้น อีกทั้งยังมีให้ดัดแปลงเนื้อหา และต้องอ้างอิงถึงเจ้าของเอกสารทุกครั้งที่มีการนำไปใช้



(ก)



(ข)



(ค)



(ง)

ภาพที่ 6.2 ภาพผลลัพธ์ของการกรอง ภาพ GIRL ดั้งฉบับ (ก)

ภาพ GIRL ที่มีสัญญาณรบกวนอิมพัลส์ 5% (ข)

ภาพ GIRL ที่ผ่านการกรองมัลชชานด้วยขนาดหน้าต่าง 3x3 (ค)

ภาพ GIRL ที่ผ่านการกรองมัลชชานแบบปรับขนาดหน้าต่างอัตโนมัติ (ง)

เอกสารนี้เป็นเอกสารที่สงวนไว้สำหรับการใช้งานเพื่อการศึกษาเท่านั้น ไม่อนุญาตให้นำไปใช้ประโยชน์ด้านการค้า ไม่ว่ากรณีใดๆทั้งสิ้น อีกทั้งห้ามมิให้คัดแปลงเนื้อหา และต้องอ้างอิงถึงเจ้าของเอกสารทุกครั้งที่มีการนำไปใช้

ภาพที่ 6.2 (ต่อ)



(จ)



(ฉ)



(ช)



(ซ)

ภาพที่ 6.2 (ต่อ) ภาพ GIRL ที่ผ่านการกรองมัลติเซสเทล (จ)

ภาพ GIRL ที่ผ่านการกรองมัลติเซสเทลแบบตัดแปลงที่ 1st algorithm (ฉ)ภาพ GIRL ที่ผ่านการกรองมัลติเซสเทลแบบตัดแปลงที่ 2st algorithm Square shape (ช)ภาพ GIRL ที่ผ่านการกรองมัลติเซสเทลแบบตัดแปลงที่ 2st algorithm cross shape (ซ)

เอกสารนี้เป็นเอกสารที่สงวนลิขสิทธิ์ไว้สำหรับใช้ภายในเท่านั้น การนำเอกสารนี้ไปใช้โดยไม่ได้รับอนุญาตถือว่าผิดกฎหมาย และต้องอ้างอิงถึงเจ้าของเอกสารทุกครั้งที่มีการนำไปใช้

ตารางที่ 6.1 เปรียบเทียบประสิทธิภาพการกรองชนิดต่าง ๆ ของภาพ CMAN กับค่า MSE และ MAE

IMAGE FILES	FILTER	MSE	MAE
CMAN	INPUT	1097.704	6.214
	MEDIAN 3x3	175.729	5.256
	ADAPTIVE WINDOWS SIZE	235.748	4.762
	MULTI-SHELL (2 SHELL)	101.189	1.508
	AMS 1 st ALGORITHM	77.837	1.901
	AMS 2 nd ALGORITHM SQUARE SHAPE	72.768	1.992
	AMS 2 nd ALGORITHM CROSS SHAPE	72.147	1.913

ตารางที่ 6.2 เปรียบเทียบประสิทธิภาพการกรองชนิดต่าง ๆ ของภาพ GIRL กับค่า MSE และ MAE

IMAGE FILES	FILTER	MSE	MAE
GIRL	INPUT	987.518	6.16
	MEDIAN 3x3	31.029	2.346
	ADAPTIVE WINDOWS SIZE	34.923	1.652
	MULTI-SHELL (2 SHELL)	40.795	0.797
	AMS 1 st ALGORITHM	29.966	0.892
	AMS 2 nd ALGORITHM SQUARE SHAPE	11.22	0.751
	AMS 2 nd ALGORITHM CROSS SHAPE	14.78	0.832

ตารางที่ 6.3 เปรียบเทียบประสิทธิภาพการกรองชนิดต่าง ๆ ของภาพ LENA กับค่า MSE และ MAE

IMAGE FILES	FILTER	MSE	MAE
LENA	INPUT	888.303	5.676
	MEDIAN 3x3	69.567	3.761
	ADAPTIVE WINDOWS SIZE	85.687	3.029
	MULTI-SHELL (2 SHELL)	56.898	1.118
	AMS 1 st ALGORITHM	33.843	0.566
	AMS 2 nd ALGORITHM SQUARE SHAPE	24.346	1.157
	AMS 2 nd ALGORITHM CROSS SHAPE	40.568	1.436

เอกสารนี้เป็นเอกสารที่สงวนไว้สำหรับการทำงานเพื่อการศึกษาเท่านั้น ไม่อนุญาตให้นำไปใช้ประโยชน์ด้านการค้า ไม่ว่าจะวิธีใดๆทั้งสิ้น อีกทั้งห้ามมิให้คัดแปลงเนื้อหา และต้องอ้างอิงถึงเจ้าของเอกสารทุกครั้งที่มีการนำไปใช้

บทที่ 7

สรุปผลการวิจัยและข้อเสนอแนะ

7.1 สรุปผลการวิจัย

การกรองมัลติชานเป็นพื้นฐานอย่างหนึ่งของการประมวลผลสัญญาณภาพ ข้อดีคือสามารถกำจัดสัญญาณรบกวนแบบอิมพัลส์ได้ดี แต่การรักษาความคมชัดของโครงร่างภาพและขอบภาพอยู่ในระดับไม่ดิ่งนัก พบว่ายิ่งถ้าใช้ขนาดหน้าต่างที่ใหญ่ขึ้นความคมชัดจะยิ่งสูญเสียไปมากและหน้าต่างการกรองขนาดใหญ่จะมีความสามารถในการกำจัดสัญญาณรบกวนได้มากขึ้น การกรองมัลติชานจึงได้มีการประยุกต์และดัดแปลงเป็นเทคนิคการกรองวิธีต่าง ๆ มากมายจากนักวิจัยทั่วโลก การกรองมัลติชานแบบปรับขนาดหน้าต่างอัตโนมัติได้ถูกนำเสนอขึ้นมาอีก 1 วิธี ที่ช่วยเพิ่มประสิทธิภาพการกรองมัลติชาน ข้อดีของวิธีนี้ คือ ปรับขนาดหน้าต่างได้ตั้งแต่ 1 พิกเซล จนถึงใหญ่สุด 5x5 พิกเซล (Cross shape) ซึ่งเป็นการปรับขนาดตามปริมาณสัญญาณรบกวนที่เข้ามา การอินพุทภาพผลลัพธ์ที่ได้จะมีความสม่ำเสมอดีขึ้น (ค่า MAE ในตารางที่ 6.1-6.3) แต่วิธีการนี้จะมีอัลกอริทึมที่ใช้ในการตรวจสอบสัญญาณรบกวนค่อนข้างมาก และต้องทำการกรองถึง 2 ครั้ง แบ่งเป็นการกรองอิมพัลส์แบบ salt noise การกรองอีกครั้งสำหรับอิมพัลส์แบบ paper noise วิธีการกรองมัลติชานมัลติเซลล์ มีหลักการการทำงานที่ช่วยให้ภาพผลลัพธ์มีคุณภาพดีขึ้น แต่ติดขัดตรงที่ไม่สามารถกำจัดสัญญาณรบกวนอิมพัลส์ได้หมด ถ้าพิกเซลกึ่งกลางเป็นอิมพัลส์และมีอิมพัลส์ปรากฏบริเวณเซลล์เพียง 1 พิกเซลต่อเซลล์

การกรองมัลติชานมัลติเซลล์แบบดัดแปลงจะช่วยส่งเสริมให้การกรองมัลติชานมัลติเซลล์มีประสิทธิภาพที่ดีขึ้นและแก้ไขข้อบกพร่องได้ คือ สามารถกำจัดสัญญาณรบกวนในหน้าต่างได้หมดหรือมากกว่าวิธีเดิม การกรองมัลติชานมัลติเซลล์แบบดัดแปลงมี 2 แบบ โดยแบบที่ 1 เป็นการเลียนแบบการกรองมัลติชานมัลติเซลล์ แต่เปลี่ยนการแทนค่าพิกเซลที่จุดกึ่งกลางด้วยค่าพิกเซล (มากที่สุดหรือน้อยที่สุด) ในแนวตั้งแทนค่า Max (s) หรือ Min (s) ส่วนแบบที่ 2 เป็นการดัดแปลงการกรองมัลติชานมัลติเซลล์ร่วมกับการกรองมัลติชานแบบหน้าต่างคงที่ธรรมดา ผลดีคือสามารถกำจัดสัญญาณรบกวนได้มาก ภาพผลลัพธ์มีความคมชัดสูง ในแง่ของการเปรียบเทียบดัชนีการวัดด้วยค่า MSE และ MAE พบว่ามีประสิทธิภาพที่สูงกว่าวิธีอื่น ๆ

เอกสารนี้เป็นเอกสารที่สงวนไว้สำหรับการใช้งานเพื่อการศึกษาเท่านั้น ไม่อนุญาตให้นำไปใช้ประโยชน์ด้านการค้าไม่ว่ากรณีใดๆทั้งสิ้น อีกทั้งห้ามมิให้ดัดแปลงเนื้อหา และต้องอ้างอิงถึงเจ้าของเอกสารทุกครั้งที่มีการนำไปใช้

7.2 ข้อเสนอแนะการวิจัย

แนวทางในการวิจัยและพัฒนาต่อไปจะต้องพิจารณาภาพอินพุตและออกแบบลักษณะหน้าตาต่างการกรองให้มีความเหมาะสมสอดคล้องกัน เพื่อที่จะให้ได้ผลลัพธ์ที่ดีและต้องกับความต้องการส่วนการพัฒนาไปเป็นฮาร์ดแวร์นั้นเราจะต้องใช้เทคนิคและวิธีการออกแบบวงจรรวมขนาดใหญ่ (VLSI) ซึ่งจะสามารถประยุกต์ไปใช้อุปกรณ์หรือเครื่องใช้ไฟฟ้าที่มีการประมวลผลสัญญาณดิจิทัล เช่น โทรทัศน์ความละเอียดสูง (HDTV)



เอกสารนี้เป็นเอกสารที่สงวนไว้สำหรับการใช้งานเพื่อการศึกษาเท่านั้น ไม่อนุญาตให้นำไปใช้ประโยชน์ด้านการค้าไม่ว่ากรณีใดๆทั้งสิ้น อีกทั้งห้ามมิให้คัดแปลงเนื้อหา และต้องอ้างอิงถึงเจ้าของเอกสารทุกครั้งที่มีการนำไปใช้

บรรณานุกรม :

- [1] J.W. Tukey, *Exploratory Data Analysis (preliminary ed.)*. Reading, MA : Addison-Wesley, 1971.
- [2] B. Justusson, "Median filtering : *Statistical properties*," Roy.Inst.Technol., Stockholm, Sweden, Tech.Rep. TRITA-MAT-1979-11, Aug. 1979.
- [3] W.K. Pratt, *Digital image processing*, Wiley, 1978.
- [4] B.I. Justusson, "Median filtering statistical properties" in *Two-dimensional digital signal processing II*, T.S. Huang editor, Springer Verlag, 1981.
- [5] G.J. Yong, T.S. Huang, "The effect of median filtering in edge location estimation", *Computer Vision, Graphics and Image Proceeding*, Vol. 15, pp. 224-225, 1981.
- [6] P. Zamperoni, "Feature extraction by rank-order filtering for image segmentation ", *International Journal of Pattern Analysis and Artificial Intelligence*, Vol.2, no.2, pp. 301-319, 1988.
- [7] S.S. Perlman, S. Eisenhandler, P.W. Lyons, M.J. Shumila, "Adaptive median filtering for impulse noise elimination in real-time TV signals" *IEEE Transactions on Communications*, Vol. COM-35, no. 6, 646-652, June 1987.
- [8] S.S. H. Naqvi, N.C. Gallagher, E.J. Coyle, "An application of median filter to digital TV", *Proc. 1986 IEEE Int. Conf. On Acoustics, Speech and Signal Proceeding*, Tokyo, Japan, 1986.
- [9] L.R. Rabiner, M.R. Sambur, C.E. Schmidt, "Application of a nonlinear smoothing algorithm to speech proceeding", *IEEE Transactions on Acoustics, Speech and Signal Proceeding*, Vol. ASSP-23, pp. 552-557, Dec. 1975.
- [10] G. Arce, N.C. Gallagher, " State description for the root-signal set of median filters", *IEEE Transactions on Acoustics, Speech and Signal Proceeding*, Vol. ASSP-30, no. 6, pp. 894-902, Dec. 1982.
- [11] P. Chan, J.S. Lim, "One-dimensional proceeding for adaptive image restoration, " *IEEE Transactions on Acoustics, Speech and Signal Proceeding*, Vol. ASSP-33, no. 6, pp. 117-126, Feb. 1985.
- [12] J.S. Jimmy Li, "A class of multi-shell min/max median filters," *Proceedings of 1989 IEEE International Symposium on Circuits and Systems*, Oregon, May, 1989.

- [13] J.S.Jimmy Li and Stefan Luthi, "A real-time 2-D median based filter for video signals," *IEEE Transactions on Consumer Electronics*, Vol.39, No.2, May, 1993
- [14] Ioanais Pitas, "Fast algorithms for running ordering and max/min calculation," *IEEE Transactions on Circuits and Systems*, Vol. CAS-36, June 1989, pp.795-804



เอกสารนี้เป็นเอกสารที่สงวนไว้สำหรับการใช้งานเพื่อการศึกษาเท่านั้น ไม่อนุญาตให้นำไปใช้ประโยชน์ด้านการค้า
ไม่ว่ากรณีใดๆทั้งสิ้น อีกทั้งห้ามมิให้คัดแปลงเนื้อหา และต้องอ้างอิงถึงเจ้าของเอกสารทุกครั้งที่มีการนำไปใช้

ภาคผนวก ๖

```

/*Program : MEDIAN.C
Date : 21 October 1999
By : Narupon Panakulchiwit
*/
#include <graphics.h>
#include <stdlib.h>
#include <stdio.h>
#include <conio.h>
#include <dos.h>
#include <alloc.h>
#include <ctype.h>

#define MAX 256
#define maxy 255
#define maxx 255
#define text "\nMalloc memory error\n"
#define uc unsigned char
#define ui unsigned int

void MemoryAllocate(void);
void OpenFile(void);
void InitialGraph(void);
void CrossMedianPlus(void);
void Median3x3(void);
void Average3x3(void);
void Average5x5(void);
void Median5x5(void);
void MSMedian(void);
void MSMedianforML(void);
void SISMedian(void);
void SIS_ML_Median(void);
void MMS2Median(void);
void AMS3Median(void);
void AMS4Median(void);
void ALMedian(void);
void ReleaseMemory(void);
void SaveImage(void);

uc far **pixel,**pixel2;
int i;

void MemoryAllocate(void)
{
    if((pixel = (uc **)farcalloc(sizeof(uc *),
(MAX+4)))==NULL) {
        printf(text);
        getch();
        exit(1);
    }
    for(i=0;i<MAX+4;i++)
        if((pixel[i] = (uc *)farcalloc(sizeof(uc),
(MAX+4)))==NULL) {
            printf(text);
            getch();
            exit(1);
        }
}

void OpenFile(void) {
    int i,j;
    char filename[20];
    FILE *fin;

    clrscr();
    printf("PLEASE ENTER FILE NAME : ");
    gets(filename);
    if ((fin = fopen(filename,"rb"))==NULL) {
        printf("Error : Can't open image file!");
        for(i=0;i<MAX+4;i++)
            farfree((uc *)pixel[i]);
        farfree(pixel);
        exit(0);
    }

    /* read value image ;i=X axis, j=Y axis*/
    for(j=2;j<MAX+2;j++)
        for(i=2;i<MAX+2;i++)
            fread(&pixel[i][j],sizeof(uc),1U,fin);

    for(j=0;j<2;j++) //2 lines top
        for(i=2;i<MAX+2;i++) //X axis
            pixel[i][j]=pixel[i][j+2];

    for(j=2+MAX;j<4+MAX;j++) //2 lines
bottom
        for(i=2;i<MAX+2;i++)
            pixel[i][j]=pixel[i][j-2];

    for(j=2;j<MAX+2;j++) //2 lines left
        for(i=0;i<2;i++)
            pixel[i][j]=pixel[i+2][j];

    for(j=2;j<MAX+2;j++) //2 lines right
        for(i=2+MAX;i<4+MAX;i++)

```

```

    pixel[i][j]=pixel[i-2][j];
}
int huge DetectGraph256(void) {
    return 2;
}

void setrgb(uc i,uc r,uc g,uc b) {
    outp(0x3c8,i);
    outp(0x3c9,r);
    outp(0x3c9,g);
    outp(0x3c9,b);
}

void InitialGraph(void) {
    int gdriver, gmode, errorcode;
    gdriver =
installuserdriver("svga256",DetectGraph256);
    gdriver = DETECT;

    /* initialize graphics mode */
    initgraph(&gdriver, &gmode, "");

    /* read result of initialization */
    errorcode = graphresult();

    if (errorcode != grOk) /* an error occurred */ {
        printf("Graphics error: %s\n", grapherrormsg
(errorcode));
        printf("Press any key to halt.");
        getch();
        exit(1); /* return with error code */
    }

    /* create gray scale */
    for (i=0; i<256; i++)
        setrgb(i,i>>2,i>>2,i>>2);
}

void CrossMedianPlus() {
    int i,j,x,y;
    uc tmp,sort[5];

    for(y=2;y<MAX+2;y++)
        for(x=2;x<MAX+2;x++) {
            sort[0] = pixel[x-1][y];
            sort[1] = pixel[x][y-1];
            sort[2] = pixel[x][y];
            sort[3] = pixel[x+1][y];
            sort[4] = pixel[x][y+1];
            for(j=0;j<4;j++)
                for(i=0;i<(4-j);i++)
                    if(sort[i]>sort[i+1]) {
                        tmp = sort[i];
                        sort[i] = sort[i+1];
                        sort[i+1] = tmp;
                    }
            pixel2[x-2][y-2] = sort[2]; //Offset
        }

    for(j=0;j<MAX;j++)
        for(i=0;i<MAX;i++)

```

```

        putpixel(300+i,j,pixel2[i][j]);
    }
}

void Median3x3(void) {
    int i,j,x,y;
    uc tmp,sort[9];

    for(y=2;y<MAX+2;y++)
        for(x=2;x<MAX+2;x++) {
            sort[0] = pixel[x-1][y-1];
            sort[1] = pixel[x-1][y];
            sort[2] = pixel[x-1][y+1];
            sort[3] = pixel[x][y-1];
            sort[4] = pixel[x][y];
            sort[5] = pixel[x][y+1];
            sort[6] = pixel[x+1][y-1];
            sort[7] = pixel[x+1][y];
            sort[8] = pixel[x+1][y+1];
            for(j=0;j<8;j++)
                for(i=0;i<(8-j);i++)
                    if(sort[i]>sort[i+1]){
                        tmp = sort[i];
                        sort[i] = sort[i+1];
                        sort[i+1] = tmp;
                    }
            pixel2[x-2][y-2] = sort[4];
        }
    for(j=0;j<256;j++)
        for(i=0;i<256;i++)
            putpixel(300+i,j,pixel2[i][j]);
}

void Average3x3(void) {
    int i,j,x,y;
    uc tmp,sort[9];
    int Sum1;

    for(y=2;y<MAX+2;y++)
        for(x=2;x<MAX+2;x++) {
            sort[0] = pixel[x-1][y-1];
            sort[1] = pixel[x-1][y];
            sort[2] = pixel[x-1][y+1];
            sort[3] = pixel[x][y-1];
            sort[4] = pixel[x][y];
            sort[5] = pixel[x][y+1];
            sort[6] = pixel[x+1][y-1];
            sort[7] = pixel[x+1][y];
            sort[8] = pixel[x+1][y+1];
            Sum1=0;
            for(j=0;j<9;j++)
                Sum1 = Sum1+sort[j];

            pixel2[x-2][y-2] = Sum1/9;
        }
    for(j=0;j<256;j++)
        for(i=0;i<256;i++)
            putpixel(300+i,j,pixel2[i][j]);
}

void Average5x5(void) {

```

```

int i,j,x,y;
uc tmp,sort[25];
int Sum1;

for(y=2;y<MAX+2;y++)
for(x=2;x<MAX+2;x++) {
    sort[0] = pixel[x-2][y-2];
    sort[1] = pixel[x-2][y-1];
    sort[2] = pixel[x-2][y];
    sort[3] = pixel[x-2][y+1];
    sort[4] = pixel[x-2][y+2];
    sort[5] = pixel[x-1][y-2];
    sort[6] = pixel[x-1][y-1];
    sort[7] = pixel[x-1][y];
    sort[8] = pixel[x-1][y+1];
    sort[9] = pixel[x-1][y+2];
    sort[10] = pixel[x][y-2];
    sort[11] = pixel[x][y-1];
    sort[12] = pixel[x][y];
    sort[13] = pixel[x][y+1];
    sort[14] = pixel[x][y+2];
    sort[15] = pixel[x+1][y-2];
    sort[16] = pixel[x+1][y-1];
    sort[17] = pixel[x+1][y];
    sort[18] = pixel[x+1][y+1];
    sort[19] = pixel[x+1][y+2];
    sort[20] = pixel[x+2][y-2];
    sort[21] = pixel[x+2][y-1];
    sort[22] = pixel[x+2][y];
    sort[23] = pixel[x+2][y+1];
    sort[24] = pixel[x+2][y+2];

    Sum1=0;
    for(j=0;j<25;j++)
        Sum1 = Sum1+sort[j];

    pixel2[x-2][y-2] = Sum1/25;
}
for(j=0;j<256;j++)
for(i=0;i<256;i++)
    putpixel(300+i,j,pixel2[i][j]);
}

void Median5x5() {
int i,j,x,y;
uc tmp,sort[25];

for(y=2;y<MAX+2;y++)
for(x=2;x<MAX+2;x++) {
    sort[0] = pixel[x-2][y-2];
    sort[1] = pixel[x-2][y-1];
    sort[2] = pixel[x-2][y];
    sort[3] = pixel[x-2][y+1];
    sort[4] = pixel[x-2][y+2];
    sort[5] = pixel[x-1][y-2];
    sort[6] = pixel[x-1][y-1];
    sort[7] = pixel[x-1][y];
    sort[8] = pixel[x-1][y+1];
    sort[9] = pixel[x-1][y+2];
    sort[10] = pixel[x][y-2];
    sort[11] = pixel[x][y-1];
    sort[12] = pixel[x][y];
    sort[13] = pixel[x][y+1];
    sort[14] = pixel[x][y+2];
    sort[15] = pixel[x+1][y-2];
    sort[16] = pixel[x+1][y-1];
    sort[17] = pixel[x+1][y];
    sort[18] = pixel[x+1][y+1];
    sort[19] = pixel[x+1][y+2];
    sort[20] = pixel[x+2][y-2];
    sort[21] = pixel[x+2][y-1];
    sort[22] = pixel[x+2][y];
    sort[23] = pixel[x+2][y+1];
    sort[24] = pixel[x+2][y+2];

    for(j=0;j<24;j++)
    for(i=0;i<(24-j);i++)
        if(sort[i]>sort[i+1]){
            tmp = sort[i];
            sort[i] = sort[i+1];
            sort[i+1] = tmp;
        }
    pixel2[x-2][y-2] = sort[12];
}
for(j=0;j<256;j++)
for(i=0;i<256;i++)
    putpixel(300+i,j,pixel2[i][j]);
}

void MSMedian() {
int i,j,x,y;
uc tmp,sort[8],mid;

for(y=2;y<MAX+2;y++)
for(x=2;x<MAX+2;x++) {
    sort[0] = pixel[x-1][y-1];
    sort[1] = pixel[x ][y-1];
    sort[2] = pixel[x+1][y-1];
    sort[3] = pixel[x-1][y+1];
    sort[4] = pixel[x ][y+1];
    sort[5] = pixel[x+1][y+1];
    sort[6] = pixel[x-1][y ];
    sort[7] = pixel[x+1][y ];
    mid = pixel[x][y];
    for(j=0;j<7;j++)
        for(i=0;i<(7-j);i++)
            if(sort[i]>sort[i+1]){
                tmp = sort[i];
                sort[i] = sort[i+1];
                sort[i+1] = tmp;
            }
    if ( (sort[7]>mid)&&(mid>sort[0]) )
        pixel2[x-2][y-2] = mid;
    else if( (sort[7]>mid)&&(mid<sort[0]) )
        pixel2[x-2][y-2] = sort[0];
    else if( (sort[7]<mid)&&(mid>sort[0]) )
        pixel2[x-2][y-2] = sort[7];
    else pixel2[x-2][y-2] = mid;
}
}

```

```

for(j=0;j<256;j++)
for(i=0;i<256;i++)
    putpixel(300+i,j,pixel2[i][j]);
}

void MSMedianforML() {
int i,j,x,y;
uc tmp,sort[6],mid;

for(y=2;y<MAX+2;y++)
for(x=2;x<MAX+2;x++) {
    sort[0] = pixel[x-1][y-1];
    sort[1] = pixel[x][y-1];
    sort[2] = pixel[x+1][y-1];
    sort[3] = pixel[x-1][y+1];
    sort[4] = pixel[x][y+1];
    sort[5] = pixel[x+1][y+1];
    mid = pixel[x][y];
    for(j=0;j<5;j++)
        for(i=0;i<(5-j);i++){
            if(sort[i]>sort[i+1]){
                tmp = sort[i];
                sort[i] = sort[i+1];
                sort[i+1] = tmp;
            }
        }
    if ((sort[5]>mid)&&(mid>sort[0]))
        pixel2[x-2][y-2] = mid;
    else if( (sort[5]>mid)&&(mid<sort[0]))
        pixel2[x-2][y-2] = sort[0];
    else if( (sort[5]<mid)&&(mid>sort[0]))
        pixel2[x-2][y-2] = sort[5];
    else pixel2[x-2][y-2] = mid;
}
for(j=0;j<256;j++)
for(i=0;i<256;i++)
    putpixel(300+i,j,pixel2[i][j]);
}

void SISMedian() { //Multi-shell
Shell In Shell
int i,j,x,y;
uc tmp,sort[8],mid,sorts2[16];

for(y=2;y<MAX+2;y++)
for(x=2;x<MAX+2;x++) {
    sort[0] = pixel[x-1][y-1];
    sort[1] = pixel[x][y-1];
    sort[2] = pixel[x+1][y-1];
    sort[3] = pixel[x-1][y];
    sort[4] = pixel[x+1][y];
    sort[5] = pixel[x-1][y+1];
    sort[6] = pixel[x][y+1];
    sort[7] = pixel[x+1][y+1];
    mid = pixel[x][y];
    for(j=0;j<7;j++)
        for(i=0;i<(7-j);i++){
            if(sort[i]>sort[i+1]){
                tmp = sort[i];
                sort[i] = sort[i+1];
                sort[i+1] = tmp;
            }
        }
    sorts2[0] = pixel[x-2][y-2];
    sorts2[1] = pixel[x-1][y-2];
    sorts2[2] = pixel[x][y-2];
    sorts2[3] = pixel[x+1][y-2];
    sorts2[4] = pixel[x+2][y-2];
    sorts2[5] = pixel[x-2][y-1];
    sorts2[6] = pixel[x-1][y-1];
    sorts2[7] = pixel[x][y-1];
    sorts2[8] = pixel[x+1][y-1];
    sorts2[9] = pixel[x+2][y-1];
    sorts2[10] = pixel[x-2][y];
    sorts2[11] = pixel[x-1][y];
    sorts2[12] = pixel[x][y];
    sorts2[13] = pixel[x+1][y];
    sorts2[14] = pixel[x+2][y];
    sorts2[15] = pixel[x+2][y+1];
    for(j=0;j<15;j++)
        for(i=0;i<(15-j);i++){
            if(sorts2[i]>sorts2[i+1]){
                tmp = sorts2[i];
                sorts2[i] = sorts2[i+1];
                sorts2[i+1] = tmp;
            }
        }
    //sort[0] = sort[0];
    sort[1] = sort[7];
    sort[2] = mid;
    sort[3] = sorts2[0];
    sort[4] = sorts2[15];
    for(j=0;j<4;j++)
        for(i=0;i<(4-j);i++){
            if(sort[i]>sort[i+1]){
                tmp = sort[i];
                sort[i] = sort[i+1];
                sort[i+1] = tmp;
            }
        }
    pixel2[x-2][y-2] = sort[2];
}
for(j=0;j<256;j++)
for(i=0;i<256;i++)
    putpixel(300+i,j,pixel2[i][j]);
}

void SIS_ML_Median() { //Multi-shell
Shell In Shell for Missing Line
int i,j,x,y;
uc tmp,sort[8],mid,sorts2[16];

for(y=2;y<MAX+2;y++)
for(x=2;x<MAX+2;x++) {
    sort[0] = pixel[x-1][y-1];
    sort[1] = pixel[x][y-1];
    sort[2] = pixel[x+1][y-1];
    sort[3] = pixel[x-1][y+1];
    sort[4] = pixel[x][y+1];
    sort[5] = pixel[x+1][y+1];
    mid = pixel[x][y];
    for(j=0;j<7;j++)
        for(i=0;i<(7-j);i++){
            if(sort[i]>sort[i+1]){
                tmp = sort[i];
                sort[i] = sort[i+1];
                sort[i+1] = tmp;
            }
        }
    sorts2[0] = pixel[x-2][y-2];
    sorts2[1] = pixel[x-1][y-2];
    sorts2[2] = pixel[x][y-2];
    sorts2[3] = pixel[x+1][y-2];
    sorts2[4] = pixel[x+2][y-2];
    sorts2[5] = pixel[x-2][y-1];
    sorts2[6] = pixel[x-1][y-1];
    sorts2[7] = pixel[x][y-1];
    sorts2[8] = pixel[x+1][y-1];
    sorts2[9] = pixel[x+2][y-1];
    sorts2[10] = pixel[x-2][y];
    sorts2[11] = pixel[x-1][y];
    sorts2[12] = pixel[x][y];
    sorts2[13] = pixel[x+1][y];
    sorts2[14] = pixel[x+2][y];
    sorts2[15] = pixel[x+2][y+1];
    for(j=0;j<15;j++)
        for(i=0;i<(15-j);i++){
            if(sorts2[i]>sorts2[i+1]){
                tmp = sorts2[i];
                sorts2[i] = sorts2[i+1];
                sorts2[i+1] = tmp;
            }
        }
    //sort[0] = sort[0];
    sort[1] = sort[7];
    sort[2] = mid;
    sort[3] = sorts2[0];
    sort[4] = sorts2[15];
    for(j=0;j<4;j++)
        for(i=0;i<(4-j);i++){
            if(sort[i]>sort[i+1]){
                tmp = sort[i];
                sort[i] = sort[i+1];
                sort[i+1] = tmp;
            }
        }
    pixel2[x-2][y-2] = sort[2];
}
for(j=0;j<256;j++)
for(i=0;i<256;i++)
    putpixel(300+i,j,pixel2[i][j]);
}

```

```

for(j=0;j<5;j++)
  for(i=0;i<(5-j);i++){
    if(sort[i]>sort[i+1]){
      tmp = sort[i];
      sort[i] = sort[i+1];
      sort[i+1] = tmp;
    }

sorts2[0] = pixel[x-2][y-2];
sorts2[1] = pixel[x-1][y-2];
sorts2[2] = pixel[x ][y-2];
sorts2[3] = pixel[x+1][y-2];
sorts2[4] = pixel[x+2][y-2];
sorts2[5] = pixel[x-2][y-1];
sorts2[6] = pixel[x+2][y-1];
sorts2[7] = pixel[x-2][y+1];
sorts2[8] = pixel[x+2][y+1];
sorts2[9] = pixel[x-2][y+2];
sorts2[10] = pixel[x-1][y+2];
sorts2[11] = pixel[x ][y+2];
sorts2[12] = pixel[x+1][y+2];
sorts2[13] = pixel[x+2][y+2];
for(j=0;j<13;j++)
  for(i=0;i<(13-j);i++){
    if(sorts2[i]>sorts2[i+1]){
      tmp = sorts2[i];
      sorts2[i] = sorts2[i+1];
      sorts2[i+1] = tmp;
    }

//sort[0] = sort[0];
sort[1] = sort[5];
sort[2] = mid;
sort[3] = sorts2[0];
sort[4] = sorts2[13];
for(j=0;j<4;j++)
  for(i=0;i<(4-j);i++){
    if(sort[i]>sort[i+1]){
      tmp = sort[i];
      sort[i] = sort[i+1];
      sort[i+1] = tmp;
    }

    pixel2[x-2][y-2] = sort[2];
  }
for(j=0;j<256;j++)
  for(i=0;i<256;i++)
    putpixel(300+i,j,pixel2[i][j]);
}

void MMS2Median() {
  int i,j,x,y;
  uc tmp,sort[6],mid,re_max,re_min;

  for(y=2;y<MAX+2;y++)
    for(x=2;x<MAX+2;x++) {
      sort[0] = pixel[x-1][y-1];
      sort[1] = pixel[x][y-1];
      sort[2] = pixel[x+1][y-1];
      sort[3] = pixel[x-1][y];
      sort[4] = pixel[x+1][y];
      sort[5] = pixel[x-1][y+1];
      sort[6] = pixel[x ][y+1];
      sort[7] = pixel[x+1][y+1];
      mid = pixel[x][y];
      for(j=0;j<7;j++)
        for(i=0;i<(7-j);i++){
          if(sort[i]>sort[i+1]){
            tmp = sort[i];
            sort[i] = sort[i+1];
            sort[i+1] = tmp;
          }

          if( (sort[7]> mid)&&(mid<=sort[0]))
            pixel2[x-2][y-2] = sort[3];
          else if( (sort[7]<=mid)&&(mid> sort[0]))
            pixel2[x-2][y-2] = sort[4];
          else //(sort[7]>=mid)&&(mid>=sort[0]))
            pixel2[x-2][y-2] = mid;
        }
      for(j=0;j<256;j++)
        for(i=0;i<256;i++)
          sort[4] = pixel[x][y+1];
          sort[5] = pixel[x+1][y+1];
          mid = pixel[x][y];
          if (sort[1]>sort[4]) {
            re_max=sort[1];
            re_min=sort[4];
          }
          else {
            re_max=sort[4];
            re_min=sort[1];
          }
          for(j=0;j<5;j++)
            for(i=0;i<(5-j);i++){
              if(sort[i]>sort[i+1]){
                tmp = sort[i];
                sort[i] = sort[i+1];
                sort[i+1] = tmp;
              }

              if( (mid>=sort[5]) )           pixel2[x-2]
              [y-2] = re_max;
              else if( (mid<=sort[0]) )
                pixel2[x-2][y-2] = re_min;
              else pixel2[x-2][y-2] = mid;
            }
          for(j=0;j<256;j++)
            for(i=0;i<256;i++)
              putpixel(300+i,j,pixel2[i][j]);
        }

void AMS3Median(){
  int i,j,x,y;
  uc tmp,sort[8],mid;

  for(y=2;y<MAX+2;y++)
    for(x=2;x<MAX+2;x++) {
      sort[0] = pixel[x-1][y-1];
      sort[1] = pixel[x ][y-1];
      sort[2] = pixel[x+1][y-1];
      sort[3] = pixel[x-1][y];
      sort[4] = pixel[x+1][y];
      sort[5] = pixel[x-1][y+1];
      sort[6] = pixel[x ][y+1];
      sort[7] = pixel[x+1][y+1];
      mid = pixel[x][y];
      for(j=0;j<7;j++)
        for(i=0;i<(7-j);i++){
          if(sort[i]>sort[i+1]){
            tmp = sort[i];
            sort[i] = sort[i+1];
            sort[i+1] = tmp;
          }

          if( (sort[7]> mid)&&(mid<=sort[0]))
            pixel2[x-2][y-2] = sort[3];
          else if( (sort[7]<=mid)&&(mid> sort[0]))
            pixel2[x-2][y-2] = sort[4];
          else //(sort[7]>=mid)&&(mid>=sort[0]))
            pixel2[x-2][y-2] = mid;
        }
      for(j=0;j<256;j++)
        for(i=0;i<256;i++)

```

```

    putpixel(300+i,j,pixel2[i][j]);
}

```

```

void AMS4Median(){
int i,j,x,y;
uc tmp,sort[8],mid;

```

```

for(y=2;y<MAX+2;y++)
for(x=2;x<MAX+2;x++) {
    sort[0] = pixel[x-1][y];
    sort[1] = pixel[x][y+1];
    sort[2] = pixel[x+1][y];
    sort[3] = pixel[x][y-1];
    sort[4] = pixel[x-2][y];
    sort[5] = pixel[x][y+2];
    sort[6] = pixel[x+2][y];
    sort[7] = pixel[x][y-2];

```

```

    mid = pixel[x][y];
    for(j=0;j<7;j++)
        for(i=0;i<(7-j);i++)
            if(sort[i]>sort[i+1]){
                tmp = sort[i];
                sort[i] = sort[i+1];
                sort[i+1] = tmp;
            }
    if( (sort[7]>mid)&&(mid<=sort[0]))
        pixel2[x-2][y-2] = sort[3];
    else if( (sort[7]<=mid)&&(mid> sort[0]))
        pixel2[x-2][y-2] = sort[4];
    else //(sort[7]>=mid)&&(mid>=sort[0]))
        pixel2[x-2][y-2] = mid;
}

```

```

for(j=0;j<256;j++)
for(i=0;i<256;i++)
    putpixel(300+i,j,pixel2[i][j]);
}

```

```

void ALMedian(){
int i,j,x,y,Lh=0,Lv=0,length;
int P[4],Q[4];
uc tmp,sort[9];
int T1=15,T2=50;

```

```

for(y=2;y<MAX+2;y++)
for(x=2;x<MAX+2;x++) {
    for(j=1;j<3;j++)
        P[j+1]=(int)(pixel[x+j-1][y]-pixel[x+j][y]); //P[2]=p1,P[3]=p2
    for(j=-2;j<0;j++)
        P[j+2]=(int)(pixel[x+j+1][y]-pixel[x+j][y]); //P[1]=p-1,P[0]=p-2

```

```

    if( ((P[0]>T2)&&(P[3]>T2))||((P[0]>T2)&&(P[2]>T2))||((P[1]>T2)&&(P[3]>T2))) {
        Lh=5;
        goto ALM1;
    }
    else if( (P[2]>T1)&&(P[1]>T1) ) {
        Lh=3;

```

```

        goto ALM1;
    }

```

```

    else if(P[1]!=0) //Check low amplitude
        impulse
        { if( ((float)(P[2]/P[1])>(0.5)) && ((float)(P[2]/P[1])<(2.0)) )
            Lh=3;
            goto ALM1;
        }
    else if( ((P[1]>(-T1))&&(P[1]<T1)) && ((P[2]>(-T1))&&(P[2]<T1)) &&
        ((P[0]>(-T2))&&(P[0]<T2)) && ((P[3]>(-T2))&&(P[3]<T2)) ) {
        Lh=1;
        Lv=1;
        goto ALM2;
    }
    else
        Lh=1;

```

```

ALM1::
    for(j=1;j<3;j++)
        Q[j+1]=(int)(pixel[x][y+j-1]-pixel[x][y+j]); //Q[2]=q1,Q[3]=q2
    for(j=-2;j<0;j++)
        Q[j+2]=(int)(pixel[x][y+j+1]-pixel[x][y+j]); //Q[1]=q-1,Q[0]=q-2
    if( ((Q[0]>T2)&&(Q[3]>T2))||((Q[0]>T2)&&(Q[2]>T2))||((Q[1]>T2)&&(Q[3]>T2)) ) {
        Lv=5;
        goto ALM2;
    }

```

```

    else if( (Q[2]>T1)&&(Q[1]>T1) ) {
        Lv=3;
        goto ALM2;
    }

```

```

    else if(Q[1]!=0) //Check low amplitude
        impulse
        { if( ((float)(Q[2]/ Q[1])>(0.5)) && ((float)(Q[2]/ Q[1])<(2.0)) )
            Lh=3;
            goto ALM2;
        }

```

```

    else if( ((Q[1]>(-T1))&&(Q[1]<T1)) && ((Q[2]>(-T1))&&(Q[2]<T1)) &&
        ((Q[0]>(-T2))&&(Q[0]<T2)) &&
        ((Q[3]>(-T2))&&(Q[3]<T2)) ) {
        Lh=1;
        Lv=1;
        goto ALM2;
    }

```

```

    else
        Lv=1;

```

```

ALM2::

```

```

switch (Lh) {
case 1: sort[0] = pixel[x][y];
//1x(1-5)
switch (Lv) {

```

เอกสารนี้เป็นเอกสารที่จัดทำขึ้นเพื่อใช้ในการเรียนการสอน ไม่อนุญาตให้นำไปใช้ประโยชน์ด้านการค้า
 ไม่ว่ากรณีใดๆทั้งสิ้น ให้คัดแปลงเนื้อหา และต้องอ้างอิง switch (Lh) {

```

case 1: //sort[0] = pixel[x][y]; //1x1
    break;
case 3: sort[1] = pixel[x][y-1]; //1x3
    sort[2] = pixel[x][y+1];
    break;
case 5: sort[1] = pixel[x][y-1]; //1x5
    sort[2] = pixel[x][y+1];
    sort[3] = pixel[x][y-2];
    sort[4] = pixel[x][y+2];
    break;
} break;

case 3: sort[0] = pixel[x][y]; //3x(1-5)
    sort[1] = pixel[x-1][y];
    sort[2] = pixel[x+1][y];
switch (Lv) {
case 1: //sort[0] = pixel[x][y]; //3x1
    break;
case 3: sort[3] = pixel[x][y-1]; //3x3
    sort[4] = pixel[x][y+1];
    break;
case 5: sort[3] = pixel[x][y-1]; //3x5
    sort[4] = pixel[x][y+1];
    sort[5] = pixel[x][y-2];
    sort[6] = pixel[x][y+2];
    break;
} break;

case 5: sort[0] = pixel[x][y]; //5x(1-5)
    sort[1] = pixel[x-1][y];
    sort[2] = pixel[x+1][y];
    sort[3] = pixel[x-2][y];
    sort[4] = pixel[x+2][y];
switch (Lv) {
case 1: //sort[0] = pixel[x][y]; //5x1
    break;
case 3: sort[5] = pixel[x][y-1]; //5x3
    sort[6] = pixel[x][y+1];
    break;
case 5: sort[5] = pixel[x][y-1]; //5x5
    sort[6] = pixel[x][y+1];
    sort[7] = pixel[x][y-2];
    sort[8] = pixel[x][y+2];
    break;
} break;
default : sort[0] = pixel[x][y]; //1x1
}

if(Lh==1 && Lv==1)
    pixel2[x-2][y-2] = pixel[x][y];

else {
    length=(Lh+Lv-2)/2;
    for(j=0;j<(Lh+Lv-2);j++)
        for(i=0;i<(Lh+Lv-2-j);i++)
            if(sort[i]>sort[i+1]){
                tmp = sort[i];
                sort[i] = sort[i+1];
                sort[i+1] = tmp;
            }
}

pixel2[x-2][y-2] = sort[length];
}
}

for(j=0;j<256;j++)
    for(i=0;i<256;i++)
        putpixel(300+i,j,pixel2[i][j]); //End salt
noise
// getch();
//Start pepper noise
for(j=0;j<maxy+1;j++)
    //Transfer first result data
    for(i=0;i<maxx+1;i++)
        pixel[i+2][j+2]=pixel2[i][j];

for(y=2;y<MAX+2;y++)
    for(x=2;x<MAX+2;x++) {
        for(j=1;j<3;j++)
            P[j+1]=(int)(pixel[x+j-1][y]-pixel[x+j]
            [y]); //P[2]=p1,P[3]=p2
            for(j=-2;j<0;j++)
                P[j+2]=(int)(pixel[x+j+1][y]-pixel[x+j]
                [y]); //P[1]=p-1,P[0]=p-2

            if (((-P[0]>T2)&&(-P[3]>T2))||((-P[0]>
            T2)&&(-P[2]>T2))||((-P[1]>T2)&&(-P[3]>T2)))
            {
                Lh=5;
                goto ALM3;
            }
            else if ((-P[2]>T1)&&(-P[1]>T1)) {
                Lh=3;
                goto ALM3;
            }
            else if (P[1]!=0) //Check low amplitude
            impulse
            { if( ((float)(P[2]/P[1])>(0.5)) && ((float)(P
            [2]/P[1])<(2.0)) )
                Lh=3;
                goto ALM3;
            }
            else if( ((-P[1]>(-T1))&&(-P[1]<T1)) && ((-
            P[2]>(-T1))&&(-P[2]<T1)) && ((-P[0]>(-T2))
            &&(-P[0]<T2)) && ((-P[3]>(-T2))&&(-P[3]
            <T2)) ){
                Lh=1;
                Lv=1;
                goto ALM4;
            }
            }
            else
                Lh=1;

ALM3::
    for(j=1;j<3;j++)
        Q[j+1]=(int)(pixel[x][y+j-1]-pixel[x]
        [y+j]); //Q[2]=q1,Q[3]=q2
        for(j=-2;j<0;j++)
            Q[j+2]=(int)(pixel[x][y+j+1]-pixel[x]
            [y+j]); //Q[1]=q-1,Q[0]=q-2

```

เอกสารนี้เป็นเอกสารเพื่อการศึกษาเท่านั้น การคัดลอกโดยไม่ได้รับอนุญาตถือว่าผิดกฎหมาย

```

if( (-Q[0]>T2)&&(-Q[3]>T2))||((-Q[0]>
T2)&&(-Q[2]>T2))||((-Q[1]>T2)&&(-Q[3]>T2))
) {
    Lv=5;
    goto ALM4;
}
else if( (-Q[2]>T1)&&(-Q[1]>T1) ) {
    Lv=3;
    goto ALM4;
}
else if (Q[1]!=0) //Check low amplitude
impulse
{ if( ((float)(Q[2]/Q[1])>(0.5)) && ((float)(Q
[2]/Q[1])<(2.0)) )
    Lh=3;
    goto ALM4;
}
else if( (-Q[1]>(-T1))&&(-Q[1]<T1)) && ((-
Q[2]>(-T1))&&(-Q[2]<T1)) &&
((~Q[0]>(-T2))&&(-Q[0]<T2)) &&
((~Q[3]>(-T2))&&(-Q[3]<T2)) ) {
    Lh=1;
    Lv=1;
    goto ALM4;
}
else
    Lv=1;

```

```

ALM4;;
switch (Lh) {
case 1: sort[0] = pixel[x][y]; //1x(1-5)
switch (Lv) {
case 1: //sort[0] = pixel[x][y]; //1x1
break;
case 3: sort[1] = pixel[x][y-1]; //1x3
sort[2] = pixel[x][y+1];
break;
case 5: sort[1] = pixel[x][y-1]; //1x5
sort[2] = pixel[x][y+1];
sort[3] = pixel[x][y-2];
sort[4] = pixel[x][y+2];
break;
} break;

case 3: sort[0] = pixel[x][y]; //3x(1-5)
sort[1] = pixel[x-1][y];
sort[2] = pixel[x+1][y];

switch (Lv) {
case 1: //sort[0] = pixel[x][y]; //3x1
break;
case 3: sort[3] = pixel[x][y-1]; //3x3
sort[4] = pixel[x][y+1];
break;
case 5: sort[3] = pixel[x][y-1]; //3x5
sort[4] = pixel[x][y+1];
sort[5] = pixel[x][y-2];
sort[6] = pixel[x][y+2];
break;
} break;
}

```

```

case 5: sort[0] = pixel[x][y]; //5x(1-5)
;
sort[1] = pixel[x-1][y];
sort[2] = pixel[x+1][y];
sort[3] = pixel[x-2][y];
sort[4] = pixel[x+2][y];

switch (Lv) {
case 1: //sort[0] = pixel[x][y]; //5x1
break;
case 3: sort[5] = pixel[x][y-1]; //5x3
sort[6] = pixel[x][y+1];
break;
case 5: sort[5] = pixel[x][y-1]; //5x5
sort[6] = pixel[x][y+1];
sort[7] = pixel[x][y-2];
sort[8] = pixel[x][y+2];
break;
} break;

default : sort[0] = pixel[x][y]; //1x1
}

```

```

if(Lh==1 && Lv==1)
    pixel2[x-2][y-2] = pixel[x][y];
else {
    length=(Lh+Lv-2)/2;
    for(j=0;j<(Lh+Lv-2);j++)
    for(i=0;i<(Lh+Lv-2-j);i++){
        if(sort[i]>sort[i+1]){
            tmp = sort[i];
            sort[i] = sort[i+1];
            sort[i+1] = tmp;
        }
    }
    pixel2[x-2][y-2] = sort[length];
}

```

```

for(j=0;j<256;j++)
for(i=0;i<256;i++)
    putpixel(300+i,j,pixel2[i][j]);
}

```

```

void ReleaseMemory(void) {
    closegraph();
    for(i=0;i<MAX+4;i++) farfree((uc *)pixel[i]);
    farfree(pixel);
    for(i=0;i<maxx+1;i++) farfree((uc *)pixel2[i]);
    farfree(pixel2);
}

```

```

void SaveImage() {
    unsigned char filename1[20];
    char ch1;
    int i,j;
    FILE *fout;

    ch1 = tolower(getch()); putch(ch1);
    if(ch1 == 's') {
        closegraph();
        printf("\nSave image");
        printf("\nPlease enter file name : ");
        gets(filename1);
    }
}

```



```

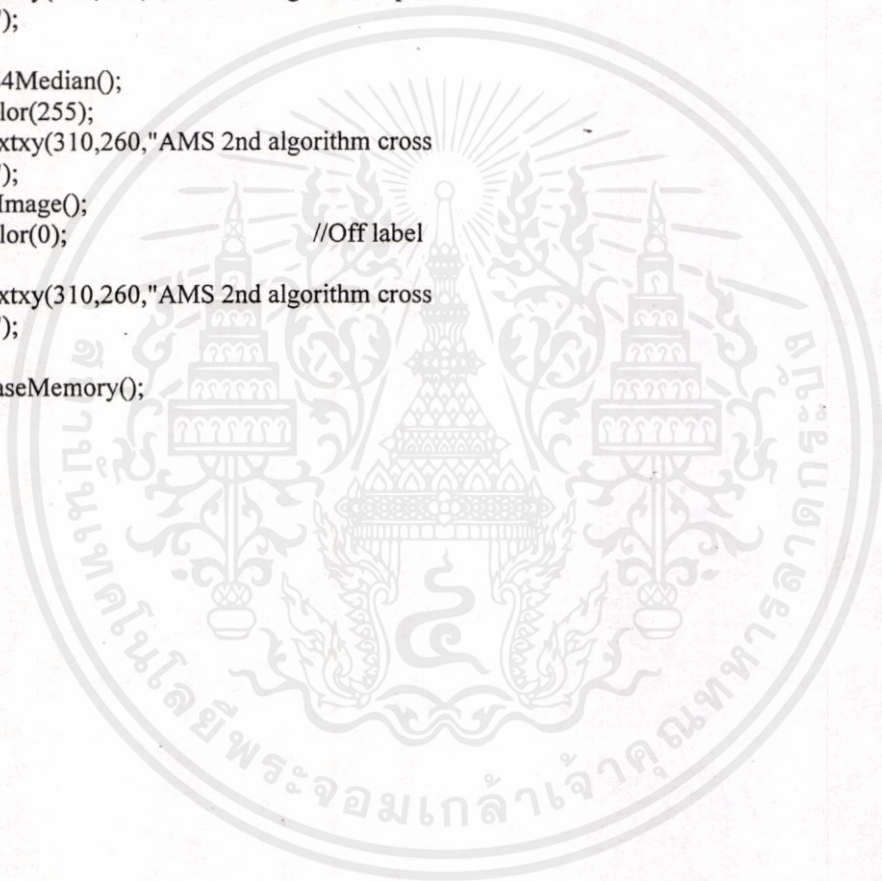
outtextxy(310,260,"Adaptive Multi-Shell 1st
algorithm");
SaveImage();
setcolor(0); //Off label
name
outtextxy(310,260,"Adaptive Multi-Shell 1st
algorithm");

AMS3Median();
setcolor(255);
outtextxy(310,260,"AMS 2nd algorithm square
shape");
SaveImage();
setcolor(0); //Off label
name
outtextxy(310,260,"AMS 2nd algorithm square
shape");

AMS4Median();
setcolor(255);
outtextxy(310,260,"AMS 2nd algorithm cross
shape");
SaveImage();
setcolor(0); //Off label
name
outtextxy(310,260,"AMS 2nd algorithm cross
shape");

ReleaseMemory();
}

```



เอกสารนี้เป็นเอกสารที่สงวนไว้สำหรับการใช้งานเพื่อการศึกษาเท่านั้น ไม่อนุญาตให้นำไปใช้ประโยชน์ด้านการค้า
ไม่ว่ากรณีใดๆทั้งสิ้น อีกทั้งห้ามมิให้คัดแปลงเนื้อหา และต้องอ้างอิงถึงเจ้าของเอกสารทุกครั้งที่มีการนำไปใช้

ประวัติผู้เขียน ;

นายณฤพณ์ พนากุลชัยวิทย์ เกิดเมื่อวันที่ 5 ตุลาคม 2513 ที่จังหวัดชลบุรี สำเร็จการศึกษาปริญญาตรีอุตสาหกรรมศาสตรบัณฑิต (สาขาเทคโนโลยีการวัดคุมทางอุตสาหกรรม) คณะวิศวกรรมศาสตร์ สถาบันเทคโนโลยีพระจอมเกล้าเจ้าคุณทหารลาดกระบัง ปีการศึกษา 2535 และประกาศนียบัตรวิชาชีพชั้นสูง (อิเล็กทรอนิกส์) จากสถาบันเทคโนโลยีพระจอมเกล้าเจ้าพระนครเหนือ ปีการศึกษา 2533

ในระหว่างการศึกษาระดับปริญญาโท ได้รับทุนการศึกษาคอมพิวเตอร์และการสื่อสาร ประจำปีการศึกษา 2536 จากบริษัท NEC (ประเทศไทย)

ปี พ.ศ. 2536 เข้าทำงานในตำแหน่งวิศวกรฝ่ายวิจัยและพัฒนาผลิตภัณฑ์ Remote control for air conditioner ที่บริษัทเมเจอร์อิเล็กทรอนิกส์ จำกัด ปัจจุบันดำรงตำแหน่งหัวหน้าแผนกวิศวกรรมของบริษัทเมเจอร์อิเล็กทรอนิกส์ จำกัด

ผลงานวิจัย

- [1] ณฤพณ์ พนากุลชัยวิทย์ กอบชัย เศษหาญ สมยศ จุณณะปิยะ บัณฑูร พิทักษ์วงศ์ สมนึก ญาติปราโมทย์ วิษณุ กอพักฉินทร์ “การกรองสัญญาณมัลติชานแนลแบบมัลติเชลล์ และแบบปรับขนาดหน้าต่างได้อย่างอัตโนมัติ,” การประชุมวิชาการวิศวกรรมไฟฟ้า ครั้งที่ 18 จัดโดยมหาวิทยาลัยเทคโนโลยีมหานคร ณ.แอมบาสเดอร์ซิตี จอมเทียน พัทยา หน้า 921-925 2538
- [2] **K. Dejhan, N. Panakulchaiwit, D. Lisawatdiratanakul, F. Cheevasuvit, C. Soonyeekan and E. Prommas,** “Adaptive multi-shell median filter for improving image quality,” Proc. of the 18th Asian Conference on Remote Sensing (ACRS’97), pp.I-4-1-I-4-6, Kuala Lumpur, Malaysia, October 20-25, 1997.

เอกสารนี้เป็นเอกสารที่สงวนไว้สำหรับการใช้งานเพื่อการศึกษาเท่านั้น ไม่อนุญาตให้นำไปใช้ประโยชน์ด้านการค้า ไม่ว่ากรณีใดๆทั้งสิ้น อีกทั้งห้ามมิให้คัดแปลงเนื้อหา และต้องอ้างอิงถึงเจ้าของเอกสารทุกครั้งที่มีการนำไปใช้